

**KARAKTERISASI MINERAL EMAS KECAMATAN TOMPOBULU
KABUPATEN BANTAENG SULAWESI SELATAN**



Skripsi

Diajukan untuk Memenuhi Salah Satu Syarat Meraih Gelar Sarjana Sains
Jurusan Kimia Fakultas Sains dan Teknologi
UIN Alauddin Makassar

Oleh:

UNIVERSITAS ISLAM NEGERI
ALAUDDIN
M A K A S S A R

NURBAETI HJ

NIM: 60500116044

**FAKULTAS SAINS DAN TEKNOLOGI
UNIVERSITAS ISLAM NEGERI ALAUDDIN MAKASSAR**

2020

PERNYATAAN KEASLIAN SKRIPSI

Mahasiswa yang bertanda tangan dibawah ini:

Nama : Nurbaeti Hj
NIM : 60500116044
Tempat/Tgl Lahir : Bantaeng/ 08 Oktober 1999
Jurusan : Kimia
Fakultas : Sains dan Teknologi
Alamat : JL. H. M. Yasin Limpo N0.36 Samata, Gowa
Judul : Karakterisasi Mineral Emas Kecamatan Tompobulu
Kabupaten Bantaeng Sulawesi Selatan

Menyatakan dengan sesungguhnya dan penuh kesadaran bahwa skripsi ini benar adalah hasil karya sendiri. Jika kemudian hari terbukti bahwa skripsi ini merupakan duplikat, tiruan, plagiat atau dibuat orang lain, sebagian atau seluruhnya, maka skripsi dan gelar yang saya peroleh karenanya batal demi hukum.

Gowa Oktober 2020

Penyusun



Nurbaeti Hj

NIM:60500116044

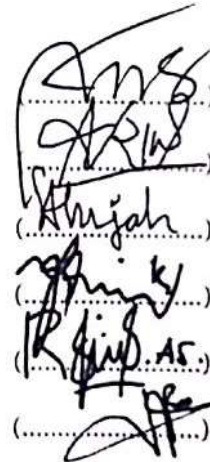
LEMBAR PENGESAHAN SKRIPSI

Skripsi yang berjudul “Karakterisasi Mineral Emas Kecamatan Tompobulu Kabupaten Bantaeng Sulawesi Selatan”, yang disusun oleh Nurbaeti Hj, NIM: 60500116044, mahasiswa jurusan kimia pada Fakultas Sains dan Teknologi UIN Alauddin Makassar, telah diuji dan dipertahankan dalam sidang munaqasyah yang diselenggarakan pada hari Kamis, 10 Desember 2020 bertepatan dengan 25 Rabiul Akhir 1442 H, dinyatakan telah dapat diterima sebagai salah satu syarat untuk memperoleh gelar Sarjana dalam Ilmu Kimia, Jurusan Kimia (dengan beberapa perbaikan).

Samata-Gowa, 10 Desember 2020 M
25 Rabiul Akhir 1442 H

DEWAN PENGUJI

Ketua : Dr. Muh. Anshar Abubakar, S.Pt., M.Si
Sekretaris : Dr. Asri Saleh, ST., M.Si
Munaqisy I : Dra. Sitti Chadijah, S. Si., M.Si
Munaqisy II : Dr. H. Aan Farhani, M.Ag., Lc
Pembimbing I : Dr. Rismawaty Sikanna, S. Si., M.Si
Pembimbing II : Asriani Ilyas, S. Si., M. Si


(.....)
(.....)
(.....)
(.....)
(.....)
(.....)

Diketahui Oleh:
Dekan Fakultas Sains dan Teknologi
UIN Alauddin Makassar



Prof. Dr. Muhammad Khalifah Mustami, M. Pd
NIP. 19710412 200003 1 001

KATA PENGANTAR

بِسْمِ اللَّهِ الرَّحْمَنِ الرَّحِيمِ

Segala puji atas kebesaran Allah Swt yang telah menciptakan langit dan bumi dengan segala isinya hingga dari lisan terpetik berjuta rasa syukur atas limpahan rahmat dan hidayah-Nya, sehingga penulis diberikan kekuatan dan kesempatan menyelesaikan skripsi berjudul **“Karakterisasi Mineral Emas Kecamatan Tompobulu Kabupaten Bantaeng Sulawesi Selatan”**. Skripsi ini merupakan salah satu syarat untuk meraih gelas sains di Jurusan Kimia Fakultas Sains dan Teknologi Universitas Islam Negeri Alauddin Makassar.

Terima kasih penulis ucapkan kepada pihak yang telah berkontribusi dalam penyusunan skripsi ini, terutama kepada kedua orang tua penulis ibunda Hj. Caddi dan ayahanda H. Jufri sebagai support sistem yang selalu mendoakan, membantu dan mendukung penulis sehingga karya ilmiah ini dapat terselesaikan. Ucapan terimakasih penulis juga ucapkan kepada yang terhormat:

1. Bapak Prof. Drs. Hamdan Juhannis M.A, Ph.D selaku rektor UIN Alauddin Makassar beserta wakil dan sejarannya.
2. Bapak Prof. Dr. Muhammad Halifah Mustami, M.Pd selaku dekan Fakultas Sains dan Teknologi UIN Alauddin Makassar beserta wakil dan sejarannya.
3. Bapak Dr. H. Asri Saleh, ST., M.Si selaku ketua jurusan kimia fakultas sains dan teknologi UIN Alauddin Makassar.

4. Ibu Dr. Rismawaty Sikanna, S.Si., M.Si selaku sekretaris jurusan Kimia Fakultas Sains dan Teknologi UIN Alauddin Makassar sekaligus sebagai dosen pembimbing I dengan segala keikhlasan dan kesabaran, serta kesediaanya meluangkan waktu dan memberikan arahan, motivasi, bimbingan serta ilmu yang tak terhitung kepada penulis dalam menyelesaikan skripsi ini.
5. Ibu Asriani Ilyas, S.Si.,M.Si selaku kepala Laboratorium Kimia sekaligus pembimbing II yang setia memberikan saran serta arahan yang begitu penting.
6. Ibu Dra. Sitti Chadijah, M.Si dan bapak Dr. H. Aan Farhani, M.Ag.,Lc selaku penguji I dan II yang senangtiasa memberikan saran kepada penulis.
7. Seluruh dosen dan staf Fakultas Sains dan Teknologi terkhusus untuk staf dan dosen Jurusan Kimia.
8. Seluruh laboran Jurusan Kimia Fakultas Sains dan Teknologi UIN Alauddin Makassar terkhusus untuk Ahmad Yani, S.Si yang membantu menyelesaikan penelitian ini.
9. Laboran Universitas Hasanuddin Makassar terkhusus untuk Heriyanto yang membantu dalam proses karakterisasi XRF.
10. Laboran Politeknik Negeri Ujung Pandang terkhusus untuk pak Sakius yang membantu dalam proses karakterisasi XRD.
11. Rekan penelitian serta sahabat penulis yaitu Nur Indah, Darmawati, Nur Asmi, Rima Melani, Hijrawati, Siti Fatimah Ramadani, Lilis Sumarlina dan Irma Rahayu yang selalu menemani dalam setiap waktu serta sahabat L16AN yang ikut serta membantu dalam kelancaran penelitian ini.

Penulis menyadari bahwa skripsi ini jauh dari kata sempurna, untuk itu penulis mengharapkan kritik dan saran yang membangun dari semua pihak guna untuk perbaikan skripsi ini agar kedepannya skripsi ini dapat dijadikan sebagai salah satu sumber informasi yang memberikan manfaat untuk semua orang yang membacanya.

Gowa, Oktober 2020

Penulis,



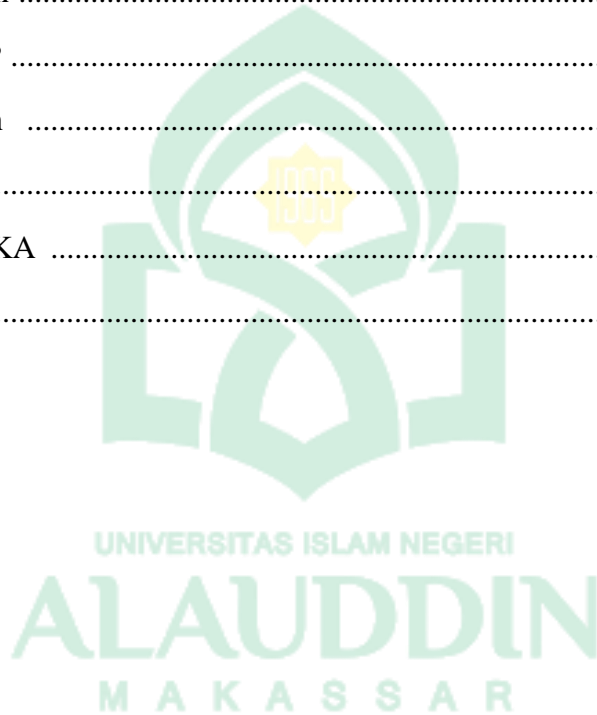
Nurbaeti Hj
NIM:60500116044



DAFTAR ISI

	Hal
JUDUL	i
PENGESAHAN SKRIPSI	ii
KATA PENGANTAR	iii-vi
DAFTAR ISI	vii-viii
DAFTAR GAMBAR	ix
DAFTAR TABEL	x
DAFTAR LAMPIRAN	xi
ABSTRAK	xii
ABSTRACK	xiii
BAB I PENDAHULUAN	1-6
A. Latar Belakang	1-5
B. Rumusan Masalah	5
C. Tujuan Penelitian	5
D. Manfaat Penelitian	6
BAB II TINJAUAN PUSTAKA	7-16
A. Batuan	7-9
B. Mineral Emas	9-12
C. Kristal	12-13
D. <i>X-Ray Diffraction (X-RD)</i>	13-14
E. <i>X-Ray Fluorescences (X-RF)</i>	15-16

BAB III METODE PENELITIAN.....	17-19
A. Waktu dan Tempat	17
B. Alat dan bahan	17
C. Prosedur penelitian	17-19
BAB IV HASIL PENELITIAN DAN PEMBAHASAN	20-29
A. Hasil	20-22
B. Pembahasan	22-30
BAB V PENUTUP	31
A. Kesimpulan	31
B. Saran	31
DAFTAR PUSTAKA	32-34
LAMPIRAN.....	35-82



DAFTAR GAMBAR

	Hal
Gambar 2.1 <i>Alat X-Ray Diffraction (X-RD)</i>	14
Gambar 2.2 <i>Alat X-Ray Fluorescences (X-RF)</i>	15
Gambar 4.1 Ananlisis Hasil Pengukuran Sampel Titik 1	22
Gambar 4.2 Ananlisis Hasil Pengukuran Sampel Titik 2	23
Gambar 4.3 Ananlisis Hasil Pengukuran Sampel Titik 3	24
Gambar 4.4 Ananlisis Hasil Pengukuran Sampel Titik 4	25
Gambar 4.5 Ananlisis Hasil Pengukuran Sampel Titik 5	26
Gambar 4.6 Struktur Kubik	27



DAFTAR TABEL

	Hal
Tabel 4.1 Struktur Kristal Mineral Emas	20
Tabel 4.2 Perbandingan Data Hasil Pengukuran Sampel Titik 1 dengan Database Mineral	20
Tabel 4.3 Perbandingan Data Hasil Pengukuran Sampel Titik 2 dengan Database Mineral	20
Tabel 4.4 Perbandingan Data Hasil Pengukuran Sampel Titik 3 dengan Database Mineral	21
Tabel 4.5 Perbandingan Data Hasil Pengukuran Sampel Titik 4 dengan Database Mineral	21
Tabel 4.6 Perbandingan Data Hasil Pengukuran Sampel Titik 5 dengan Database Mineral	21
Tabel 4.7 Komposisi Senyawa yang Terkandung pada Sampel	21
Tabel 4.8 Komposisi Unsur yang Terkandung pada Sampel	22



DAFTAR LAMPIRAN

	Hal
Lampiran 1 Skema Kerja Penenelitian	34
Lampiran 2 Diagram Alir	35-36
Lampiran 3 Dokumentasi Penenlitian	37-42
Lampiran 4 Peta Pengambilan Sampel	43
Lampiran 5 Hasil Karakterisasi XRD	44-75
Lampiran 6 Hasil Karakterisasi XRF	76-80
Lampiran 7 Hasil Uji Pendahuluan	81
Lampiran 7 Perhitungan	82



ABSTRAK

Nama : Nurbaeti Hj
NIM : 60500116044
Judul Skripsi : **Karakterisasi Mineral Emas Kecamatan Tompobulu Kabupaten Bantaeng Sulawesi Selatan.**

Batuan menjadi salah satu sumber mineral yang banyak tersedia di alam dan mudah ditemukan. Salah satu mineral yang terdapat pada batuan yaitu mineral emas. Penelitian ini bertujuan untuk mengetahui karakteristik mineral emas kecamatan Tompobulu Kabupaten Bantaeng Sulawesi Selatan dengan menggunakan alat *X-Ray Diffraction* (X-RD) dan *X-Ray Fluorescences* (X-RF). Hasil yang diperoleh dari karakterisasi menggunakan *X-Ray Diffraction* (X-RD) yaitu jenis mineral emas (Au), diopsida ($\text{Al}_{0.6}\text{CaMg}_{0.7}\text{O}_6\text{Si}_{1.7}$) dan augit ($\text{CaFe}_{0.25}\text{Mg}_{0.74}\text{O}_6\text{Si}_2$) serta bentuk struktur kristal mineral emas yaitu berbentuk kubik. Sedangkan hasil yang diperoleh dari karakterisasi menggunakan *X-Ray Fluorescences* (X-RF) yaitu komposisi mineral yang terdapat pada sampel didominasi oleh senyawa silika/kursu dengan range 39,44-41,94 %.

Kata Kunci : Batuan, Karakterisasi, Mineral Emas, XRD, XRF.

ABSTRACT

Name : Nurbaeti Hj
NIM : 60500116044
Thesis title : **Characterization of Gold Mineral in Tompobulu District, Bantaeng Regency, South Sulawesi.**

Rock are a source of minerals that are widely available in nature and are easy to find. One of the minerals found in the rock is gold mineral. This study aims to determine the characteristics of the gold mineral in the Tompobulu sub-district, Bantaeng Regency, South Sulawesi by using X-Ray Diffraction (X-RD) and X-Ray Fluorescences (X-RF) tools. The results obtained from characterization using X-Ray Diffraction (X-RD), namely the type of gold (Au), diopside ($\text{Al}_{0.6}\text{CaMg}_{0.7}\text{O}_6\text{Si}_{1.7}$) and augite ($\text{CaFe}_{0.25}\text{Mg}_{0.74}\text{O}_6\text{Si}_2$) minerals and the crystal structure of the gold mineral, which is cubic. While the results obtained from characterization using X-Ray Fluorescences (X-RF), namely the mineral composition contained in the sample is dominated by silica/quarsa date compounds with a range of 39.44-41.94%.

Keywords : Rock, Characterization, Gold Mineral, XRD, XRF.

BAB I

PENDAHULUAN

A. Latar Belakang

Kabupaten Bantaeng terletak di pulau Sulawesi Selatan, tepatnya berada pada $05^{\circ} 21'15''$ - $05^{\circ} 34'3''$ LS dan $119^{\circ} 51'07''$ - $120^{\circ} 51'07''$ BT. Kabupaten ini seluas $395,83 \text{ km}^2$ dan terdiri dari 8 kecamatan, 5 diantaranya yaitu kecamatan bukan pantai yang terdiri dari 50 desa/kelurahan, salah satunya yaitu desa Bontotappalang kecamatan Tompobulu. Kecamatan Tompobulu ini seluas $76,99 \text{ km}^2$ dengan tingkat kemiringan 15% sampai $>40\%$ serta berada pada ketinggian 25 mdpl sampai >1000 mdpl. Kecamatan tompobulu berada di bagian utara kabupaten Bantaeng dan berbatasan dengan kabupaten Sinjai serta pegunungan Lompobattang (BPS Bantaeng, 2013: 7). Sumber daya mineral atau bahan galian yang ada di kabupaten Bantaeng salah satunya yaitu pasir besi (Juharni, 2016: 37). Namun, tidak menutup kemungkinan terdapat mineral lain selain mineral besi di kabupaten Bantaeng, terutama di daerah yang berada disekitar pegunungan yang memiliki suhu yang rendah, karena suhu dan tekanan memiliki peran penting dalam pembentukan mineral.

Menurut Purnamawati, dkk. (2012) dalam Sumarjono, dkk. (2019: 92), proses pembentukan mineral logam pada daerah pegunungan Kulonprogo terjadi karena adanya pembekuan magma pada proses perpindahan dari dalam bumi ke permukaan bumi akibat adanya penurunan tekanan dan suhu. Pembekuan magma mengakibatkan terjadinya pengendapan mineral seperti emas, perak dan mineral lainnya. Kandungan mineral pada setiap fase pembentukannya berbeda-beda. Hasil penelitian Afzal dkk., (2017: 278) menyatakan bahwa kandungan mineral emas

batuan sedimen di Iran pada fase pertama mineralisasi emas diperoleh sebesar 800 ppb sedangkan pada fase mineralisasi kedua diperoleh kandungan emas sebesar 350-800 ppb.

Menurut data *United States Geological Survey* (USGS), Indonesia menduduki peringkat ketujuh sebagai negara yang memiliki cadangan mineral emas yaitu sekitar 2,3 % dari cadangan mineral emas dunia (Umar, 2017: 96). Cadangan mineral emas di wilayah Indonesia tersebar di beberapa daerah seperti Sumatera utara, Kalimantan Tengah, Sulawesi Utara, Nusa Tenggara, Jawa Barat, Jawa Tengah, Jawa Timur, Pulau Halmahera dan Pulau Obi (Sari, 2016: 15).

Keberadaan mineral emas di alam banyak ditemukan dalam bongkahan batuan karena mineral adalah komponen utama penyusun batuan (Widyastuti, 2016: 9). Penelitian Aminah (2018: 66) memperoleh mineral penyusun batuan bijih emas yaitu kalkopirit (CuFeS_2), spirelit (ZnS), kovelit (CuS), pirit (FeS_2) dan kuarsa (SiO_2), sedangkan Baharun dan Ong (2014:246) meneliti bijih emas dari Malaysia menemukan mineral arsenopirit (FeAsS), hematit (Fe_2O_3), magnetit (Fe_3O_4) dan kuarsa (SiO_2).

Hasil penelitian Aminah (2018: 66) memperoleh kandungan emas (Au) yang terdapat dalam batuan bijih emas yaitu 5,2 ppm, dan Idrus, dkk. (2014: 17) menyatakan bahwa batuan pada gunung Batur Kabupaten Gunung Kidul mengandung emas (Au) sebanyak 0,008-0,41 g/t, sedangkan penelitian Sari (2016: 13), pada batuan Bukit Tinggi 12 mengandung emas (Au) sebanyak 21 %. Selain itu Li dkk. (2019: 1849) memperoleh kandungan emas (Au) sebesar 258,95 ppm pada batuan induk. Data tersebut menunjukkan bahwa pada setiap daerah seperti perbukitan dan

pegunungan masing-masing memiliki kadar emas (Au) yang berbeda-beda. Hal tersebut telah diisyaratkan dalam firman Allah QS. Al-Hijr /15:19-20

وَالْأَرْضَ مَدَدْنَاهَا وَأَلْقَيْنَا فِيهَا رَوَاسِيَ وَأَنْبَتْنَا فِيهَا مِنْ كُلِّ شَيْءٍ مَوْزُونٍ ﴿١٩﴾ وَجَعَلْنَا
لَكُمْ فِيهَا مَعِيشَ وَمَنْ لَسْتُمْ لَهُ بِرَازِقِينَ ﴿٢٠﴾

Terjemahnya

”Dan Kami telah menghamparkan bumi dan Kami pancangkan padanya gunung-gunung serta Kami tumbuhkan di sana segala sesuatu menurut ukuran. Dan Kami telah menjadikan untukmu di bumi keperluan-keperluan hidup, dan (kami menciptakan pula) makhluk-makhluk yang kamu sekali-kali bukan pemberi rezki kepadanya (Kementerian Agama RI, 2013)”.

Menurut tafsir Ibnu Katsir (2009), ayat tersebut menjelaskan bagaimana Dia menciptakan bumi dan menjadikannya membentang luas dan datar, menjadikan gunung-gunung yang tegak, lembah-lembah, tanah (daratan), pasir dan berbagai tumbuh-tumbuhan dan buah-buahan yang sesuai. Ibnu ‘Abbas mengatakan tentang “*Min kulli syai in mauzun*” artinya segala sesuatu menurut ukuran. Sebagian ulama mengatakan “*Mauzun*” artinya ditentukan kadarnya.

Ayat di atas mengisyaratkan bahwa Allah telah menciptakan bumi dan gunung-gunung beserta segala sesuatu yang ada di dalamnya sesuai dengan kadarnya masing-masing. Salah satu contohnya yaitu seperti kadar emas (Au) pada batuan disetiap daerah pegunungan yang berbeda-beda.

Batuan banyak tersebar di wilayah Indonesia, termasuk di daerah Sulawesi Selatan. Beberapa jenis batuan yang dapat ditemukan di Sulawesi Selatan khususnya daerah pegunungan Kecamatan Tompobulu Kabupaten Bantaeng yaitu batuan Breksi Laharik, Kelompok Basal dan Piroklastik. Jenis batuan tersebut tersusun dari satu

atau lebih mineral yang berbeda (BPS Bantaeng, 2013: 13). Perbedaan mineral dalam batuan menyebabkan ciri fisik setiap batuan juga berbeda-beda, hal ini dijelaskan dalam firman Allah QS. Fathir /35:27

أَلَمْ تَرَ أَنَّ اللَّهَ أَنْزَلَ مِنَ السَّمَاءِ مَاءً فَأَخْرَجْنَا بِهِ ثَمَرَاتٍ مُخْتَلِفًا أَلْوَانُهَا وَمِنَ الْجِبَالِ جُدَدٌ بَيْضٌ وَحُمْرٌ مُخْتَلِفٌ أَلْوَانُهَا وَغَرَابِيبُ سُودٌ ﴿٢٧﴾

Terjemahnya

”Tidakkah engkau melihat bahwa Allah menurunkan air dari langit lalu dengan air itu Kami hasilkan buah-buahan yang beraneka macam jenisnya. Dan diantara gunung-gunung itu ada garis-garis putih dan merah yang beraneka macam warnanya dan ada (pula) yang berwarna hitam pekat (Kementrian Agama RI, 2013)”.

Menurut tafsir Al-Misbah (2009), ayat tersebut menjelaskan bahwa diantara gunung-gunung ada yang memiliki jalur-jalur dan garis-garis berwarna putih dan merah yang kejelasan dan keburamannya berbeda satu sama lain dan diantara gunung-gunung ada garis-garis putih dan merah yang beraneka ragam warnanya. Kemukjizatan ayat ini dari segi ilmu pengetahuan sebenarnya bukan hanya tampak ketika Ia menyebutkan bahwa warna gunung yang bermacam-macam itu disebabkan adanya perbedaan materi-materi yang dikandung oleh bebatuan gunung-gunung itu. Jika materinya besi maka warna dominannya adalah merah, jika materinya batubara maka warna dominannya hitam, jika materinya perunggu maka gunung tersebut berwarna kehijau-hijauan dan seterusnya.

Ayat di atas menjelaskan bahwa perbedaan garis warna pegunungan terjadi karena adanya perbedaan warna dari batuan penyusun gunung tersebut. Perbedaan warna pada setiap batuan terbentuk karena materi atau mineral penyusun batuan tersebut berbeda-beda.

Aminah (2018: 67) menyatakan bahwa batuan yang mengandung emas dan bersifat dominan seperti elektum (AuAg) memiliki warna putih krem, sedangkan emas yang bersifat minor dalam batuan seperti kalkopirit (CuFeS_2) berwarna kuning brosa, memiliki pecahan granuler yang tersebar secara acak dan terinklusi dalam kuarsa dan pirit (FeS_2) berwarna kuning putih, bentuk granuler tidak beraturan dan tersebar secara acak serta terinklusi dalam kuarsa.

Batuan yang terdapat di Kecamatan Tompobulu Kabupaten Bantaeng Sulawesi Selatan secara fisik memiliki butiran-butiran kecil berwarna kuning dalam bongkahan batuan dan mengkilap apabila terkena cahaya. Berdasarkan ciri fisik tersebut diduga bahwa pada batuan tersebut mengandung mineral emas. Selain berdasar pada ciri fisik tersebut, juga telah dilakukan uji pendahuluan mengenai kandungan mineral emas dalam batuan Kecamatan Tompobulu Kabupaten Bantaeng Sulawesi Selatan. Kandungan emas (Au) yang diperoleh pada batuan tersebut yaitu $< 0,021$ ppm. Berdasarkan hal tersebut, maka perlu dilakukan karakterisasi mineral emas dari batuan tersebut untuk mengetahui karakteristik mineral emas Kecamatan Tompobulu Kabupaten Bantaeng Sulawesi Selatan.

B. Rumusan Masalah

Rumusan masalah pada penelitian ini yaitu bagaimana karakterisasi mineral emas Kecamatan Tompobulu Kabupaten Bantaeng Sulawesi Selatan?

C. Tujuan Penelitian

Tujuan dari penelitian ini yaitu untuk mengetahui karakteristik mineral emas Kecamatan Tompobulu Kabupaten Bantaeng Sulawesi Selatan.

D. Manfaat Penelitian

Manfaat dari penelitian ini yaitu menambah pengetahuan tentang karakteristik mineral emas yang ada di kecamatan Tompobulu kabupaten Bantaeng Sulawesi Selatan dan sebagai referensi untuk penelitian selanjutnya terkait dengan ekstraksi emas (Au).



BAB II

TINJAUAN PUSTAKA

A. Batuan

Batuan adalah segala macam material penyusun kerak bumi baik material padat maupun lepas seperti pasir dan debu karena batuan merupakan material padat penyusun kerak bumi yang terbentuk secara alami dari gabungan beberapa mineral yang berbeda-beda (Widyastuti, 2016: 9).

Batuan terbentuk melalui beberapa proses yaitu pertama proses kristalisasi merupakan proses pembekuan magma dari dalam bumi ke permukaan bumi karena adanya perubahan suhu dan tekanan. Kedua yaitu metamorfisme merupakan proses perubahan batuan yang disebabkan oleh suhu dan tekanan yang tinggi dan ketiga yaitu pengendapan merupakan proses pengendapan batuan sedimen baik di darat maupun di dalam air (Wibowo, dkk. 2017: 1678).

Batuan terbagi menjadi beberapa jenis berdasarkan proses pembentukannya yaitu:

1. Batuan beku

Batuan beku adalah batuan hasil dari kristalisasi magma. Batuan yang termasuk batuan beku yaitu batuan granit, batuan basalt dan batuan andesit (Wibowo, dkk. 2017: 1677).

2. Batuan sedimen

Batuan sedimen adalah batuan yang berasal dari batuan beku yang melapuk akibat adanya pengaruh cuaca yang tersedimentasi karena adanya aliran air dan angin (Muntaha, 2007: 17). Batuan sedimen ini merupakan hasil dari proses pengendapan batuan. Batuan yang termasuk jenis batuan sedimen

yaitu batuan konglomerat, batuan pasir dan batuan gamping (Wibowo, dkk. 2017: 1677).

3. Batuan metamorf

Batuan metamorf adalah batuan sedimen yang mineral penyusunnya mengalami perubahan akibat tekanan dan panas bumi (Muntaha, 2007: 17). Batuan ini merupakan hasil dari proses metamorfisme. Batuan yang termasuk batuan jenis metamorf yaitu batuan marmer dan batu sabak (Wibowo, dkk. 2017: 1677).

Batuan memiliki banyak manfaat bagi kehidupan manusia. Sari (2016: 20), menyatakan bahwa batuan dapat dijadikan sebagai bahan bangunan. Sedangkan penelitian Siswanto, dkk. (2017: 46) memperoleh hasil bahwa batuan jenis *trass* dapat dimanfaatkan dalam bidang pertanian dengan mengubah batuan *trass* tersebut menjadi pupuk kalium karena mengandung silika (SiO_2) yang cukup tinggi. Selain itu, hasil penelitian Munasir, dkk. (2012: 20) yaitu batuan dapat juga dijadikan sebagai salah satu sumber material cerdas kalsium karbonat (CaCO_3) dan silika (SiO_2). Batuan dapat pula dijadikan sebagai sumber logam emas (Au) karena terdapat beberapa batuan yang mengandung mineral emas seperti pada hasil penelitian Sari (2016: 21) yaitu pada batuan tambang di Bukit 12 terdapat kandungan emas sebesar 21 %.

Erzagian, dkk (2016: 421), menyatakan bahwa batuan beku yang terbentuk pada masing-masing periode magmatik memiliki tipe dan karakteristik mineral yang berbeda-beda. Penelitian Aminah (2018: 68), menyatakan bahwa komposisi dari batuan bijih terdiri dari kuarsa (SiO_2), serta sedikit mineral sulfida yaitu kalkopirit (CuFeS_2), spalerit (ZnS), pirit (FeS_2) dan kovelit (CuS), sedangkan unsur-unsur yang

terkandung dalam batuan biji emas yaitu Silikon (Si) sebesar 30,69 %, Aluminium (Al) sebanyak 21,977 %, Kalium (K) sebesar 1,58 %, Kalsium (Ca) sebesar 6,97 %, Besi (Fe) sebesar 2,98 % dan Tembaga (Cu) sebesar 0,0050 %.

B. Mineral Emas

Bumi tersusun dari tiga lapisan yakni lapisan inti bumi, lapisan mantel dan lapisan kerak bumi (Mini, dkk., 2005: 20). Lapisan kerak bumi atau lapisan terluar bumi memiliki 3000 jenis mineral, namun hanya 30 diantaranya yang paling banyak ditemukan (Suparno, 2019: 12). Mineral di alam terbentuk melalui proses anorganik dan setiap mineral memiliki struktur kristal tertentu (Widiyastuti, 2016: 9).

Mineral adalah suatu senyawa yang terbentuk dari proses anorganik yang berupa zat padat dan memiliki struktur kristal tertentu (Widiyastuti, 2016: 9). Mineral sering disebut juga sebagai zat anorganik atau kadar abu yang banyak dimanfaatkan oleh makhluk hidup (Liyanan, 2015: 66).

Dana, dkk. (2018: 695), menyatakan bahwa pembentukan mineral secara umum terdiri dari 4 tahap, yaitu:

1. Tahap *early epithermal stage*

Tahap *early epithermal stage* merupakan tahap pembentukan mineral sulfida sebagai pembawa logam dasar.

2. Tahap *middle epithermal stage*

Tahap *middle epithermal stage* merupakan tahap pembentukan mineral emas dan perak.

3. Tahap *late epithermal stage*

Tahap ini merupakan tahap pembentukan mineral kuarsa *barren*.

4. Tahap *supergone stage*

Tahap ini merupakan proses penggantian mineral kovelit (CuS), hematit (Fe_2O_3), magnetit (Fe_2O_4) dan geotit ($\text{Fe}_2\text{O}_3 \cdot \text{H}_2\text{O}$).

Mineral dalam perut bumi terbagi menjadi dua yaitu mineral bersifat sebagai non-logam mulia seperti tembaga (Cu), timbal (Pb), seng (Zn), timah (Sn), besi (Fe), mangan (Mn) dan nikel (Ni) dan mineral yang bersifat sebagai logam mulia seperti perak (Ag), platina (Pt) dan emas (Au). Mineral dalam perut bumi baik mineral logam mulia maupun mineral non-logam mulia bersifat tidak dapat diperbaharui (Sari, 2016: 13).

Menurut Rosanti (2012) dalam Junaedy, dkk. (2016: 212), menyatakan bahwa mineral terbagi menjadi beberapa bagian berdasarkan sifat kemagnetannya, yaitu:

1. Diamagnetik

Memiliki nilai kerentanan magnetik (K) yang sangat kecil. Contohnya yaitu gipsum ($\text{CaSO}_4 \cdot 2\text{H}_2\text{O}$), marmer (CaCO_3), kuarsa (SiO_2) dan garam.

2. Paramagnetik

Memiliki nilai kerentanan magnetik (K) positif yang kecil. Contohnya yaitu kapur (CaO).

3. Ferromagnetik

Memiliki nilai kerentanan magnetik (K) positif yang besar. Contohnya yaitu pirit (FeS_2), magnetit (Fe_2O_4) dan hematit (Fe_2O_3).

4. Antiferromagnetik

Memiliki nilai kerentanan magnetik (K) yang sangat kecil mendekati nilai K paramagnetik. Contohnya yaitu hematit (Fe_2O_3).

5. Ferrimagnetik

Memiliki nilai kerentanan magnetic (K) yang tinggi namun lebih rendah dari nilai K ferromagnetik. Contohnya yaitu magnetit (Fe_2O_4) dan pirit (Fe_{1-x}S).

Lucas (1985) dalam Rusdiarso (2007: 15), menyatakan bahwa keberadaan emas di bumi dapat ditemukan dalam bentuk nativ atau alluvial. Mineral emas dalam bentuk nativ terjadi karena adanya mineral emas yang terinklusi dalam kuarsa sehingga dapat di temukan dalam batuan kuarsa, sedangkan mineral emas alluvial terjadi karena adanya pelapukan pada batuan yang mengandung mineral emas.

Menurut Faeyumi (2012) dalam Junaedy, dkk. (2016) menyatakan bahwa mineral pembawa bijih emas terbagi menjadi 2, yaitu mineral yang mengandung logam dan non-logam yang mengendap dalam mineral sulfida. Contoh dari mineral tersebut yaitu kuarsa (SiO_2), adularia (KAlSi_3O_8), pirit (FeS_2), kaolinit ($\text{Al}_2(\text{OH})_4\text{Si}_2\text{O}_5$), klorit (ClO_2) dan kalkopirit (CuFeS_2).

Mineral emas yang bersifat dominan dalam suatu batuan terbagi menjadi beberapa jenis diantaranya nativ, elektrum (AuAg), kalaverit (AuTe_2) dan silvanit ($(\text{Au}, \text{Ag})_2\text{Te}_4$) sedangkan mineral emas yang bersifat sebagai unsur minor terbagi menjadi arsenopirit (FeAsS), kalkoprit (CuFeS_2) dan pirit (FeS_2). Mineral kalkopirit (CuFeS_2) berwarna kuning brosa, mineral spalerit (ZnS) berwarna abu-abu, mineral kovelit (CuS) berwarna abu-abu kebiruan dan merupakan hasil dari daur ulang mineral kalkopirit (CuFeS_2), mineral pirit (FeS_2) berwarna kuning putih, mineral elektrum (AuAg) berwarna putih krem sedangkan kuarsa (SiO_2) memiliki berbagai variasi warna yaitu putih, bening, abu-abu dan abu-abu gelap (Aminah, 2018: 66).

Penelitian Aulia (2018: 102) memperoleh hasil bahwa mineral alam banyak digunakan dalam bidang kedokteran seperti pemanfaatan emas dalam bidang kecantikan sebagai kosmetik karena serbuk emas dapat menjaga kesehatan kulit dan menjadikan kulit menjadi lebih cerah.

C. Kristal

Kristal merupakan suatu padatan yang memiliki kompoenen penyusun berupa atom, molekul atau ion yang tersusun secara teratur dengan pola tiga dimensi (Chairunnisa dan yoga, 2010:18). Kristal suatu mineral dalam batuan dapat diketahui dengan melakukan uji karakterisasi mineral menggunakan alat *X-Ray Diffraction* (X-RD) (Sari, 2016:16).

Pembentukan kristal dalam mineral baik mineral yang mengandung logam maupun non-logam terbentuk pada proses kristalisasi magma yang menyebabkan mineral dalam bumi juga ikut membeku menjadi bentuk yang teratur membentuk ujung tajam. Setiap terbentuk kristal pada mineral yang berbeda memiliki bentuk yang berbeda-beda (Hynes, 2006: 9).

Menurut Smallman dan Bioshop (2000:16), bentuk-bentuk kristal adalah sebagai berikut:

1. Kubik memiliki sumbu $a_1 = a_2 = a_3$ dengan semua sudut sumbu 90° .
2. Tetragonal memiliki sumbu $a_1 = a_2 \neq c$ dengan semua sudut sumbu 90° .
3. Ortorombik memiliki sumbu $a_1 \neq a_2 \neq c$ dengan semua sudut sumbu 90° .
4. Monoklinik memiliki sumbu $a_1 \neq a_2 \neq c$ dengan dua sudut sumbu 90° dan satu sudut $\neq 90^\circ$.
5. Triklinik memiliki sumbu $a_1 \neq a_2 \neq c$ semua sudut berbeda tidak sama dengan 90° .

6. Heksagonal memiliki sumbu $a_1=a_2=a_3 \neq c$ dengan sudut-sudut 90° dan 120° .
7. Rhombohedral memiliki sumbu $a_1=a_2=a_3$ dengan semua sudut sama tetapi bukan 90° .

Sistem kital pada setiap mineral penyusun batuan berbeda-beda. Hasil penelitian Ardha dan Tatang (2011: 27), menyatakan bahwa emas yang terinklusi dalam pirit mempunyai sisi dan kuat ikat yang sama atau disebut sebagai struktur kristal kubus atau *cubic*. Sedangkan Zhang dkk. (2018: 143), memperoleh hasil bahwa dari pirit As-poor (Py1) menjadi arsenopirit (Py2), kemudian menjadi pirit As-poor non-kubik (Py3) lalu akhirnya menjadi pirit As-poor (Py4) memiliki kristal yang bervariasi yaitu dari kristal *dodecahedron pentagonal* menjadi kristal *cubic* atau kubus.

D. X-Ray Diffraction (X-RD)

X-Ray Diffraction (X-RD) merupakan alat yang dapat digunakan untuk menganalisis jenis mineral dan mengkarakterisasi material kristal dari sampel (Widyastuti, 2016: 10). Hasil karakteristik menggunakan X-RD menunjukkan puncak-puncak dominan yang mencirikan bidang-bidang dominan yang konsisten dari unsur atau senyawa penyusun bahan batuan diteliti (Sujiono, 2014: 166). *X-Ray Diffraction* (X-RD) memanfaatkan Sinar-X yang memiliki panjang gelombang antara panjang gelombang sinar gamma (γ) dan sinar ultraviolet sekitar 1 \AA^0 (Sari, 2016: 17).



Gambar 2.1 Alat *X-Ray Diffraction* (X-RD)

Prinsip kerja dari *X-Ray Diffraction* (X-RD) yaitu Sinar-X dihamburkan pada sampel serbuk yang diletakkan tempat dalam alat X-RD dengan sudut difraksi $\theta = 0^{\circ}$ sampai 60° (Sari, 2016: 17). Sampel serbuk yang memiliki permukaan rata dan ketebalan yang cukup mampu menyerap sinar-X. Alat monitor dapat diputar mengelilingi sampel dan diatur pada sudut 2θ terhadap alur datang. Alat monitor dijajarkan supaya sumbunya selalui melalui dan bersudut tepat dengan sumbu putaran sampel (Munasir, dkk., 2012: 23).

X-Ray Diffraction (X-RD) memiliki kelebihan dibandingkan dengan alat yang lainnya yaitu mampu menganalisis berbagai jenis mineral lempung yang memiliki struktur yang sensitif terhadap perubahan suhu (Sari, dkk., 2014: 371). Penelitian Munasir (2012: 20) memperoleh hasil X-RD batu onik dan batu putih menunjukkan bahwa sampel tersebut mempunyai fase dominan struktur kristal kalsit (CaCO_3), sedangkan penelitian Andreas dan Putra (2018: 296) memperoleh hasil uji menggunakan *X-Ray Diffraction* (XRD) sampel batuan Gunung Gamalama diperoleh mineral Albit dan Berlinit dengan struktur triklinik dan ortorombik serta kristal berukuran 160,3 nm dan Gunung Talang diperoleh mineral Kristobalit dan Alunit dengan struktur Tetragonal dan Rombohedral serta Kristal berukuran 106,65 nm.

E. X-Ray Fluorescences (X-RF)

X-Ray Fluorescences (X-RF) adalah teknik analisis non-destruktif yang digunakan untuk menganalisis komposisi, kekerasan dan sifat termal dari suatu sampel (Sujiono, 2014: 166). *X-Ray Fluorescences (X-RF)* merupakan salah satu alat yang memanfaatkan sinar-X untuk menganalisis kandungan unsur dalam bahan yang berupa padat massif, pelet, maupun serbuk (Munasir, 2012: 24).

Prinsip kerja dari *X-Ray Fluorescences (X-RF)* yaitu sinar-X dipancarkan melewati suatu sampel sehingga terjadi proses perpindahan elektron dari energi yang lebih tinggi ke tingkat energi yang lebih rendah. Sinar yang melewati sampel disebut sebagai sinar-X karakteristik. Sinar-X karakteristik tersebut yang diteruskan menuju detektor untuk diubah ke dalam sinyal tegangan (*voltage*), diperkuat oleh *Preamp* dan dimasukkan ke *analyzer* untuk diolah menjadi data (Jamaluddin dan Darma, 2012:22).



Gambar 2.1 Alat *X-Ray Fluorescences (X-RF)*

X-Ray Fluorescences (X-RF) memiliki kelebihan dan kekurangan seperti alat yang lainnya. Kelebihan dari *X-Ray Fluorescences (X-RF)* yaitu dapat menganalisis mineral selain magnetit dan hematit serta mampu menutupi kekurangan dari IRM yang hanya dapat menganalisis mineral magnetit dan hematit (Maradelta, dkk., 2016: 49) serta dapat digunakan untuk menganalisis sampel tanpa merusak sampel tersebut (Sari, 2016: 16). Sedangkan kekurangan dari alat ini yaitu sangat tergantung pada ukuran dan homogenitas sampel (Kurniawati, dkk., 2014: 28).

Batuan emas mengandung beberapa mineral yang berbeda-beda. Hasil uji batuan bijih emas menggunakan *X-Ray Fluorescences* (XRF) oleh Aminah (2018: 68) diperoleh Silikon (Si) sebesar 30,69 %, Aluminium (Al) sebanyak 21,977 %, Kalium (K) sebesar 1,58 %, Kalsium (Ca) sebesar 6,97 %, Besi (Fe) sebesar 2,98 % dan Tembaga (Cu) sebesar 0,0050 %.



BAB III

METODE PENELITIAN

A. Tempat dan waktu penelitian

Penelitian telah dilaksanakan di Laboratorium Kimia Anorganik Fakultas Sains dan Teknologi, Universitas Islam Negeri Alauddin Makassar, Laboratorium Politeknik Negeri Ujung Pandang dan Laboratorium Universitas Hasanuddin, pada bulan 12 Februari 2020- 17 Juli 2020.

B. Alat dan bahan

1. Alat

Alat-alat yang digunakan pada penelitian ini *X-Ray Diffraction (XRD)*, *X-ray Fluorescence (XRF)*, oven, *Global Positioning System (GPS)*, *sieve shaker*, timbangan digital, gelas kimia, meteran, linggis, cangkul, martil, lumpang dan alu, wadah sampel dan label.

2. Bahan

Bahan yang digunakan pada penelitian ini yaitu aquades (H_2O) dan sampel batuan.

C. Prosedur kerja

1. Pengambilan Sampel

Lokasi pengambilan yaitu di desa Bonto Tappalang Kecamatan Tompobulu Kababupaten Bantaeng Sulawesi. Pertama yaitu menentukan 5 titik pengambilan sampel menggunakan alat *Global Positioning System (GPS)* yaitu sampel 1 pada titik koordinat $05^{\circ} 26.387'$ LS dan $120^{\circ} 00.162'$ BT dengan ketinggian 798 mdpl, sampel 2 yaitu pada titik koordinat $05^{\circ} 26.388'$ LS dan $120^{\circ} 00. 173'$ BT dengan ketinggian 789 mdpl, sampel 3 pada titik koordinat 05°

26.384' LS dan 120° 00.165' BT dengan ketinggian 803 mdpl, sampel 4 pada titik koordinat 05° 26.389' LS dan 120° 00.159' BT dengan ketinggian 797 mdpl dan sampel 5 pada titik koordinat 05° 26.392' LS dan 120° 00.160' BT dengan ketinggian 795 mdpl. Setelah itu mengukur jarak antar sampel titik 1 dan titik 2, sampel titik 1 dan titik 3, sampel titik 1 dan titik 4 serta sampel titik 1 dan titik 5 masing-masing yaitu 50 m, kemudian mengambil sampel pada setiap titik dengan menggunakan palu geologi dengan kedalaman masing-masing 50 cm dari permukaan tanah (Widyastuti, 2016).

2. Preparasi Sampel

Mencuci sampel batuan dengan aquades (H_2O) (Noviyanti, dkk., 2015: 170), lalu menghancurkan sampel menggunakan martil, kemudian menghaluskan menggunakan lumpang dan alu menjadi serbuk (Andreas dan Ardian, 2018). Selanjutnya menghilangkan kadar air pada suhu 100 °C selama 20 menit kemudian mengayak serbuk menggunakan *sieve shaker* dengan ukuran 170 mesh/88 μm (Aminah, 2018).

3. Karakterisasi

a. *X-Ray Diffraction (XRD)*

Karakterisasi menggunakan *X-Ray Diffraction (XRD)* dilakukan untuk mengetahui jenis mineral dan struktur kristal dari sampel. Memasukkan sampel ke dalam plat sampel lalu meletakkan pada tempat sampel dalam alat *X-Ray Diffraction*. Setelah itu menguji dengan menggunakan *X-Ray Diffraction* (Sari, 2016).

b. *X-Ray Fluorescence (XRF)*

Karakterisasi menggunakan *X-Ray Fluorescence (XRF)* dilakukan untuk mengetahui komposisi unsur kimia mineral dalam sampel. Memasukkan sampel ke dalam holder, kemudian menganalisis dengan *X-Ray Fluorescence (XRF)* (Qadri dan Ardian, 2018).



BAB IV

HASIL PENELITIAN DAN PEMBAHASAN

A. Hasil Penelitian

1. Struktur Mineral Emas

Tabel 4.1 Struktur Kristal Mineral Emas

Sampel	Unit Sel (Å)	Struktur Kristal
Titik 1	4.1641	Kubik
Titik 2	3.5270	Kubik
Titik 3	4,0782	Kubik
Titik 4	4,0704	Kubik
Titik 5	4,1030	Kubik

2. Jenis Mineral

Tabel 4.2 Perbandingan Data Hasil Pengukuran Sampel Titik 1 dengan Database Mineral

Data Hasil Pengukuran	Database Mineral	Jenis Mineral
20 (°)	20 (°)	
13,48	13,508	Hedenbergit
13,79	13,739	Kalsium Magnesium Katena-Silika (Diopsida)
20,12	20,145	Aegirin
24,66	24,694	Augit
26,84	26,849	Klinopiroxin

Tabel 4.3 Perbandingan Data Hasil Pengukuran Sampel Titik 2 dengan Database Mineral

Data Hasil Pengukuran	Database Mineral	Jenis Mineral
20 (°)	20 (°)	
14,30	14,255	Magnesium Tiosulfat Hexahidrat
19,15	19,205	Augit
24,37	24,325	Goldfeldit
30,04	30,029	Tembaga(I) Antimon Sulfida
55,11	55,061	Kalkopirit
64,04	64,111	Besi Nikel Sulfida

Tabel 4.4 Perbandingan Data Hasil Pengukuran Sampel Titik 3 dengan Database Mineral

Data Hasil Pengukuran	Database Mineral	Jenis Mineral
20 (°)	20 (°)	
10,46	10,439	Manitobait
10,88	10,840	Porpirazinealuminium Klorida
11,38	11,345	Barium Indium Nitrida
18,29	18,290	Stenhuggarit
27,95	27,847	Augit

Tabel 4.5 Perbandingan Data Hasil Pengukuran Sampel Titik 4 dengan Database Mineral

Data Hasil Pengukuran	Database Mineral	Jenis Mineral
20 (°)	20 (°)	
13,76	13,698	Kalsium Magnesium Katena-silika (Diopsida)
20,01	20,043	Augit
20,46	20,473	Klinopiroxin
29,81	29,818	Aegirin
29,90	29,917	Hedenbergit

Tabel 4.6 Perbandingan Data Hasil Pengukuran Sampel Titik 5 dengan Database Mineral

Data Hasil Pengukuran	Database Mineral	Jenis Mineral
20 (°)	20 (°)	
11,33	11,348	Barium Indium Nitrida
13,69	13,698	Diopsida
18,25	18,290	Stenhuggarit
19,29	19,248	Hedenbergit
21,23	21,197	Olimpit
21,47	21,434	Fizelyit
24,70	24,694	Augit
28,91	28,930	Zirkonolit

3. Komposisi Mineral

Tabel 4.7 Komposisi Senyawa yang Terkandung dalam Sampel

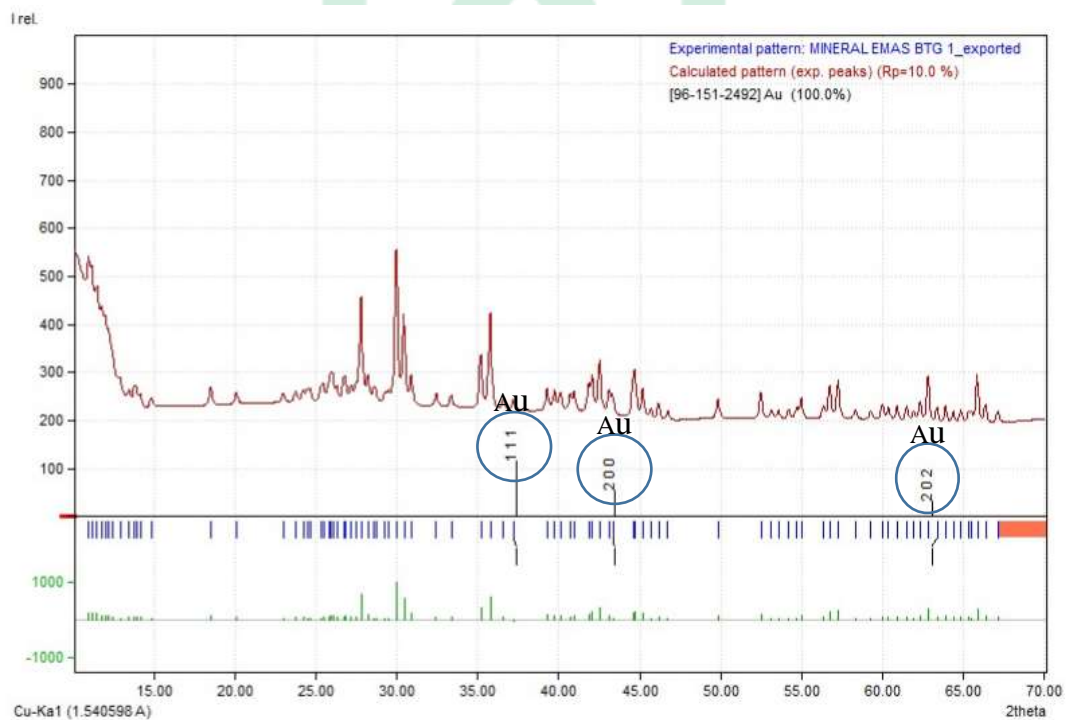
Sampel	SiO ₂ (%)	Fe ₂ O ₃ (%)	Al ₂ O ₃ (%)	CaO (%)	TiO ₂ (%)
Titik 1	39,44	27,67	17,62	8,54	4,38
Titik 2	41,94	23,21	19,09	9,69	3,57
Titik 3	39,67	23,61	21,52	9,12	3,61
Titik 4	41,15	23,23	19,75	9,37	3,44
Titik 5	41,77	24,51	18,46	8,93	3,90
Range	39,44-41,94	23,23-27,67	17,62-21,52	8,54-9,69	3,44-4,38

Tabel 4.8 Komposisi Unsur yang Terkandung dalam Sampel

Sampel	Si(%)	Fe(%)	Al(%)	Ca(%)	Ti(%)
Titik 1	18,44	19,35	9,32	6,10	2,62
Titik 2	19,61	16,23	16,23	6,93	2,14
Titik 3	18,55	16,51	11,39	6,52	2,17
Titik 4	19,24	16,25	10,45	6,70	2,06
Titik 5	19,53	17,14	9,77	6,38	2,34
Range	18,44-19,61	16,23-19,35	9,32-16,23	6,10-6,93	2,06-2,62

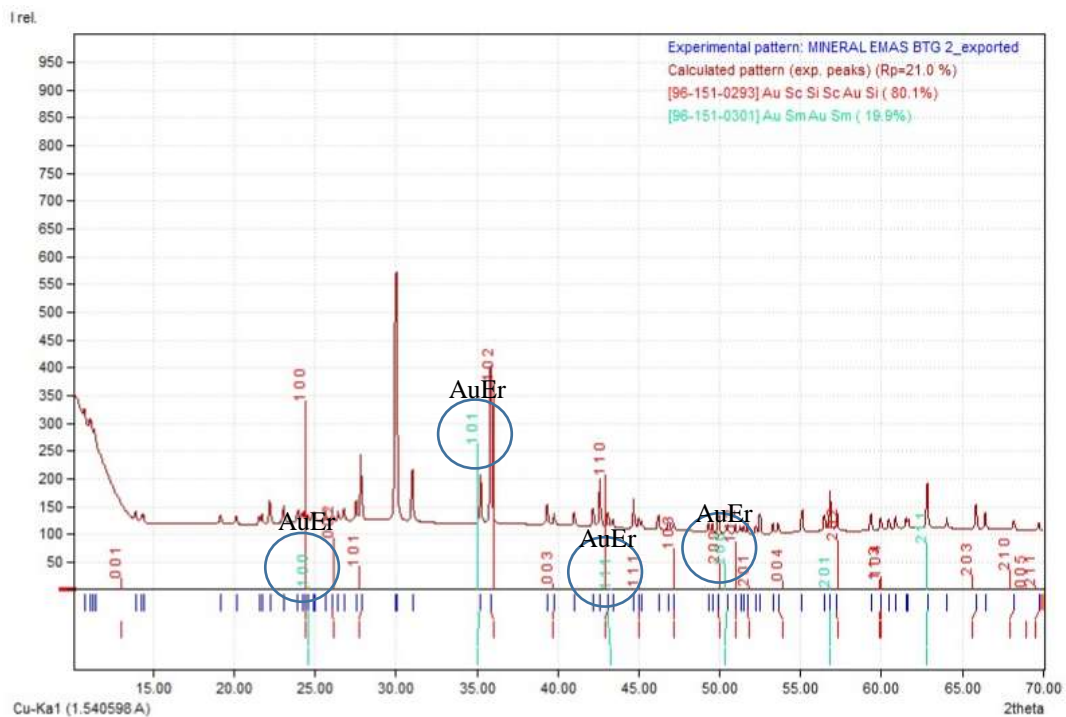
B. Pembahasan

Lima sampel dari titik pengambilan yang berbeda dapat dilihat pada lampiran IV dikarakterisasi dengan menggunakan alat *X-Ray Diffraction* (XRD) kemudian dianalisis dengan metode *search match* atau pencocokan antara data hasil pengukuran dengan data *Joint Committee on Powder Diffraction Standard* (JCPDS) sehingga diperoleh hasil analisis yang dapat dilihat pada lampiran V. Berikut ini adalah hasil analisis yang menunjukkan adanya peak yang terbentuk pada sudut difraksi (2θ) tertentu pada setiap sampel.

**Gambar 4.1** Analisis Hasil Pengukuran Sampel Titik 1

Gambar 4.1 menunjukkan adanya mineral emas pada sampel titik 1 yang ditandai dengan terbentuknya peak pada sudut difraksi (2θ) 37.22° , 43.34° dan 63.37° . Merujuk pada lampiran V, dapat dilihat bahwa formula mineral emas pada sampel titik 1 ini yaitu Au (Aurum).

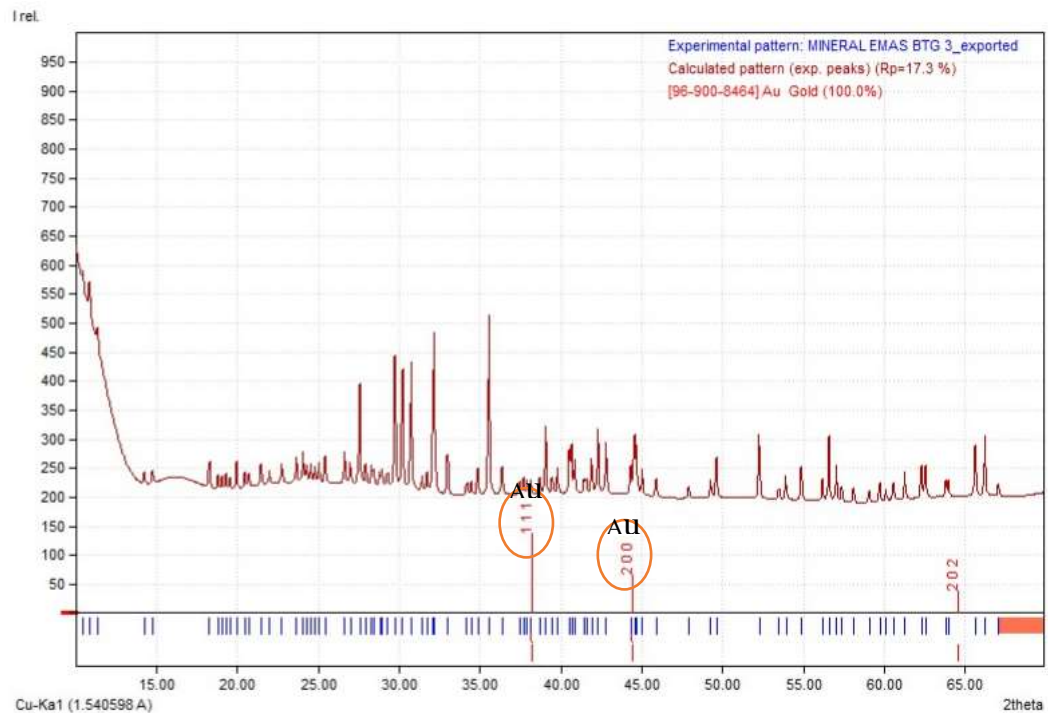
Keberadaan mineral emas pada sampel titik 2 dapat dilihat pada gambar 4.2 berikut ini:



Gambar 4.2 Analisis Hasil Pengukuran Sampel Titik 2

Gambar 4.2 menunjukkan adanya kandungan mineral emas pada sampel titik 2 yang dapat dilihat dengan terbentuknya peak pada sudut difraksi (2θ) 24.98° , 35.89° , 44.71° dan 51.73° . Dapat dilihat pada lampiran V, bahwa formula mineral emas pada sampel titik 2 ini yaitu AuEr (Aurum Erbium) dengan jumlah peak yang terbaca pada range sudut difraksi (2θ) $15-70^{\circ}$ yaitu terdapat 6 peak, namun hanya ada 4 peak yang cocok dengan data base mineral emas.

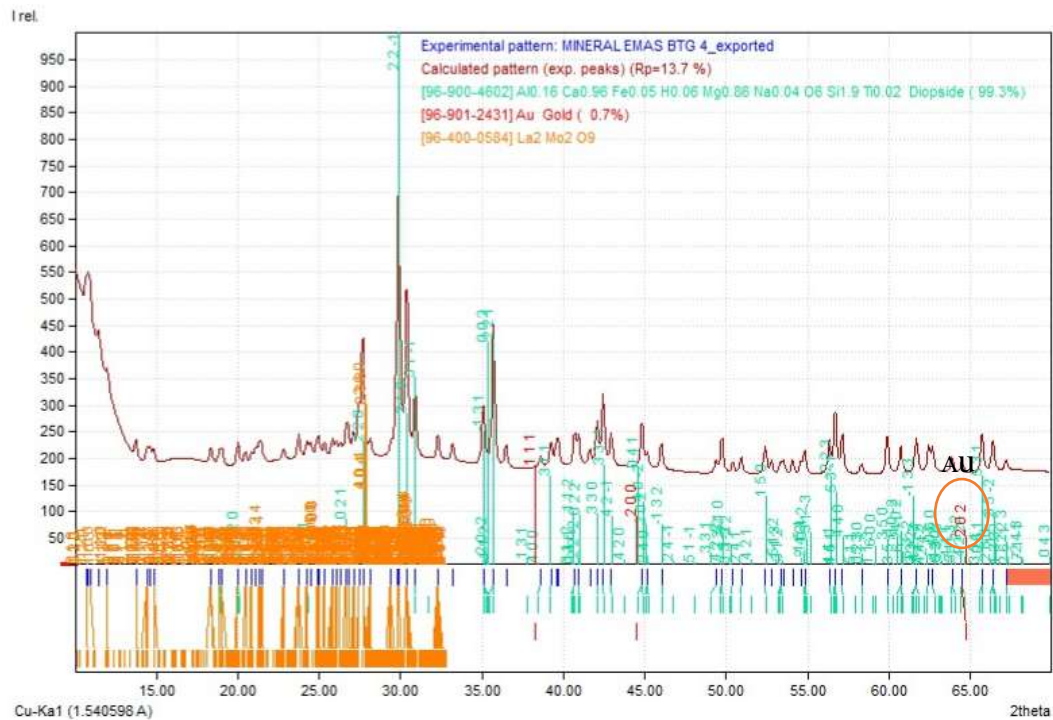
Hasil analisis pada sampel titik 3 dapat dilihat pada gambar 4.3 berikut ini:



Gambar 4.3 Analisis Hasil Pengukuran Sampel Titik 3

Gambar 4.3 menandakan adanya mineral emas pada sampel titik 3 yang ditandai dengan terbentuknya peak pada sudut difraksi (2θ) $38,15^\circ$ dan $44,34^\circ$. Dilihat pada lampiran V dapat diketahui bahwa formula mineral emas pada sampel titik 2 ini yaitu Au (Aurum) dengan jumlah peak yang terbaca oleh alat *X-Ray Diffraction* (XRD) pada range sudut difraksi (2θ) $15-70^\circ$ yaitu terdapat 3 peak, namun hanya ada 2 peak yang cocok dengan data base mineral emas.

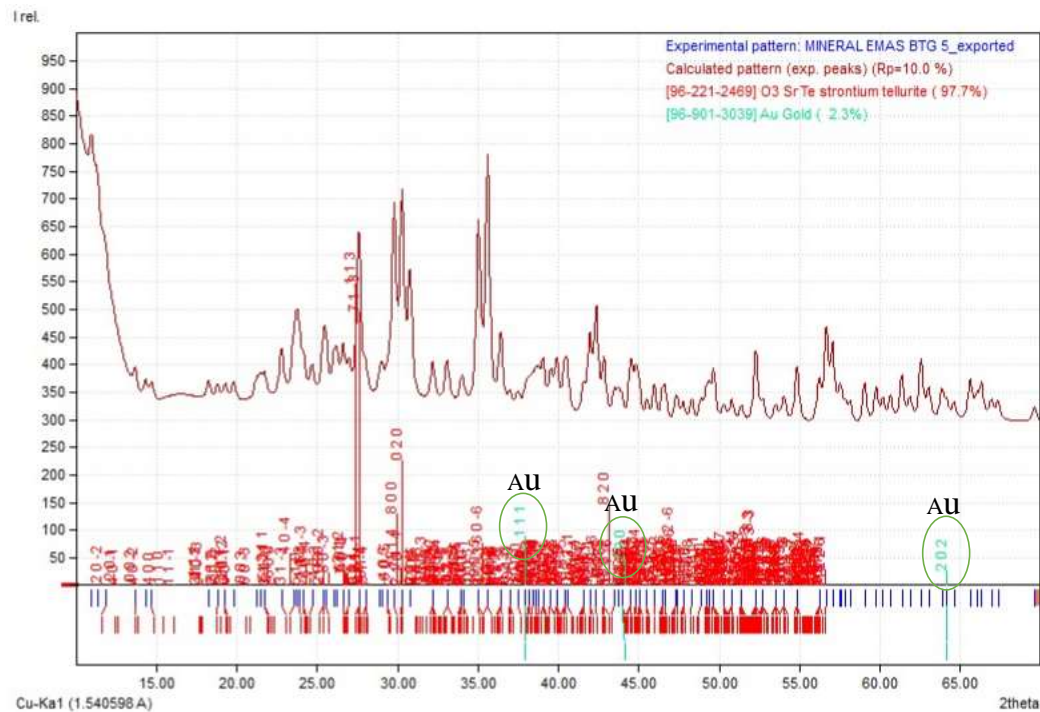
Keberadaan mineral emas pada sampel titik 4 dapat dilihat dengan terbentuknya peak pada sudut difraksi (2θ) seperti pada gambar 4.4



Gambar 4.4 Analisis Hasil Pengukuran Sampel Titik 4

Gambar 4.4 menunjukkan adanya mineral emas dengan terbentuknya peak pada sudut difraksi (2θ) $64,49^{\circ}$. Dilihat pada lampiran V dapat diketahui bahwa formula mineral emas pada sampel titik 2 ini yaitu Au (Aurum) dengan jumlah peak yang terbaca oleh alat *X-Ray Diffraction* (XRD) pada range sudut difraksi (2θ) $15-70^{\circ}$ yaitu terdapat 3 peak, namun hanya ada 1 peak yang cocok dengan data base mineral emas.

Keberadaan mineral emas pada sampel titik 5 dapat dilihat pada gambar 4.5 sebagai berikut:



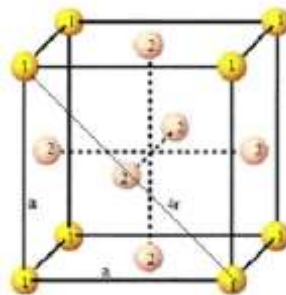
Gambar 4.5 Analisis Hasil Pengukuran Sampel Titik 5

Gambar 4.5 mineral emas yang ditandai dengan terbentuknya beberapa peak pada sudut difraksi (2θ) 37.95° , 43.96° dan 64.15° . Merujuk pada lampiran V dapat dilihat bahwa formula mineral emas pada sampel titik 5 ini yaitu Au (Aurum) dengan jumlah peak yang terbaca oleh alat *X-Ray Diffraction* (XRD) pada range sudut difraksi (2θ) $15-70^\circ$ yaitu terdapat 3 peak.

Data hasil analisis menggunakan *X-Ray Diffraction* (XRD) dari lima sampel dengan titik yang berbeda diatas menunjukkan bahwa pada kelima sampel tersebut mengandung mineral emas. Merujuk pada lampiran V, data hasil analisis menggunakan metode *search match* dari kelima sampel tersebut menunjukkan bahwa bentuk struktur kristal mineral emas dari kelima titik sampel tersebut yaitu berbentuk

kubik, yang mana Smallman dan Bioshop (2000:16) struktur kristal berbentuk kubik memiliki parameter kisi atau unit sel $a_1=a_2=a_3$ dan semua sudutnya memiliki sumbu 90° . Unit sel struktur kubik dari setiap sampel dapat dilihat pada tabel 4.1 yang menunjukkan bahwa titik 1,3,4 dan 5 yaitu mineral Au (Aurum) sehingga memiliki unit sel yang hampir sama sedangkan unit sel dari titik 2 yang sedikit berbeda, dapat dilihat pada lampiran V bahwa mineral emas titik 2 yaitu mineral emas yang berikatan dengan salah satu unsur lantanida yaitu Er (Erbium) membentuk Au Er (Aurum Erbium). Emas (Au) memiliki nomor atom 79 dan elektron valensi 1 sedangkan erbium (Er) memiliki nomor atom 68 dan elektron valensi 8, sehingga ikatan yang terbentuk pada senyawa Au Er (Aurum Erbium) yaitu ikatan logam yang mana emas (Au) memiliki elektron valensi 1 dan salah satu sifat dari unsur logam yaitu cenderung melepas electron sehingga elektron valensi Au lepas dan Au menjadi bermuatan positif (+) sedangkan elektron yang dilepaskan oleh Au akan bergerak bebas mengisi ruang-ruang diantara kisi-kisi kation logam yang bermuatan positif. Elektron ini juga disebut sebagai lautan elektron yang dapat menghantarkan listrik dan panas.

Menurut Sutikno (2010: 10) menyatakan bahwa struktur kristal dari emas yaitu termasuk struktur kristal kubus pusat muka atau *face centered cubic* (FCC). Berikut ini adalah gambar struktur kubik FCC.



Gambar 4.6 Struktur *face centered cubic* (FCC)

Gambar 4.6 merupakan struktur kristal mineral emas yang berbentuk *face centered cubic* (FCC) yang terdiri dari 8 atom dipojok kubus dan masing-masing 1 atom pada muka kubus, sehingga jumlah atom dalam setiap sel satuan/unit sel yaitu terdapat 4 atom. Pada lampiran VIII dapat dilihat bahwa jari-jari atom struktur kubik dari setiap titik berbeda-beda yaitu pada struktur kubik titik 1 jari-jari atomnya sebesar $r = 1,4722$, titik 2 jari-jari atomnya yakni $r = 1,2469$, titik 3 jari-jari atomnya yaitu $r = 1,4418$, titik 4 jari-jari atomnya senilai $r = 1,4390$ dan pada titik 5 jari-jari atomnya yaitu $r = 1,4506$.

Selain mineral emas, ditemukan pula beberapa jenis mineral lain dalam kelima sampel tersebut yang dapat dilihat jelas dengan mencocokkan secara manual data sudut difraksi (2θ) dari hasil pengukuran dengan database mineral. Pada tabel 4.1 sampai tabel 4.5. dapat dilihat bahwa jenis mineral yang terdapat pada setiap sampel yaitu jenis mineral Diopsida ($\text{Al}_{0.6}\text{CaMg}_{0.7}\text{O}_6\text{Si}_{1.7}$) dan Augit ($\text{CaFe}_{0.25}\text{Mg}_{0.74}\text{O}_6\text{Si}_2$). Selain kedua mineral tersebut, juga terdapat beberapa jenis mineral yang sering muncul pada beberapa sampel seperti Hedenbergit ($\text{Ca}_{0.503}\text{FeNa}_{0.497}\text{O}_6\text{Si}_2$) yang terdapat pada sampel titik 1, 4 dan 5 serta mineral Aegirin ($\text{Ca}_{0.488}\text{FeNa}_{0.512}\text{O}_6\text{Si}_2$) yang terdapat pada sampel titik 1,2 dan 4. Perbandingan antara data hasil pengukuran dengan database mineral dari kelima sampel diatas menunjukkan bahwa kandungan mineral yang ada pada kelima titik sampel tersebut hampir sama karena pengambilan sampelnya berada pada lokasi yang sama, hanya titik pengambilan sampelnya saja yang berbeda.

Jenis mineral yang ada pada setiap sampel memiliki komposisi yang berbeda-beda. Tabel 4.7 menunjukkan bahwa senyawa oksida yang terdapat pada setiap sampel yaitu senyawa Silika dioksida (SiO_2), Besi oksida (Fe_2O_3), Aluminium oksida (Al_2O_3), kalsium oksida (CaO) dan titanium dioksida (TiO_2). Silika (Si) memiliki elektron valensi 4 sedangkan oksigen (O) memiliki elektron valensi 6, sehingga pada senyawa Silika dioksida (SiO_2) terbentuk 2 ikatan kovalen rangkap 2. Sedangkan pada senyawa besi oksida (Fe_2O_3), aluminium oksida (Al_2O_3), kalsium oksida (CaO) dan senyawa titanium dioksida (TiO_2) terbentuk ikatan ionik dengan selisih nilai keelektronegatifan masing-masing unsur yang saling bertikatan >2 .

Pada tabel 4.7 dan 4.8 menunjukkan bahwa kandungan senyawa Silika dioksida (SiO_2) dari kelima titik sampel yaitu berada pada range 39,44-41,94 %, Besi oksida (Fe_2O_3) yaitu range 23,23-27,67 %, Aluminium oksida (Al_2O_3) yaitu range 17,62-21,52 %, kalsium oksida (CaO) yaitu range 8,54-9,69 % dan titanium dioksida (TiO_2) yaitu range 3,44-4,38 % sedangkan kandungan unsur silika (Si) yaitu range 18,44-19,61 %, besi (Fe) yaitu range 16,23-19,35 %, aluminium (Al) yaitu range 9,32-16,23 %, kalsium (Ca) yaitu range 6,10-6,93 % dan titanium (Ti) yaitu range 2,06-2,62 %. Sehingga dapat diketahui bahwa senyawa dominan yang ada pada kelima sampel tersebut adalah senyawa silika (SiO_2).

Berdasarkan data diatas dapat dilihat bahwa silika (Si), besi (Fe), aluminium (Al), kalsium (Ca) dan titanium (Ti) dalam bentuk senyawa oksida memiliki persentase yang lebih besar dibandingkan dengan silika (Si), besi (Fe), aluminium (Al), kalsium (Ca) dan titanium (Ti) dalam bentuk unsur. Hal ini dikarenakan silika (Si), besi (Fe), aluminium (Al), kalsium (Ca) dan titanium (Ti) dalam bentuk senyawa

oksida berikatan dengan oksigen (O) sehingga persentasenya lebih besar dibandingkan dalam bentuk unsur.

Berdasarkan hasil karakterisasi menggunakan *X-Ray Fluorescence* (XRF), komposisi dari setiap sampel tidak memiliki perbedaan yang signifikan yang mana pada setiap sampel didominasi oleh senyawa silika (SiO_2). Berdasarkan hasil karakterisasi menggunakan alat XRD menunjukkan bahwa pada kelima sampel tersebut mengandung mineral emas, seperti yang dijelaskan Junaedi, dkk (2016: 210) bahwa mineral kuarsa/silika (SiO_2), pirit (CuS_2) dan kalkopirit (CuFeS_2) merupakan salah satu mineral pembawa biji emas. Penjelasan tersebut mempertegas hasil penelitian ini yang menunjukkan bahwa pada sampel batuan tersebut mengandung mineral emas, meskipun komposisi mineral emas dalam kelima sampel tersebut sangat sedikit sehingga tidak terdeteksi oleh alat XRF yang mana berdasarkan hasil uji pendahuluan, kadar emas yang terdapat pada sampel batuan ini yaitu $<0,021$ ppm. Hal serupa pun terjadi pada penelitian Aminah (2018: 68), yang mana kadar emas sebesar 5,2 ppm tidak terbaca pada alat XRF.

Lucas (1985) dalam Rusdiarso (2007; 15) mengungkapkan bahwa mineral emas yang terinklusi dalam kuarsa disebut sebagai mineral emas bentuk nativ sedangkan menurut Aminah (2018: 67) emas yang terinklusi dalam kuarsa disebut sebagai emas yang bersifat minor. Sehingga dari penjelasan tersebut dapat diketahui bahwa mineral emas pada kelima sampel tersebut merupakan mineral emas yang bersifat minor dan berbentuk nativ.

BAB V

PENUTUP

A. Kesimpulan

Karakterisasi sampel menggunakan XRD diperoleh jenis mineral Emas (Au), Diopsida ($\text{Al}_{0.6}\text{CaMg}_{0.7}\text{O}_6\text{Si}_{1.7}$) dan Augit ($\text{CaFe}_{0.25}\text{Mg}_{0.74}\text{O}_6\text{Si}_2$) dengan struktur kristal mineral emas berbentuk kubik. Sedangkan karakterisasi menggunakan XRF diperoleh komposisi mineral yang terdapat pada sampel didominasi oleh senyawa silika (SiO_2) dengan range 39,44-41,94 %.

B. Saran

Saran yang dapat diberikan untuk penelitian selanjutnya yaitu sebaiknya menggunakan metode karakterisasi lain untuk mengetahui kadar emas dalam sampel, salah satunya yaitu menggunakan metode analisis *Fire Assay*.



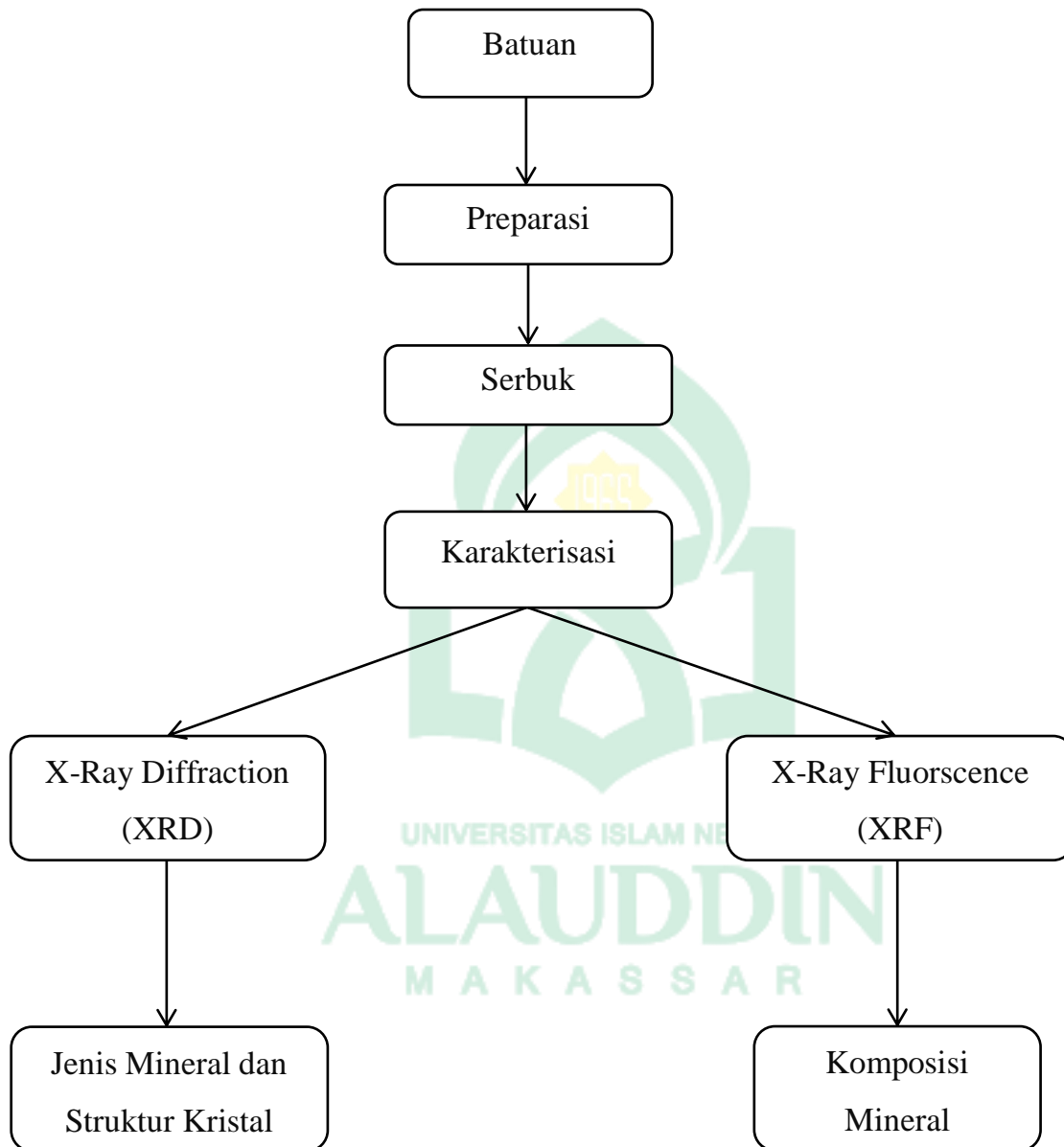
DAFTAR PUSTAKA

Al-Qur'an Al-Karim.

- Abdullah, Bin Muhammad Bin Abdurrahman Bin Ishaq Alu Syaikh. *Tafsir Ibnu Katsir jilid 5*. Jakarta: Pustaka Imam Asy-Syafi'I, 2009.
- Afzal, P., A. Bijan dan S. M. Heidari. "Determination of Mineralization Stages Using Correlation Between Geochemical Fractal Modeling and Geological Data in Arabshah Sedimentary Rock-Hosted Epithermal Gold Deposit, NW Iran". *Ore Geology Reviews* 91 (2017): 278-295.
- Aminah, Siti. "Karakterisasi Batuan Biji Emas". *Elemen* 5, no. 2 (2018): h. 66-70.
- Andreas, Alexandros dan Ardian Putra. "Perbandingan Karakteristik Batuan Beku Erupsi Gunung Gamalama dan Gunung Talang". *Fisika unand* 7, no. 4 (2018): h. 293-298.
- Ardha, Ngurah dan Tatang Wahyudi. "Karakterisasi Mineral Ampas Pengolahan Bijih Emas Pongkor". *Teknologi Mineral dan Batubara* 7, no. 1 (2011): h. 20-33.
- Aulia, Umi. "Tinjauan Maqasid Syari'ah Terhadap Penyajian Makanan yang Dihias dengan Serbuk Emas". *Az-zarqa'* 10, no. 1 (2018): h. 91-113.
- Baharun, Norlia dan Ong Pek Ling. "Characterization and Gold Assaying Methods in the Assessment of Low Grade Gold Ore from Malaysia". *Advanced Materials Research* 858 (2014): h. 243-247.
- BPS Bantaeng. *Buku Putih Sanitasi Kabupaten Bantaeng*. Bantaeng: Pokja Sanitasi. 2013.
- Chairunnisa, Popy Sarah dan Yoga Windu wardana. "Karakterisasi Kristal Bahan Padat Aktif Farmasi". *Farmaka* 14. no. 1 (2010):h. 17-32.
- Dana, Cendi D.P., A. Idrus, F. Yuniardi, I.A. Meak dan R. Langkoke. "Mineralogi dan Tekstur Endapan Emas Epitermal Sulfidasi Rendah-Menengah Daerah Cibeber, Kompleks Kubah Bayah, Provinsi Banten". *Proceeding Seminar Nasional kebumian ke-11* (2018): h. 695-706.
- Darwanta, Sriyanto dan N.M. Manyerom. "Karakterisasi Material Batu Asap dari Pantai Kapung Arare Kabupaten Sarmi-Papua". *Kimia* 2, no. 1 (2018): h. 36-41.
- Ezagian, E., L.D Setijadji dan I.W. Warmada. "Studi Karakterisasi dan Petrogenesis Batuan Beku di Daerah Singkawang dan Sekitarnya, Provinsi Kalimantan Barat". *Proceeding Seminar Kebumian Ke-9* (2016): h. 421-432.
- Hynes, Margaret. *Batuan dan Fosil*. Jakarta: Erlangga, 2006.
- Idrus, Arifuddin, L. D. Setijadji, I. W. Warmada dan W. Y. Mustakim. "Geologi dan Alterasi Hidrotermal Di gunung Batur Wediombo, Kabupaten Gunung Kidul, Provinsi DI. Yogyakarta". *Proceeding Seminar Nasional kebumian ke-7* (2014): h. 657-664.

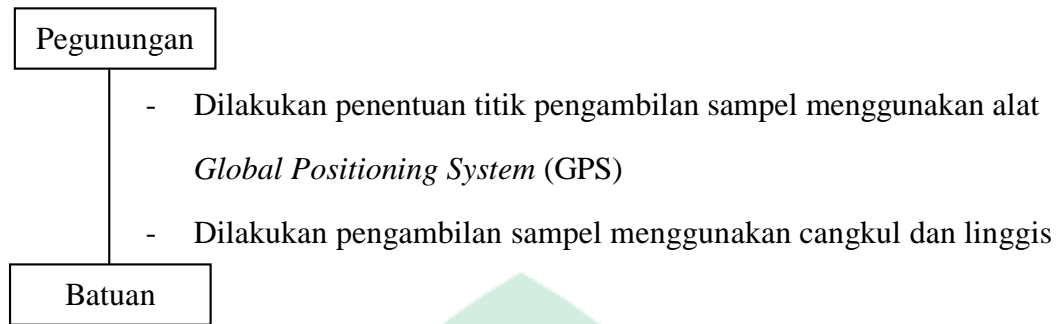
- Jamaludin, Agus dan Darma Adiantoro. "Analisis Kerusakan *X-Ray Fluorescence* (XRF)". *Teknologi Bahan Bakar Nuklir* 9, no. 10 (2012): h. 19-28.
- Juharni. "Karakterisasi Pasir Besi Pantai Marina Kabupaten Bantaeng". *Skripsi* (2016): h. 1-62.
- Junaedy, Muhammad, Rustan Efendi dan Sandra. "Studi Zona Mineralisasi Emas Menggunakan Metode Magnetik Di Lokasi Tambang Emas Poboya". *Natural Science* 5, no. 2 (2016): h. 209-222.
- Kementrian Agama RI. *Al Qur'an dan Terjemahnya*. 2013.
- Kurniawati, S., I.Kusmartini, D.D Lestiani dan W.Y. Niken Syahfiitri. "Uji Interkomprasi Metode AAN dan XRF untuk Analisis Sampel Sedimen IAEA". *Iptek Nuklir Ganendra* 17, no. 1 (2014): h. 27-33.
- Li, Huajian, Qingfei Wang, Jun Deng, Lin yang, Chaoyi Dong dan Huazhi Yu. "Alteration and Mineralization Styles of the Orogenic Disseminated Zhenyuan Gold Deposit, Southeastern Tibet: Contrasts With Carlin Gold Deposit". *Geoscience Frontiers* 10 (2019): h. 1849-1862.
- Liyanan, E. Septianingrum dan B. kusbiantoro. "Kandungan Unsur Mineral Seng (Zn), Bioavailabilitas dan Biofortifikasinya dalam Beras". *Sungkai* 3, no. 2 (2015): h. 65-73.
- Maradelta, D., H. Rifai dan A. Fauzi. "Karakterisasi Jenis Mineral Magnetik Sedimen Gua di Liang Luar Kabupaten Manggarai Barat Provinsi Nusa Tenggara Timur Menggunakan Metode *X-Ray Diffraction* (XRD)". *Pillar Of Physics* 7 (2016): h. 49-56.
- Mini, Marshall. *Earth*. terj. Terry Mart. Intisari ilmu Planet Bumi. Jakarta: Erlangga, 2005.
- Munasir, Triwikantoro, Zainuri, M. dan Darminto. "Uji XRD dan XRF pada Bahan Mineral (Batuan dan Pasir) Sebagai Sumber Material Cerdas (CaCO_3 Dan SiO_2)". *Penelitian Fisika dan Aplikasinya* 2, no. 1 (2012): h. 20-29.
- Muntaha, Moh. "Identifikasi Kekuatan Batu Kumpang (Batu Putih) Sebagai Salah Satu Alternatif Bahan Bangunan". *Aplikasi* 2, no. 1 (2017): h. 16-21.
- Noviyanti, Jasruddin dan Eko Hadi Sujiono. "Karakterisasi Kalsium Karbonat (CaCO_3) dari Batu Kapur Kelurahan Tellu Limpoe Kecamatan Suppa". *Sains dan Pendidikan Fisika* 11, no. 2 (2015): h. 169-172.
- Qadri, Rahmat Ravvi dan Ardian Putra. "Studi Alterasi Hidrotermal dan Mineralisasi Batuan di Sekitar Mata Air Panas Garara Bukit Kili, Kabupaten Solok, Sumatera Barat". *Fisika Unand* 7, no. 3 (2018): h. 246-252.
- Rusdiarso, Bambang. "Studi Ekstraksi Pelarut Emas (III) dalam Larutan Konsentrat Tembaga PT Freeport dengan 8-Metylxantin". *Berkala MIPA* 17, no. 2 (2007): h. 15-22.
- Sari, Rindang Kembar. "Potensi Mineral Batuan Tambang Bukit 12 dengan Metode XRD, XRF dan AAS". *Eksakta* 2 (2016): h. 13-23.
- Shihab, M. Quraish. *Tafsir Al-Misbah Pesan Kesan dan Keserasian Al-Quran*. Jakarta: Lentera Hati, 2009.

- Siswanto, M.Y. Mahardika dan L.A Maulidi. "Pupuk Kalium Silika dengan Proses Kalsinasi Berbasis Batuan Trass". *Teknik Kimia* 11, no. 2 (2017): h. 46-50.
- Smallman dan Bishop. *Metalurgi Fisik Modern dan Rekayasa Material*. Jakarta: Erlangga, 2000.
- Sujiono, E. H., M. Diantoro dan Samnur. "Karakterisasi Sifat Fisis Batuan Nikel di Sorowako Sulawesi Selatan". *Pendidikan Fisika Indonesia* 10, no. 2 (2014): h. 163-167.
- Sumarjono, E., G. Nusantoro, Suyono dan U. Sukamto. "Merkuri dalam Bjih Emas di Dusun Sangon II Kalirejo Kokap Kulongprogo daerah Istimewa Yogyakarta". *Prosiding Nasional Rekayasa Teknologi Industri dan Informasi XIV Tahun 2019 (ReTII)*. (2019): h. 91-97.
- Suparno, Supriyanto. *Energi Panas Bumi*. Jakarta: Departemen Fisika-FMIPA UI, 2019.
- Umar, Muhammad agus. "Bonus Demografi Sebagai Peluang dan Tantangan Pengelolaan Sumber Daya Alam di Era Otonomi Daerah". *Genta Mulia* 8, no. 2 (2017): h. 90-99.
- Wibowo, S.N., B. hidayat dan J. Arif. "Identifikasi Jenis Batuan Beku Melihat Bentuk Pola Batuan Menggunakan Metode *Discrete Wavelet Transform* (DWT) dan *K-Nearest Neighbor* (KKN)". *E-Proceeding of Engineering* 4, no. 2 (2017): h. 1677-1684.
- Widiyastuti, dewi Amelia. "Analisa Struktur Batuan dari Sungai Aranio Kabupaten Banjar Menggunakan *X-Ray Diffraction*". *Sains dan Terapan politeknik Hasnur* 4, no. 1 (2016): h. 8-13.
- Zhang, H., Yuangfeng Cai dan Tan Bao. "Mineralogical Characteristics of Silver Minerals From the Dongyang Gold Deposit, China: Implication for the Evolution of Epithermal metallogenesis". *Geochemical Exploration* 195 (2018): h. 143-156.

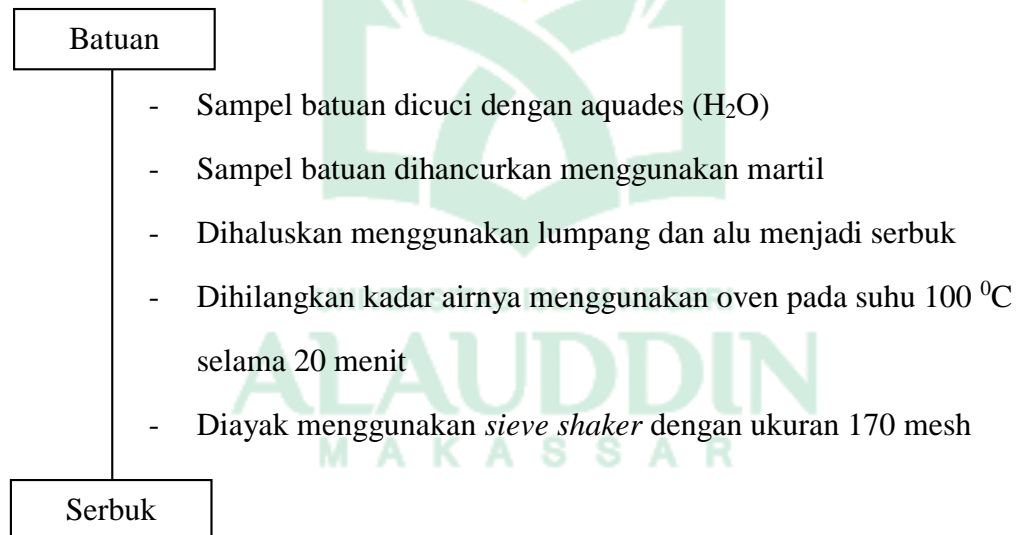
Lampiran I : Skema Kerja Penelitian

Lampiran II : Diagram alir

1. Pengambilan Sampel

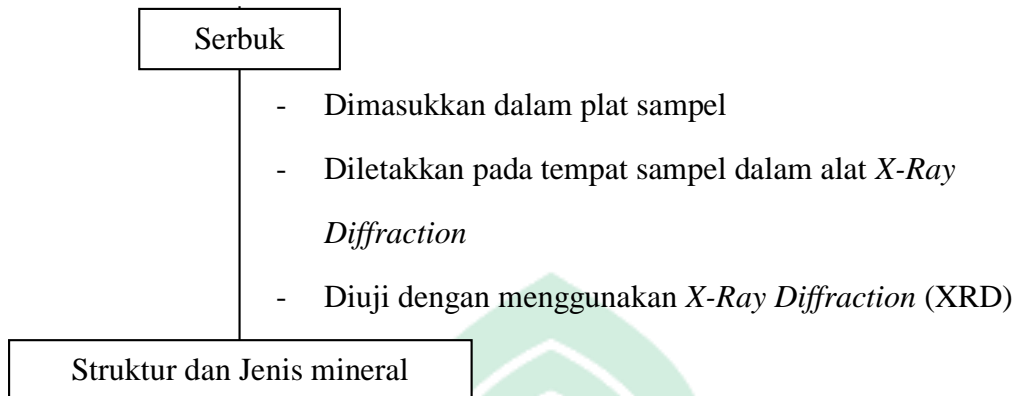


2. Preparasi Sampel

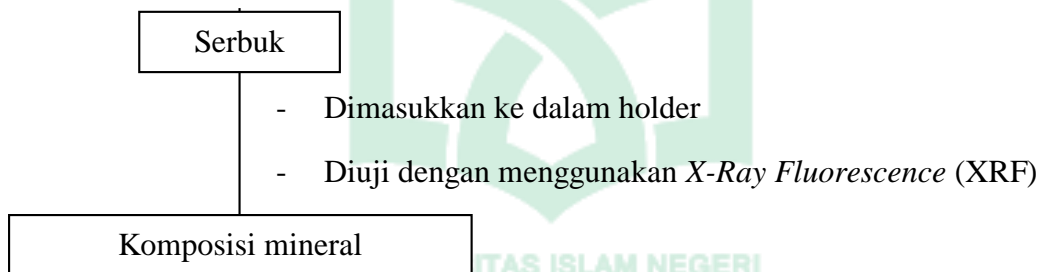


3. Karakterisasi

a. *X-Ray Diffraction (XRD)*



b. *X-Ray Fluorescence (XRF)*



Lampiran III : Dokumentasi

1. Pengambilan Sampel



Penentuan titik 1



Penentuan titik 2



Penentuan titik 3



Penentuan titik 4



Penentuan titik 5



Pengukuran jarak antar titik



Proses penggalian



Proses penggalian



Pengukuran kedalaman



Sampel titik 1



Sampel titik 2



Sampel titik 3



Sampel titik 4



Sampel titik 5

2. Preparasi Sampel



Pencucian sampel 1



Pencucian sampel 2



Pencucian sampel 3



Pencucian sampel 4



Pencucian sampel 5



Pemecahan sampel



Menghaluskan sampel



Sampel titik 1



Sampel titik 2



Sampel titik 3



Sampel titik 4



Sampel



Pengurangan kadar air pada sampel



Pengayakan



Menimbang

3. Karakterisasi



XRD



XRF

Menim

Lampiran IV : Peta Pengambilan Sampel



Batas Desa Bontotappalang Kecamatan Tompobulu Kabupaten Bantaeng



- Ket:
- ▲ = Titik 1 ($05^{\circ} 26.387'$ LS, $120^{\circ} 00.162'$ dengan ketinggian 798 mdpl)
 - ▲ = Titik 2 ($05^{\circ} 26.388'$ LS, $120^{\circ} 00.173'$ dengan ketinggian 789 mdpl)
 - ▲ = Titik 3 ($05^{\circ} 26.384'$ LS, $120^{\circ} 00.165'$ dengan ketinggian 803 mdpl)
 - ▲ = Titik 4 ($05^{\circ} 26.389'$ LS, $120^{\circ} 00.159'$ dengan ketinggian 797 mdpl)
 - ▲ = Titik 5 ($05^{\circ} 26.392'$ LS, $120^{\circ} 00.160'$ dengan ketinggian 795 mdpl)

-Jarak titik 1-2 = 50 m

-Jarak titik 1-3 = 50 m

-Jarak titik 1-4 = 50 m

-Jarak titik 1-5 = 50 m

Lampiran V : Hasil XRD

Match! Phase Analysis Report

Sample 1 : MINERAL EMAS BTG 1_exported

Sample Data

File name MINERAL EMAS BTG 1_exported.xy
 File path E:/PNUP/XRD
 Data collected Mar 4, 2020 22:29:21
 Data range 10.092° - 70.098°
 Number of points 1189
 Step size 0.051
 Rietveld refinement converged No Alpha2 subtracted Yes
 Background subtr. No
 Data smoothed No
 2theta correction 0.09°
 Radiation X-rays
 Wavelength 1.540598 Å

Index	Amount (%)	Name
A	100.0	
	10.6	Unidentified peak area

A: Au (100.0 %)

Formula sum Au
 Entry number 96-151-2492
 Figure-of-Merit (FoM) 0.613174
 Total number of peaks 10
 Peaks in range 3
 Peaks matched 3
 Intensity scale factor 0.12
 Space group F m -3 m
 Crystal system cubic
 Unit cell a= 4.1641 Å
 V/Icor 32.81
 Calc. density 18.118 g/cm³
 Reference

Lejaeghere K., Van Speybroeck V., Van Oost G., Cottenier S., "Error Estimates for Solid-State Density-Functional Theory Predictions: An Overview by Means of the Ground-State Elemental Crystals", Critical Reviews in Solid State and Materials Sciences **39(1)**, 1 (2014)



Name	Formula	Entry No.	FoM
Diopside	Al _{0.6} Ca Mg _{0.7} O ₆ Si _{1.7}	96-900-5279	0.8609
Diopside	Al _{0.6} Ca Mg _{0.7} O ₆ Si _{1.7}	96-900-5278	0.8592
Diopside	Al _{0.16} Ca _{0.96} Fe _{0.05} H _{0.06} Mg _{0.86} Na _{0.04} O ₆ Si _{1.9} Ti _{0.02}	96-900-4602	0.8572
Diopside	Al _{0.29} Ca _{0.9} Mg _{0.96} O ₆ Si _{1.85}	96-900-5184	0.8501
Diopside	Al _{0.6} Ca Mg _{0.7} O ₆ Si _{1.7}	96-900-5280	0.8486
Diopside	Al _{0.32} Ca _{0.688} Cr _{0.002} Fe _{0.258} Mg _{0.656} Mn _{0.003} Na _{0.187} O ₆ Si _{1.846} Ti _{0.04}	96-900-5005	0.8471
Diopside	Al _{0.303} Ca _{0.705} Cr _{0.001} Fe _{0.24} Mg _{0.684} Mn _{0.004} Na _{0.176} O ₆ Si _{1.848} Ti _{0.039}	96-900-5002	0.8452
Diopside	Al _{0.301} Ca _{0.708} Cr _{0.001} Fe _{0.235} Mg _{0.696} Mn _{0.002} Na _{0.173} O ₆ Si _{1.847} Ti _{0.03796}	96-900-5004	0.8444
Hedenbergite	Ca _{0.503} Fe Na _{0.497} O ₆ Si ₂	96-901-0085	0.8444
Calcium magnesium catena-silicate (Diopside)	Ca Mg O ₆ Si ₂	96-101-1058	0.8440
Diopside	Al _{0.209} Ca _{0.896} K _{0.072} Mg _{0.887} O ₆ Si _{1.936}	96-900-5561	0.8439
Calcium magnesium catena-silicate (Diopside)	Ca Mg O ₆ Si ₂	96-101-1048	0.8437
Diopside	Al _{0.254} Ca _{0.751} Cr _{0.007} Fe _{0.244} Mg _{0.77} Mn _{0.003} Na _{0.092} O ₆ Si _{1.848} Ti _{0.031}	96-900-5007	0.8434
Diopside	Al _{0.328} Ca _{0.687} Cr _{0.006} Fe _{0.233} Mg _{0.692} Mn _{0.006} Na _{0.158} O ₆ Si _{1.846} Ti _{0.04496}	96-900-5003	0.8424
Diopside	Al _{0.29} Ca _{0.45} Mg _{0.91} O ₆ Si _{1.85}	96-900-5183	0.8421
Diopside	Al _{0.255} Ca _{0.645} Cr _{0.044} Fe _{0.128} Mg _{0.957} Mn _{0.002} Na _{0.094} O ₆ Si _{1.883} Ti _{0.00896}	96-900-6146	0.8421
Diopside	Al _{0.187} Ca _{0.712} Cr _{0.046} Fe _{0.11} Mg _{1.007} Mn _{0.003} Na _{0.048} O ₆ Si _{1.902} Ti _{0.003}	96-900-6148	0.8413
Diopside	Al _{0.207} Ca _{0.694} Cr _{0.046} Fe _{0.123} Mg _{0.997} Mn _{0.003} Na _{0.052} O ₆ Si _{1.892} Ti _{0.00296}	96-900-6147	0.8412

Ca.818 Mg.792 Fe.183 Fe.086 Al.151 Al.269 Si1.731 O6Al0.42 Ca0.818 Fe0.269 Mg0.792 O6 Si1.731	96-152-6738	0.8405	
Diopside	Al0.332 Ca0.691 Cr0.003 Fe0.244 Mg0.742 Mn0.008 Na0.128 O6 Si1.816 Ti0.036	96-900-5008	0.8400
Aegirine	Ca0.488 Fe Na0.512 O6 Si2	96-901-0084	0.8400
Hedenbergite	Ca0.506 Fe Na0.494 O6 Si2	96-901-0083	0.8399
Diopside	Al0.32 Ca0.8 Mg1.03 O6 Si1.85	96-900-5186	0.8391
Clinopyroxene	Ca0.5 Fe Na0.5 O6 Si2	96-900-5435	0.8388
Diopside	Al0.342 Ca0.661 Cr0.003 Fe0.253 Mg0.731 Mn0.007 Na0.132 O6 Si1.826 Ti0.045	96-900-5009	0.8384
Diopside	Al0.189 Ca0.72 Cr0.04 Fe0.111 Mg1.03 Mn0.003 Na0.027 O6 Si1.891 Ti0.003	96-900-6149	0.8382
Hedenbergite	Ca0.55 Fe Na0.45 O6 Si2	96-901-0082	0.8377
	Na O6 Si2 Ti	96-210-4036	0.8374
Hedenbergite	Ca0.501 Fe Na0.499 O6 Si2	96-901-0086	0.8372
Si9.04 Ca11.44 As16	As16 Ca11.44 Si9.04	96-210-6515	0.8369
Diopside	Al0.109 Ca0.737 Cr0.04 Fe0.116 Mg1.052 Mn0.003 Na0.022 O6 Si1.934 Ti0.001	96-900-6150	0.8364
	Na O6 Si2 Ti	96-210-4037	0.8363
Diopside	Al0.288 Ca0.654 Cr0.041 Fe0.126 Mg0.957 Mn0.004 Na0.078 O6 Si1.863 Ti0.01	96-900-6145	0.8362
Aegirine	Ca0.396 Fe Na0.604 O6 Si2	96-901-0088	0.8362
Diopside	Al0.323 Ca0.661 Cr0.005 Fe0.206 Mg0.771 Mn0.001 Na0.153 O6 Si1.851 Ti0.029	96-900-5010	0.8360
	Na O6 Si2 Ti	96-210-4035	0.8350
Diopside	Al Ca Mg0.5 O6 Si1.5	96-900-5281	0.8345
Diopside	Al0.06 Ca0.91 Fe0.1 Mg0.91 Na0.05 O6 Si1.97	96-900-1333	0.8344
Diopside	Al0.121 Ca0.828 Cr0.023 Fe0.072 Mg0.89 Mn0.001 Na0.102 O6 Si1.962 Ti0.002	96-900-5236	0.8343
Diopside	Ca0.94 Fe0.036 Mg0.964 Na0.06 O6 Si2	96-900-9602	0.8342
Diopside	Ca Mg0.78 Ni0.22 O6 Si2	96-900-1307	0.8341
Diopside	Ca0.7 Mg1.3 O6 Si2	96-900-4955	0.8333
Augite	Ca Fe0.25 Mg0.74 O6 Si2	96-900-9665	0.8326
	Na O6 Si2 Ti	96-210-4034	0.8324
Aegirine	Ca0.25 Fe Na0.75 O6 Si2	96-900-5437	0.8322
Aegirine	Ca0.4 Fe Na0.6 O6 Si2	96-900-5436	0.8321
	Na O6 Si2 Ti	96-210-4033	0.8320
	Na O6 Si2 Ti	96-210-4032	0.8318
Aegirine	Ca0.289 Fe Na0.711 O6 Si2	96-901-0089	0.8312
Diopside	Al0.32 Ca0.8 Mg1.03 O6 Si1.85	96-900-5185	0.8311
Diopside	Al0.2 Ca0.691 Cr0.001 Fe0.202 Mg0.812 Mn0.006 Na0.159 O6 Si1.918 Ti0.011	96-900-5006	0.8307
Diopside	Ca0.5 Cr0.5 Mg0.5 Na0.5 O6 Si2	96-900-5706	0.8305
and 154 others...			



Settings

Reference database used	COD-Inorg	
REV1734452016.01.04 Automatic zeropoint adaptation	Yes	
Minimum figure-of-merit (FoM)	0.60	
2theta window for peak corr.	0.30 deg. Minimum rel. int. for peak corr.	1
Parameter/influence 2theta	0.50	
Parameter/influence intensities	0.50	
Parameter multiple/single phase(s)	0.50	

Peak List

No.	2theta [°]	d [Å]	I/I0	FWHM	Matched
1	11.00	8.0381	209.47	0.2020	
2	11.20	7.8920	199.51	0.2020	
3	11.50	7.6872	177.87	0.2020	
4	11.80	7.4936	133.98	0.2020	
5	12.01	7.3611	140.94	0.2020	
6	12.22	7.2373	122.21	0.2020	
7	12.43	7.1173	102.82	0.2020	
8	12.93	6.8419	56.75	0.2020	
9	13.48	6.5628	76.89	0.2020	
10	13.79	6.4154	92.79	0.2020	
11	13.93	6.3519	97.05	0.2020	
12	14.19	6.2386	86.93	0.2020	
13	14.86	5.9576	67.44	0.2020	
14	18.52	4.7862	117.26	0.2020	
15	20.12	4.4108	79.71	0.2020	
16	23.00	3.8640	62.52	0.2020	
17	23.77	3.7405	73.76	0.2020	
18	24.25	3.6676	72.78	0.2020	
19	24.50	3.6302	62.72	0.2020	
20	24.66	3.6072	62.14	0.2020	
21	25.32	3.5151	66.01	0.2020	
22	25.47	3.4942	94.79	0.2020	
23	25.82	3.4479	83.08	0.2020	
24	25.94	3.4317	107.90	0.2020	
25	26.06	3.4170	110.42	0.2020	
26	26.30	3.3858	80.07	0.2020	
27	26.72	3.3338	101.23	0.2020	
28	26.84	3.3191	107.59	0.2020	
29	27.19	3.2770	93.62	0.2020	
30	27.49	3.2421	84.08	0.2020	
31	27.81	3.2051	678.58	0.2020	
32	28.23	3.1588	157.53	0.2020	
33	28.58	3.1204	68.26	0.2020	
34	28.71	3.1067	62.93	0.2020	
35	29.28	3.0478	59.00	0.2020	
36	29.50	3.0258	64.39	0.2020	
37	29.98	2.9780	1000.00	0.2020	
38	30.46	2.9326	564.58	0.2020	
39	30.92	2.8894	190.96	0.2020	
40	32.44	2.7575	86.20	0.2020	
41	33.36	2.6835	78.33	0.2020	
42	35.20	2.5479	339.34	0.2020	
43	35.79	2.5072	627.82	0.2020	
44	36.58	2.4542	73.17	0.2020	
45	37.22	2.4135	68.49	0.2020	
46	39.30	2.2909	147.46	0.2020	
47	39.75	2.2657	129.52	0.2020	
48	40.12	2.2458	123.38	0.2020	
49	40.71	2.2143	104.74	0.2020	
50	40.97	2.2010	125.98	0.2020	
51	41.85	2.1569	158.36	0.2020	
52	42.08	2.1455	216.67	0.2020	
53	42.55	2.1229	350.34	0.2020	
54	43.12	2.0963	140.51	0.2020	
55	43.34	2.0859	111.32	0.2020	A
56	44.61	2.0294	195.02	0.2020	
57	44.74	2.0242	215.60	0.2020	
58	45.21	2.0041	192.31	0.2020	
59	45.68	1.9844	60.21	0.2020	
60	46.17	1.9644	105.40	0.2020	
61	46.73	1.9422	60.22	0.2020	
62	49.84	1.8281	126.27	0.2020	
63	52.49	1.7420	174.16	0.2020	
64	53.13	1.7223	56.24	0.2020	
65	53.58	1.7091	59.62	0.2020	
66	54.21	1.6906	61.62	0.2020	
67	54.70	1.6768	70.07	0.2020	



68	54.98	1.6687	130.65	0.2020
69	56.35	1.6313	75.94	0.2020
70	56.74	1.6211	213.29	0.2020
71	57.26	1.6077	248.11	0.2020
72	58.32	1.5810	59.67	0.2020
73	59.28	1.5576	56.75	0.2020
74	59.98	1.5410	101.27	0.2020
75	60.37	1.5321	78.90	0.2020
76	60.91	1.5197	95.03	0.2020
77	61.50	1.5066	100.47	0.2020
78	61.92	1.4973	65.06	0.2020
79	62.32	1.4888	133.92	0.2020
80	62.82	1.4781	309.16	0.2020
81	63.37	1.4664	107.02	0.2020
82	63.90	1.4556	118.73	0.2020
83	64.39	1.4458	88.10	0.2020
84	64.84	1.4368	92.94	0.2020
85	65.31	1.4276	72.28	0.2020
86	65.49	1.4241	63.07	0.2020
87	65.86	1.4170	314.53	0.2020
88	66.36	1.4074	124.10	0.2020
89	67.13	1.3932	78.22	0.2020

A

Rietveld Refinement using FullProf

Calculation was not run or did not converge.

Integrated Profile Areas

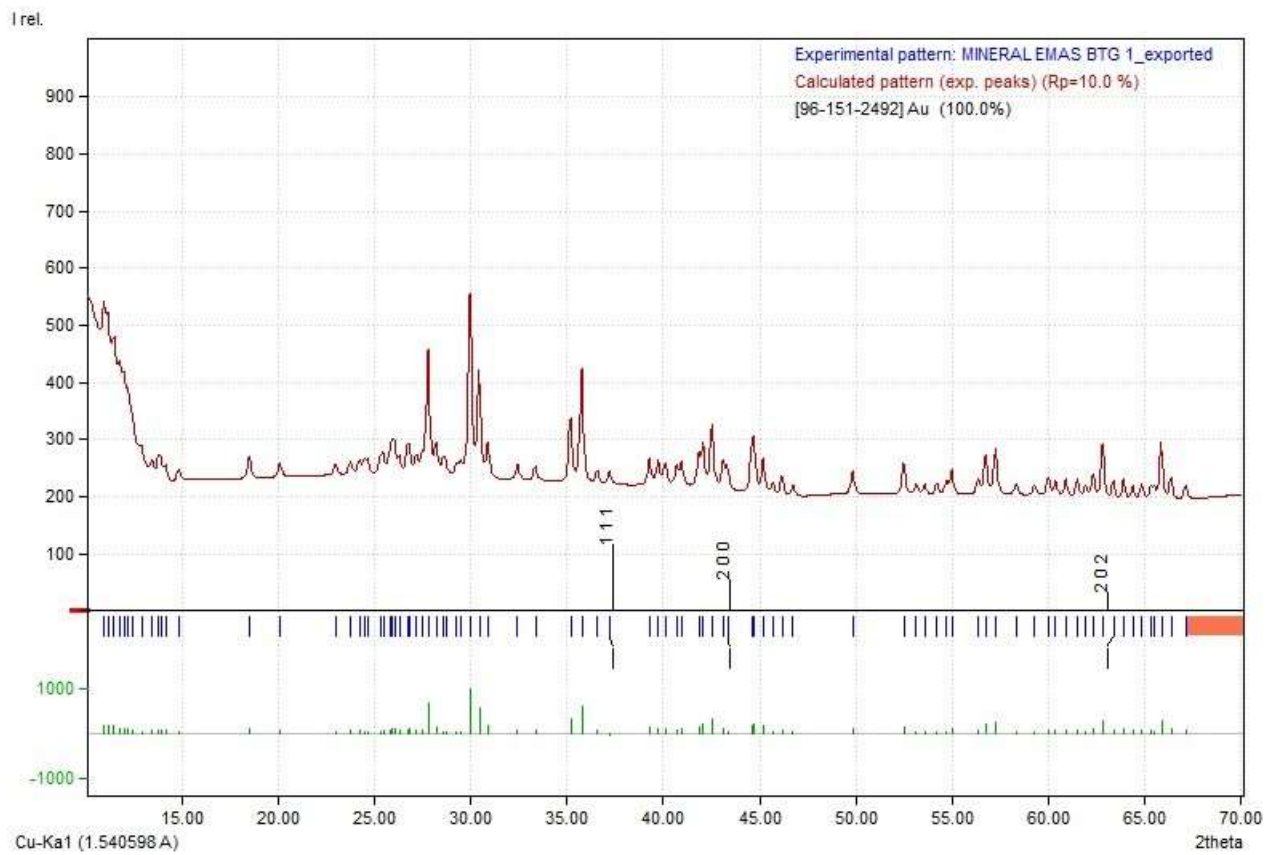
Based on calculated profile

<i>Profile area</i>	<i>Counts</i>	<i>Amount</i>
Overall diffraction profile	8669	100.00%
Background radiation	7763	89.55%
Diffraction peaks	906	10.45%
Peak area belonging to selected phases	10	0.12%
<i>Peak area of phase A (Au)</i>	10	0.12%
Unidentified peak area	920	10.62%

Peak Residuals

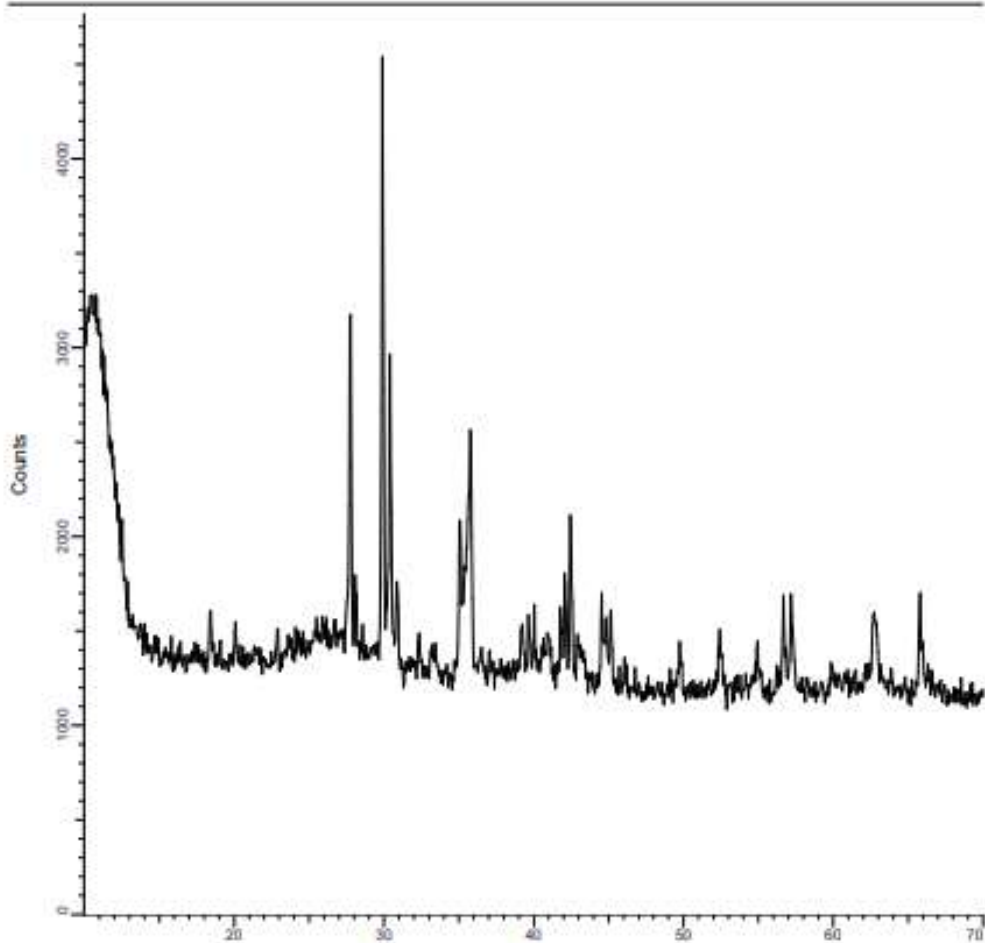
<i>Peak data</i>	<i>Counts</i>	<i>Amount</i>
Overall peak intensity	32	100.00%
Peak intensity belonging to selected phases	0	1.23%
Unidentified peak intensity	31	98.77%

Diffraction Pattern Graphics



ALAUDDIN
MAKASSAR

Coupled TwoTheta/Theta 09:08:07 SSD160 (ID mode): PSD counter



Experiment

User ID	375		
Instrument	D2-212186		
Time	2/28/2020 9:22:50 AM		
Sample ID	Commander Sample ID		
Raw File ID	346		
Scan type	Coupled TwoTheta/Theta		
Scan mode	PsiFastScan		
2Theta	Start: 10.002269918 [°]	Increment: 0.050511538575 [°]	Stop: 70.012269918 [°]
Theta	Start: 5.001134959 [°]	Increment: 0.0252557692875 [°]	Stop: 35.006134959 [°]

Sampel Titik 2: MINERAL EMAS BTG 2_exported

Sample Data

File name	MINERAL EMAS BTG 2_exported.xy
File path	E:/PNUP/XRD
Data collected	Mar 4, 2020 22:29:21
Data range	10.062° - 70.068°
Number of points	1189
Step size	0.051
Rietveld refinement converged	No
Alpha2 subtracted	Yes
Background subtr.	No
Data smoothed	No
2theta correction	0.06°
Radiation	X-rays
Wavelength	1.540598 Å

Matched Phases

Index	Amount (%)	Name	Formula sum
A	100.0	Au Er	Au Er
	13.1	Unidentified peak area	

A: Au Er (100.0 %)

Formula sum	Au Er
Entry number	96-151-0126
Figure-of-Merit (FoM)	0.709885
Total number of peaks	11
Peaks in range	6
Peaks matched	4
Intensity scale factor	0.71
Space group	P m -3 m
Crystal system	cubic
Unit cell	a= 3.5270 Å
l/cor	41.78
Calc. density	13.785 g/cm ³
Reference	Luo H.L., Duwez P., Chao C.C., "Cs Cl-type compounds in binary alloys of rare earth metals with gold and silver", Journal of Applied Physics 34 , 1971-1973 (1963)

Candidates

Name	Formula	Entry No.	FoM
Augite	Ca Fe _{0.25} Mg _{0.74} O ₆ Si ₂	96-900-9665	0.8049
Diopside	Ca Mg O ₆ Si ₂	96-100-0009	0.7916
Diopside	Ca Mg O ₆ Si ₂	96-100-0008	0.7895
Goldfieldite	As _{0.1} Cu _{2.875} S _{2.79} Sb _{0.225} Se _{0.21} Te _{0.675}	96-901-1757	0.7702
Goldfieldite	As _{0.5} Cu _{10.998} S _{11.98} Sb _{0.72} Te _{2.5}	96-901-1753	0.7674
Goldfieldite	As _{0.5} Bi _{0.2} Cu _{10.302} S _{11.85} Sb _{0.7} Se _{0.6} Te _{2.6}	96-901-1756	0.7600
Goldfieldite	As _{0.3} Bi _{0.1} Cu _{10.2} S _{11.53} Sb _{0.8} Se _{0.72} Te _{2.8}	96-901-1754	0.7552
Goldfieldite	As _{0.2} Bi _{0.1} Cu _{10.002} S _{11.7} Sb _{0.9} Se _{0.6} Te _{2.8}	96-901-1755	0.7550
Tricopper(I) antimony sulfide	Cu ₃ S ₃ Sb	96-101-0509	0.7442
Diopside	Ca Mg O ₆ Si ₂	96-100-0011	0.7319
Erbium copper(I) sulfide (.9/1.3/2)	Cu _{1.3333} Er _{0.8889} S ₂	96-100-8189	0.7296
(Au ₁₅ Mn Te ₃₄) _{0.02}	Au _{0.3} Mn _{0.02} Te _{0.68}	96-151-0107	0.7286
Aegirine-augite	Ca _{0.774} Fe _{0.11} Mg _{0.901} Na _{0.226} O ₆ Si ₂	96-900-1616	0.7267
Diopside-subsilicic	Ca Fe _{0.597} Mg _{0.733} O ₆ Si _{1.67}	96-900-5340	0.7248
Potassium sulfate - high-temperature phase	K ₂ O ₄ S	96-100-0050	0.7245
Silver bismuth sulfide (3.5/7.5/13)	Ag _{3.5} Bi _{7.5} S ₁₃	96-201-4927	0.7242
Kuannersuite-(Ce)	Ba _{5.886} Ce _{1.18} Cl _{0.59} F _{2.41} La _{0.3} Na ₂ Nd _{0.52} O ₂₄ P ₆	96-900-4835	0.7228
Tetrabarium dioxoargentate tetraoxoaurate (Au Fe ₉) _{0.4}	Ag Au Ba ₄ O ₆	96-200-2592	0.7201
Magnesium thiosulfate hexahydrate	Au _{0.352} Fe _{3.648}	96-151-0154	0.7185
Magnesium thiosulfate hexahydrate	H ₁₂ Mg O ₉ S ₂	96-110-0075	0.7171
Magnesium thiosulfate hexahydrate	H ₁₂ Mg O ₉ S ₂	96-110-0073	0.7129
Magnesium thiosulfate hexahydrate	H ₁₂ Mg O ₉ S ₂	96-110-0078	0.7120
Sodium calcium magnesium iron titanium alumosilicate * (Augite)	Al _{0.34} Ca _{0.6} Fe _{0.2} Mg _{0.9} Na _{0.1} O ₆ Si _{1.82}	96-100-0036	0.7069
Au Ti	Au Ti	96-151-0313	0.7062
Cesium disulfate	Cs ₂ O ₇ S ₂	96-210-4418	0.7043
Silver copper bismuth sulfide (0.6/0.5/6/9)	Ag _{0.6} Bi ₆ Cu _{0.48} S ₉	96-150-9003	0.7042
Rubidium yttrium sulfide	Rb S ₂ Y	96-210-5805	0.7040
Au (Cd _{0.5} Zn _{0.5})	Au Cd _{0.5} Zn _{0.5}	96-151-0072	0.7018
Aegirine-augite	Al _{0.03} Ca _{0.34} Fe _{0.52} Mg _{0.36} Mn _{0.09} Na _{0.66} O ₆ Si _{1.99} Ti _{0.01}	96-900-5844	0.7016

Magnesium thiosulfate hexahydrate	H12 Mg O9 S2	96-110-0074	0.7011
lithium titanium disulfide (lithium deficient)	Li0.7 S2 Ti	96-151-9663	0.7006
Copper iron sulfide (Chalcopyrite)	Cu Fe S2	96-101-0941	0.7002
lithium titanium disulfide (lithium deficient)	Li0.7 S2 Ti	96-151-9665	0.6999
Iron nickel sulfide	Fe Ni S2	96-101-0433	0.6992

Sulfur	S8	96-101-1161	0.6957
Susannite	C2 O12 Pb4 S	96-900-3816	0.6957
Sulfur	S	96-901-4170	0.6957
Hg (Au F4)2	Au2 F8 Hg	96-151-0402	0.6956
Magnesium thiosulfate hexahydrate	H12 Mg O9 S2	96-110-0071	0.6947
Dicesium sulfate-selenate tellurate	Cs2 H6 O10 S0.57 Se0.43 Te	96-220-7377	0.6942
Au Sm	Au Sm	96-151-0301	0.6933
Al Au	Al Au	96-152-3319	0.6928
(Au5 Fe Te11)0.06	Au0.281 Fe0.06 Te0.659	96-151-0094	0.6916
Europium(II) sulfide	Eu S	96-101-0395	0.6912
Europium(II) sulfide	Eu S	96-101-0445	0.6912
Au2 S	Au2 S	96-151-0462	0.6906
ammonium cerium(III) bis(sulfate) tetrahydrate	Ce H12 N O12 S2	96-221-3986	0.6901
Cd (Au F4)2	Au2 Cd F8	96-151-0374	0.6898
Sc Au Si	Au Sc Si	96-151-0293	0.6897
Sulfur	S8	96-901-1363	0.6896
Sulfur	S8	96-901-1364	0.6894
Caesium δ -mue-peroxo-bis(trioxosulfate) and 155 others...	Cs2 O8 S2	96-101-0249	0.6889

Search-Match

Settings

Reference database used	COD-Inorg REV173445 2016.01.04
Automatic zeropoint adaptation	Yes
Minimum figure-of-merit (FoM)	0.60
2theta window for peak corr.	0.30 deg.
Minimum rel. int. for peak corr.	1
Parameter/influence 2theta	0.50
Parameter/influence intensities	0.50
Parameter multiple/single phase(s)	0.50

Criteria for entries added by user

Reference:

Entry number:

96-100-0036;96-100-1510;96-100-8466;96-100-8879;96-100-8881;96-101-0145;96-101-0146;96-101-0202;96-101-0203;96-101-0208;96-101-0931;96-101-1018;96-101-1084;96-101-1142;96-101-1238;96-101-1245;96-101-1263;96-101-1283;96-110-0133;96-120-0007;96-150-7215;96-150-9121;96-150-9206;96-150-9208;96-150-9209;96-150-9210;96-150-9593;96-150-9603;96-150-9607;96-150-9608;96-150-9609;96-150-9613;96-150-9885;96-150-9891;96-151-0055;96-151-0056;96-151-0057;96-151-0058;96-151-0059;96-151-0060;96-151-0061;96-151-0062;96-151-0063;96-151-0064;96-151-0065;96-151-0066;96-151-0067;96-151-0068;96-151-0069;96-151-0070;96-151-0071;96-151-0072;96-151-0073;96-151-0074;96-151-0075;96-151-0076;96-151-0077;96-151-0078;96-151-0079;96-151-0080;96-151-0081;96-151-0082;96-151-0083;96-151-0084;96-151-0085;96-151-0086;96-151-0087;96-151-0088;96-151-0089;96-151-0090;96-151-0091;96-151-0092;96-151-0093;96-151-0094;96-151-0095;96-151-0096;96-151-0097;96-151-0098;96-151-0099;96-151-0100;96-151-0101;96-151-0102;96-151-0103;96-151-0104;96-151-0105;96-151-0106;96-151-0107;96-151-0108;96-151-0109;96-151-0110;96-151-0111;96-151-0112;96-151-0113;96-151-0114;96-151-0115;96-151-0116;96-151-0117;96-151-0118;96-151-0119;96-151-0120;96-151-0121;96-151-0122;96-151-0123;96-151-0124;96-151-0125;96-151-0126;96-151-0127;96-151-0128;96-151-0129;96-151-0130;96-151-0131;96-151-0132;96-151-0133;96-151-0134;96-151-0135;96-151-0136;96-151-0137;96-151-0138;96-151-0139;96-151-0140;96-151-0141;96-151-0142;96-151-0143;96-151-0144;96-151-0145;96-151-0146;96-151-0147;96-151-0148;96-151-0149;96-151-0150;96-151-0151;96-151-0152;96-151-0153;96-151-0154;96-151-0155;96-151-0156;96-151-0157;96-151-0158;96-151-0159;96-151-0160;96-151-0161;96-151-0162;96-151-0163;96-151-0164;96-151-0165;96-151-0166;96-151-0167;96-151-0168;96-151-0169;96-151-0170;96-151-0171;96-151-0172;96-151-0173;96-151-0174;96-151-0175;96-151-0176;96-151-0177;96-151-0178;96-151-0179;96-151-0180;96-151-0181;96-151-0182;96-151-0183;96-151-0184;96-151-0185;96-151-0186;96-151-0187;96-151-0188;96-151-0189;96-151-0190;96-151-0191;96-151-0192;96-151-0193;96-151-0194;96-151-0195;96-151-0196;96-151-0197;96-151-0198;96-151-0199;96-151-0200;96-151-0201;96-151-0202;96-151-0203;96-151-0204;96-151-0205;96-151-0206;96-151-0207;96-151-0208;96-151-0209;96-151-0210;96-151-0211;96-151-0212;96-151-0213;96-151-0214;96-151-0215;96-151-0216;96-151-0217;96-151-0218;96-151-0219;96-151-0220;96-151-0221;96-151-0222;96-151-0223;96-151-0224;96-151-0225;96-151-0226;96-151-0227;96-151-0228;96-151-0229;96-151-0230;96-151-0231;96-151-0232;96-151-0233;96-151-0234;96-151-0235;96-151-0236;96-151-0237;96-151-0238;96-151-0239;96-151-0240;96-151-0241;96-151-0242;96-151-0243;96-151-0244;96-151-0245;96-151-0246;96-151-0247;96-151-0248;96-151-0249;96-151-0250;96-151-0251;96-151-0252;96-151-0253;96-151-0254;96-151-0255;96-151-0256;96-151-0257;96-151-

100-8815;96-100-8819;96-101-0073;96-101-0323;96-101-0324;96-101-1092;96-110-0139;96-150-9066;96-150-9078;96-150-9125;96-200-2547;96-200-7888;96-201-8284;96-201-8285;96-201-9456;96-201-9457;96-201-9619;96-231-0020;96-400-0518;96-400-0519;96-430-3705;96-434-1400;96-720-9295;96-810-3052;96-900-0239;96-900-0256;96-900-3058;96-900-4845;96-900-8464;96-900-9452;96-900-9609;96-901-0370;96-901-1613;96-901-1614;96-901-1753;96-901-1754;96-901-1755;96-901-1756;96-901-1757;96-901-2431;96-901-2954;96-901-3036;96-901-3037;96-901-3038;96-901-3039;96-901-3040;96-901-3041;96-901-3042;96-901-3043;96-901-3044;96-901-3045;96-901-4444;96-901-4488;96-901-5151;96-100-0028;96-100-0038;96-100-0050;96-100-0192;96-100-0193;96-100-0227;96-100-0230;96-100-0281;96-100-0461;96-100-1287;96-100-1288;96-100-1327;96-100-1669;96-100-1776;96-100-1785;96-100-1852;96-100-4040;96-100-4042;96-100-4043;96-100-4046;96-100-4054;96-100-4055;96-100-4059;96-100-4127;96-100-5013;96-100-5016;96-100-5017;96-100-5027;96-100-5030;96-100-5031;96-100-5035;96-100-5056;96-100-5057;96-100-7053;96-100-7065;96-100-7072;96-100-7142;96-100-7148;96-100-7185;96-100-8024;96-100-8027;96-100-8063;96-100-8079;96-100-8080;96-100-8123;96-100-8185;96-100-8188;96-100-8189;96-100-8191;96-100-8243;96-100-8249;96-100-8277;96-100-8278;96-100-8303;96-100-8317;96-100-8318;96-100-8319;96-100-8320;96-100-8339;96-100-8340;96-100-8341;96-100-8342;96-100-8343;96-100-8351;96-100-8366;96-100-8375;96-100-8376;96-100-8377;96-100-8378;96-100-8607;96-100-8694;96-100-8696;96-100-8759;96-100-8783;96-100-8784;96-100-8785;96-100-8818;96-100-8915;96-100-8935;96-100-8967;96-100-8968;96-100-8969;96-100-8970;96-100-8971;96-100-8972;96-100-9044;96-100-9076;96-101-0026;96-101-0107;96-101-0245;96-101-0247;96-101-0248;96-101-0249;96-101-0250;96-101-0251;96-101-0252;96-101-0253;96-101-0270;96-101-0273;96-101-0276;96-101-0304;96-101-0317;96-101-0319;96-101-0395;96-101-0410;96-101-0430;96-101-0433;96-101-0434;96-101-0435;96-101-0436;96-101-0445;96-101-0468;96-101-0480;96-101-0509;96-101-0521;96-101-0523;96-101-0524;96-101-0525;96-101-0528;96-101-0535;96-101-0543;96-101-0544;96-101-0580;96-101-0615;96-101-0629;96-101-0650;96-101-0657;96-101-0782;96-101-0875;96-101-0893;96-101-0904;96-101-0905;96-101-0906;96-101-0907;96-101-0914;96-101-0919;96-101-0921;96-101-0930;96-101-0941;96-101-0947;96-101-0951;96-101-0956;96-101-0982;96-101-0994;96-101-0999;96-101-1006;96-101-1014;96-101-1020;96-101-1038;96-101-1039;96-101-1042;96-101-1043;96-101-1055;96-101-1056;96-101-1057;96-101-1057;96-210-4143;96-210-4417;96-210-4418;96-210-4952;96-210-4953;96-210-5337;96-210-5799;96-210-5800;96-210-5801;96-210-5802;96-210-5803;96-210-5804;96-210-5805;96-210-5806;96-210-5957;96-210-5958;96-210-5959;96-210-6022;96-210-6778;96-220-0376;96-220-0783;96-220-1248;96-220-1257;96-220-1783;96-220-2261;96-220-2288;96-220-2290;96-220-2361;96-220-2736;96-220-3125;96-220-3261;96-220-4097;96-220-4123;96-220-4140;96-220-4243;96-220-4540;96-220-4817;96-220-4979;96-220-5208;96-220-5376;96-220-5611;96-220-5825;96-220-5827;96-220-6095;96-220-6434;96-220-6751;96-220-6811;96-220-7083;96-220-7377;96-220-7683;96-220-8197;96-220-8332;96-220-8367;96-220-8451;96-220-9088;96-220-9682;96-221-0016;96-221-1231;96-221-1387;96-221-2152;96-221-3926;96-221-3986;96-221-4416;96-221-4417;96-221-4420;96-221-4426;96-221-4532;96-221-6156;96-221-6268;96-221-6659;96-221-7034;96-221-7243;96-221-7414;96-221-7497;96-221-7724;96-221-7842;96-221-8609;96-221-8903;96-221-9454;96-222-0019;96-222-0658;96-222-1284;96-222-2394;96-222-2913;96-222-4198;96-222-6714;96-222-8469;96-222-8873;96-222-9151;96-222-9263;96-222-9375;96-222-9830;96-223-0168;96-223-0975;96-223-2988;96-223-3891;96-223-6295;96-223-7277;96-223-7916;96-223-8005;96-223-9017;96-223-9180;96-223-9627;96-223-9824;96-224-0438;96-224-0485;96-224-0772;96-224-1133;96-230-0129;96-230-0130;96-230-0131;96-230-0132;96-230-0259;96-230-0374;96-231-0018;96-400-0513;96-400-0516;96-400-0520;96-400-0521;96-400-0523;96-400-0527;96-400-0743;96-400-0745;96-400-0747;96-400-1094;96-400-1291;96-400-1292;96-400-1293;96-400-1294;96-400-1295;96-400-1296;96-400-1380;96-400-1460;96-400-1461;96-400-1494;96-400-1505;96-400-1658;96-400-1659;96-400-1909;96-400-1910;96-400-1911;96-400-1912;96-400-1913;96-400-1914;96-400-1915;96-400-1916;96-400-1917;96-400-1918;96-400-1919;96-400-1920;96-400-2025;96-400-2129;96-410-8922;96-410-9898;96-411-0688;96-411-1761;96-411-4010;96-411-4011;96-411-4012;96-430-0227;96-430-0228;96-430-2974;96-430-2975;96-430-3022;96-430-3023;96-430-3822;96-430-3823;96-430-3824;96-430-3825;96-430-3826;96-430-7406;96-430-7409;96-430-7636;96-430-9517;96-430-9518;96-431-0079;96-431-0118;96-431-2331;96-431-3263;96-431-3264;96-431-3265;96-431-3266;96-431-3823;96-431-7029;96-431-7030;96-431-7031;96-431-8319;96-432-0865;96-432-1111;96-432-1400;96-432-3783;96-432-3898;96-432-3899;96-432-4112;96-432-4244;96-432-4245;96-432-4292;96-432-4293;96-432-4294;96-432-4295;96-432-4296;96-432-4352;96-432-7467;96-432-7468;96-432-7786;96-432-7787;96-432-7788;96-432-7789;96-432-8811;96-432-8813;96-432-8815;96-432-8816;96-432-9108;96-432-9109;96-432-9110;96-432-9800;96-433-2071;96-433-2072;96-433-2073;96-433-2078;96-433-3329;96-433-3330;96-433-4438;96-433-4439;96-433-4440;96-433-5244;96-433-5245;96-433-6781;96-433-6782;96-433-8119;96-433-8314;96-433-8667;96-433-9904;96-434-0110;96-434-0111;96-434-0112;96-434-0113;96-434-0114;96-434-0115;96-434-0116;96-434-0117;96-434-0118;96-434-0749;96-434-0750;96-434-0751;96-434-0752;96-434-0753;96-434-0754;96-434-0755;96-434-0756;96-434-0757;96-434-0758;96-434-0759;96-434-0760;96-434-0761;96-434-0762;96-434-0763;96-434-0764;96-434-0765;96-434-0766;96-434-0767;96-434-0768;96-434-0769;96-434-0770;96-434-2512;96-434-2513;96-450-9225;96-451-0406;96-500-0038;96-500-0040;96-500-0041;96-500-0043;96-500-0045;96-500-0046;96-500-0088;96-500-0089;96-500-0090;96-500-0092;96-500-0115;96-500-0116;96-591-0003;96-591-0004;96-591-0007;96-591-0011;96-591-0015;96-591-0060;96-591-0086;96-591-0088;96-591-0158;96-591-0206;96-591-0345;96-701-1246;96-701-7103;96-703-1942;96-710-0520;96-710-1264;96-710-1269;96-715-0159;96-715-0160;96-720-4542;96-720-4815;96-720-5036;96-720-5037;96-721-1880;96-721-1881;96-721-1885;96-721-2470;96-721-2471;96-721-8174;96-721-8175;96-810-0414;96-810-0591;96-810-0809;96-810-1138;96-810-1456;96-810-1552;96-810-1553;96-810-1554;96-810-1555;96-810-2888;96-810-2915;96-810-2921;96-810-3014;96-810-3062;96-810-3385;96-810-3386;96-900-0076;96-900-0111;96-900-0143;96-900-0152;96-900-0184;96-900-0236;96-900-0237;96-900-0440;96-900-0441;96-900-0442;96-900-0623;96-900-0624;96-900-0625;96-900-0626;96-900-0679;96-900-0872;96-900-0889;96-900-1023;96-900-1039;96-900-1071;96-900-1088;96-900-1125;96-900-1126;96-900-1127;96-900-1128;96-900-1129;96-900-1130;96-900-1131;96-900-1132;96-900-1133;96-900-1134;96-900-1135;96-900-1446;96-900-5241;96-900-5340;96-900-5341;96-900-5378;96-900-5389;96-900-5390;96-900-5391;96-900-5392;96-900-5457;96-900-5565;96-900-5775;96-900-6324;96-900-6325;96-900-6326;96-900-6647;96-900-7380;96-900-7381;96-900-7453;96-900-7587;96-900-8005;96-900-8049;96-900-8578;96-900-8579;96-900-8908;96-900-9118;96-900-9417;96-900-9453;96-900-9524;96-900-9802;96-900-9850;96-900-9892;96-901-0020;96-901-0025;96-901-0026;96-901-0061;96-901-0297;96-901-0522;96-901-0523;96-901-0589;96-901-0615;96-901-0843;96-901-0847;96-901-1087;96-901-1088;96-901-1089;96-901-1205;96-901-1321;96-901-1363;96-901-1364;96-901-1383;96-901-1641;96-901-1769;96-901-1790;96-901-1859;96-901-2101;96-901-2242;96-901-2312;96-901-2334;96-901-2335;96-901-2362;96-901-2363;96-901-2364;96-901-2658;96-901-2783;96-901-2869;96-901-2894;96-901-3115;96-901-3165;96-901-3166;96-901-3167;96-901-3168;96-901-3169;96-901-3170;96-901-3171;96-901-3172;96-901-3290;96-901-3291;96-901-3292;96-901-3293;96-901-3294;96-901-3295;96-901-3296;96-901-3297;96-901-3298;96-901-3299;96-901-3385;96-901-3391;96-901-3690;96-901-3691;96-901-3692;96-901-3693;96-901-3694;96-901-3695;96-901-3696;96-901-4021;96-901-4170;96-901-4246;96-901-4402;96-901-4418;96-901-4559;96-901-4802;96-901-4828;96-901-4837;96-901-4891;96-901-5125;96-901-5351;96-901-5386;96-901-5508;96-901-5597;96-901-6020;96-901-6070;96-901-6633

Peak List

No.	2theta [°]	d [Å]	I/I0	FWHM Matched
1	10.75	8.2221	56.15	0.1010
2	11.10	7.9645	61.03	0.1010
3	11.23	7.8745	55.07	0.1010
4	11.39	7.7603	50.24	0.1010
5	13.93	6.3543	43.01	0.1010
6	14.30	6.1885	32.06	0.1010
7	14.42	6.1383	32.38	0.1010
8	19.15	4.6308	35.79	0.1010
9	20.14	4.4065	39.71	0.1010
10	21.54	4.1214	31.37	0.1010
11	21.72	4.0879	39.55	0.1010
12	22.21	4.0002	112.28	0.1010
13	23.07	3.8516	79.93	0.1010
14	23.94	3.7145	53.35	0.1010
15	24.19	3.6757	38.69	0.1010
16	24.37	3.6498	40.66	0.1010
17	24.54	3.6250	31.26	0.1010
18	24.86	3.5783	35.07	0.1010
19	24.98	3.5622	35.38	0.1010
20	25.66	3.4695	49.16	0.1010
21	26.07	3.4155	38.74	0.1010
22	26.43	3.3693	37.03	0.1010
23	26.81	3.3231	59.87	0.1010
24	27.54	3.2363	77.89	0.1010
25	27.85	3.2005	287.73	0.1010
26	29.96	2.9798	574.51	0.1010
27	30.04	2.9720	1000.00	0.1010
28	31.03	2.8797	219.81	0.1010
29	35.24	2.5450	228.48	0.1010
30	35.89	2.5002	718.36	0.1010
31	39.36	2.2875	82.64	0.1010
32	39.79	2.2633	46.16	0.1010
33	41.03	2.1981	50.88	0.1010
34	42.19	2.1400	77.00	0.1010
35	42.63	2.1194	216.54	0.1010
36	43.11	2.0968	61.23	0.1010
37	43.41	2.0828	38.10	0.1010
38	44.71	2.0254	122.38	0.1010
39	45.02	2.0119	41.94	0.1010
40	45.20	2.0043	37.58	0.1010
41	46.22	1.9627	62.90	0.1010
42	46.85	1.9375	36.38	0.1010
43	47.17	1.9251	32.01	0.1010
44	49.30	1.8471	35.99	0.1010
45	49.55	1.8383	36.65	0.1010
46	49.94	1.8246	87.11	0.1010
47	50.49	1.8063	42.10	0.1010
48	50.96	1.7906	41.65	0.1010
49	51.29	1.7799	35.23	0.1010
50	51.49	1.7733	34.96	0.1010
51	51.73	1.7657	47.93	0.1010
52	52.25	1.7495	35.06	0.1010
53	52.51	1.7414	93.28	0.1010
54	53.30	1.7174	44.16	0.1010
55	53.62	1.7077	47.59	0.1010
56	55.11	1.6652	95.76	0.1010
57	56.49	1.6277	64.40	0.1010
58	56.85	1.6182	176.90	0.1010
59	57.26	1.6075	86.10	0.1010
60	59.37	1.5554	73.84	0.1010
61	59.97	1.5413	48.53	0.1010
62	60.48	1.5295	41.51	0.1010
63	60.91	1.5198	57.25	0.1010
64	61.53	1.5059	42.44	0.1010
65	61.67	1.5029	34.50	0.1010
66	62.85	1.4773	191.09	0.1010
67	64.06	1.4525	42.07	0.1010
68	65.88	1.4167	98.98	0.1010
69	66.44	1.4061	66.56	0.1010
70	68.20	1.3739	38.67	0.1010
71	69.74	1.3474	34.99	0.1010

A



UNIVERSITAS ISLAM NEGERI

ALAUDDIN

MAKASSAR

Rietveld Refinement using
FullProf

Calculation was not run or did not converge.

Integrated Profile Areas

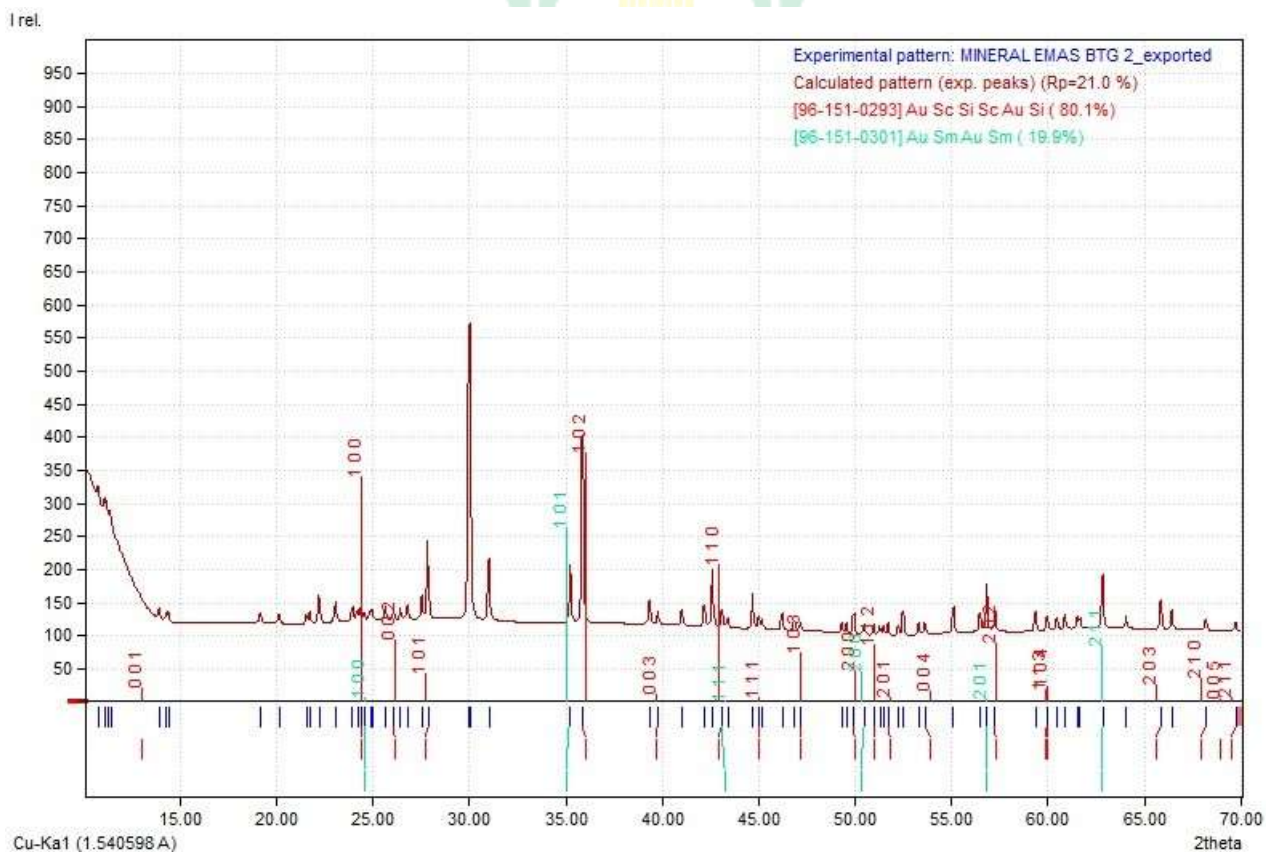
Based on calculated profile

	Counts	Amount
Profile area		
Overall diffraction profile	7501	100.00%
Background radiation	6510	86.79%
Diffraction peaks	991	13.21%
Peak area belonging to selected phases	54	0.71%
Peak area of phase A (Au Er)	54	0.71%
Unidentified peak area	984	13.12%

Peak Residuals

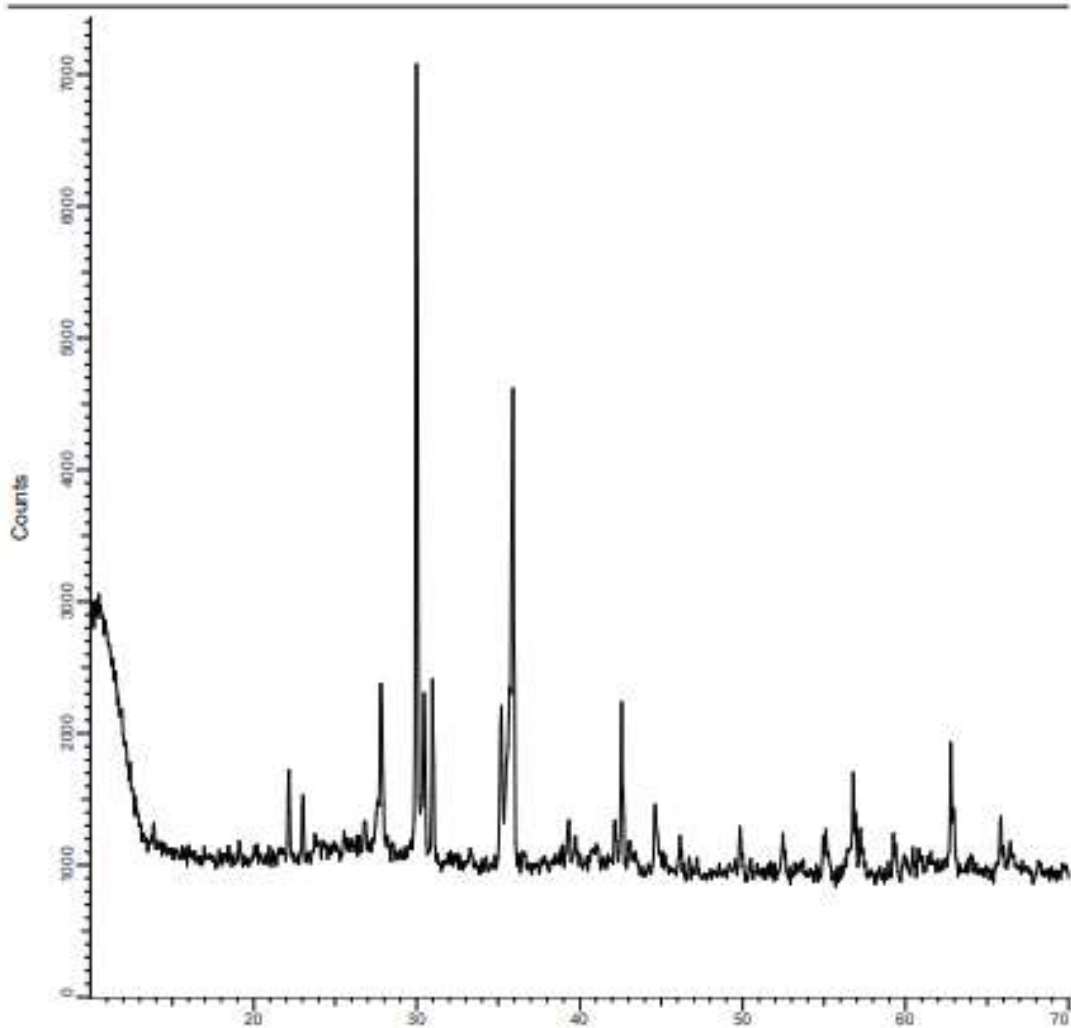
	Counts	Amount
Peak data		
Overall peak intensity	18	100.00%
Peak intensity belonging to selected phases	2	11.09%
Unidentified peak intensity	16	88.91%

Diffraction Pattern Graphics



Match! Copyright © 2003-2016 CRYSTAL IMPAC T, Bonn, Germany

Coupled TwoTheta/Theta 09:26:20 SSD160 (ID mode): PSD counter



Experiment

User ID 375
Instrument 02-212186
Time 2/28/2020 9:50:30 AM
Sample ID Commander Sample ID
Raw File ID 347
Scan type Coupled TwoTheta/Theta
Scan mode FedFastScan
2Theta start: 10.002269918 [°] Increment: 0.050511538575 [°] Stop:
70.010000018 [°]

Sampel 3 : MINERAL EMAS BTG 3_exported

Sample Data

File name	MINERAL EMAS BTG 3_exported.xy	
File path	E:/PNUP/XRD	
Data collected	Mar 4, 2020 22:29:21	
Data range	9.812° - 69.818°	
Number of points	1189	
Step size	0.051	
Rietveld refinement converged	No Alpha2 subtracted	Yes
Background subtr.	No	
Data smoothed	No	
2theta correction	-0.19°	
Radiation	X-rays	
Wavelength	1.540598 Å	

Matched Phases

Index	Amount (%)	Name	Formula sum
A	100.0	Gold	Au
	13.6	Unidentified peak area	

A: Gold (100.0 %)

Formula sum	Au
Entry number	96-900-8464
Figure-of-Merit (FoM)	0.673012
Total number of peaks	10
Peaks in range	3
Peaks matched	2
Intensity scale factor	0.14
Space group	F m -3 m
Crystal system	cubic
Unit cell	a= 4.0782 Å
V/Cor	32.81
Calc. density	19.288 g/cm ³
Reference	Wyckoff R. W. G., "Second edition. Interscience Publishers, New York, New York Cubic closest packed, ccp, structure",
Crystal Structures	1, 7-83 (1963)



Candidates

Name	Formula	Entry No.	FoM
Cs23 (Sn4) (Sn O3)4 O2.15	Cs23 O14.15 Sn8	96-153-7107	0.8637
Porphyrazinealuminiumchloride	C16 Al Cl N16 S4	96-430-9965	0.8413
Diopside	B0.044 Ca0.784 Mg0.85 Na0.19 O6 Si1.892 Ti0.254	96-900-5681	0.8392
Barium indium nitride	Ba19 In9 N9	96-220-4402	0.8347
Manitobaite	Al6.56 Ca2.44 Fe12 Mg0.44 Mn12.2 Na15.13 O120 P30	96-901-5040	0.8339
Sr Te O3	O3 Sr Te	96-152-8442	0.8337
Cu15 (B2 O5)2 (B O3)6 O2	B10 Cu15 O30	96-210-5419	0.8335
Diopside	B0.024 Ca0.836 Mg0.892 Na0.14 O6 Si1.888 Ti0.206	96-900-5682	0.8331
Diopside	B0.024 Ca0.844 Mg0.922 Na0.128 O6 Si1.888 Ti0.188	96-900-5683	0.8331
Diopside-ferrian	Ca Fe0.445 Mg0.805 O6 Si1.75	96-900-5339	0.8319
Diopside	Al0.209 Ca0.896 K0.072 Mg0.887 O6 Si1.936	96-900-5561	0.8313
Diopside	Ca0.87 Mg0.94 Mn0.19 O6 Si2	96-900-0792	0.8308
Na2 Ca2 (Si2 O7)	Ca2 Na2 O7 Si2	96-810-3754	0.8307
Augite	Ca Fe0.25 Mg0.74 O6 Si2	96-900-9665	0.8307
	Cl3 O23 Pr5 Te7 W	96-433-9948	0.8303
P2 B4 Cl4	B4 Cl4 P2	96-151-1648	0.8298
Tetrazink bis(arsenate(V)) oxide - HT	As2 O9 Zn4	96-200-2750	0.8289
Cu H2 (U O2 (Si O4))2 (H2 O)5	Cu H12 O17 Si2 U2	96-152-7935	0.8287
Sr2 (B N2) I	B I N2 Sr2	96-151-1187	0.8268
Diopside	B0.022 Ca0.82 Mg0.846 Na0.168 O6 Si1.882 Ti0.272	96-900-5679	0.8266
	Ba7 Se11.9 Sn3 Te1.1	96-400-0616	0.8256
Diopside	B0.028 Ca0.872 Mg0.906 Na0.118 O6 Si1.94 Ti0.138	96-900-5680	0.8255
(Cu Ni Pd).333	Cu0.333 Ni0.333 Pd0.333	96-152-5142	0.8248
	Ag6 O20 Te4 W3	96-700-1699	0.8248
(Mg28.25 Sc3.81 Co4.36) (Li1.4 Si.49) Si36 O112 Co4.36 Li1.4 Mg28.25 O112 Sc3.81 Si36.49		96-210-7337	0.8244

Augite	Al Ca0.61 Fe0.13 K0.17 Mg0.43 Mn0.01 Na0.05 O6 Si1.61	96-900-2902	0.8241
Tricaesium cyclo-triphosphate telluric acid hydrate	Cs3 H8 O16 P3 Te	96-100-8369	0.8239
(Mn0.96 Mg1.04) (Si2 O6)	Mg1.04 Mn0.96 O6 Si2	96-152-4436	0.8239
Stenuggarite	As2 Ca Fe O7 Sb	96-900-7622	0.8235
Diopside	Al0.6 Ca Mg0.7 O6 Si1.7	96-900-5280	0.8228
Diopside	Al0.078 Ca Fe0.016 Mg0.984 O6 Si1.922	96-900-4314	0.8227
	C8 Cl4 N2	96-411-2655	0.8226
Sr10 Ga6 O19	Ga6 O19 Sr10	96-153-1560	0.8225
Rb In (H P O4)2	H2 In O8 P2 Rb	96-153-3167	0.8219
	Ba2 Se4 Sn	96-703-6958	0.8215
(Mg0.38 Mn0.62) (Si O3)	Mg0.38 Mn0.62 O3 Si	96-152-9937	0.8212
Ba4 (Ga2 O7)	Ba4 Ga2 O7	96-153-1566	0.8212
Diopside	Al0.029 Ca0.798 Cr0.071 Fe0.059 K0.073 Mg0.955 Na0.023 O6 Si1.99296-900-1741	96-900-1741	0.8208
Diopside-ferrian	Ca Fe0.267 Mg0.857 O6 Si1.876	96-900-5338	0.8206
Cu2 Sc2 (Ge4 O13)	Cu2 Ge4 O13 Sc2	96-153-3048	0.8202
Barium cyclo-hexaphosphate octahydrate	Ba3 H16 O26 P6	96-100-7200	0.8199
	Ba3 O26 P6	96-901-5496	0.8199
Diopside	Ca0.89 Mg1.11 O6 Si2	96-900-4210	0.8189
Diopside	Ca Mg O6 Si2	96-900-1308	0.8188
Diopside	B0.018 Ca0.916 Mg0.926 Na0.066 O6 Si1.96 Ti0.086	96-900-5678	0.8188
Na Fe4 Fe3 (P O4)6	Fe7 Na O24 P6	96-153-4249	0.8176
Diopside	Al0.078 Ca Fe0.03 Mg0.97 O6 Si1.922	96-900-4315	0.8170
strontium tellurate(VI)	O3 Sr Te	96-221-8901	0.8167
Diopside	Ca Fe0.205 Mg0.895 O6 Si1.9	96-900-5336	0.8165
Diopside	Al0.068 Ca Fe0.008 Mg0.992 O6 Si1.932	96-900-4312	0.8164
Diopside	Al0.078 Ca Fe0.052 Mg0.948 O6 Si1.922	96-900-4317	0.8159
Diopside	Ca Mg O6 Si2	96-900-5334	0.8157
and 154 others...			



Search-Match

Settings

Reference database used	COD-Inorg	
REV173445 2016.01.04 Automatic zeropoint adaptation	Yes	
Minimum figure-of-merit (FoM)	0.60	
2theta window for peak corr.	0.30 deg. Minimum rel. int. for peak corr.	1
Parameter/influence 2theta	0.50	
Parameter/influence intensities	0.50	
Parameter multiple/single phase(s)	0.50	

Peak List

No.	2theta [°]	d [Å]	I/I0	FWHM	Matched
1	10.46	8.4478	82.48	0.1010	
2	10.88	8.1256	160.61	0.1010	
3	11.38	7.7697	102.63	0.1010	
4	14.27	6.2035	67.87	0.1010	
5	14.77	5.9928	65.65	0.1010	
6	18.29	4.8476	148.98	0.1010	
7	18.80	4.7153	78.16	0.1010	
8	19.06	4.6521	71.88	0.1010	
9	19.30	4.5957	86.49	0.1010	
10	19.55	4.5379	72.59	0.1010	
11	19.96	4.4457	156.01	0.1010	
12	20.46	4.3373	85.48	0.1010	
13	20.71	4.2865	81.50	0.1010	
14	21.48	4.1341	113.28	0.1010	
15	21.99	4.0393	64.95	0.1010	
16	22.76	3.9043	106.54	0.1010	
17	23.67	3.7564	148.25	0.1010	
18	24.06	3.6953	162.63	0.1010	
19	24.29	3.6607	96.33	0.1010	
20	24.55	3.6231	102.92	0.1010	
21	24.80	3.5865	85.14	0.1010	
22	25.06	3.5503	110.44	0.1010	
23	25.44	3.4980	170.06	0.1010	
24	26.65	3.3428	178.79	0.1010	
25	27.00	3.2995	118.35	0.1010	
26	27.57	3.2328	633.80	0.1010	
27	27.95	3.1897	103.77	0.1010	
28	28.30	3.1507	99.49	0.1010	
29	28.43	3.1364	80.33	0.1010	
30	28.81	3.0964	63.99	0.1010	
31	28.95	3.0812	78.35	0.1010	
32	29.28	3.0476	78.90	0.1010	
33	29.76	2.9995	705.66	0.1010	
34	30.21	2.9555	638.08	0.1010	
35	30.76	2.9042	716.61	0.1010	
36	31.42	2.8446	77.74	0.1010	
37	31.73	2.8179	97.54	0.1010	
38	32.09	2.7872	119.59	0.1010	
39	32.17	2.7799	900.77	0.1010	
40	33.01	2.7111	237.73	0.1010	
41	34.19	2.6204	74.78	0.1010	
42	34.47	2.6002	68.60	0.1010	
43	34.87	2.5712	141.78	0.1010	
44	35.56	2.5224	1000.00	0.1010	
45	36.36	2.4688	165.13	0.1010	
46	37.45	2.3992	74.84	0.1010	
47	37.67	2.3857	98.26	0.1010	
48	37.90	2.3720	73.61	0.1010	
49	38.15	2.3571	79.91	0.1010	
50	38.68	2.3258	102.02	0.1010	
51	39.07	2.3034	400.51	0.1010	
52	39.47	2.2812	87.50	0.1010	
53	39.80	2.2630	142.86	0.1010	
54	40.53	2.2237	231.84	0.1010	
55	40.67	2.2164	241.85	0.1010	
56	40.86	2.2066	176.38	0.1010	
57	41.44	2.1770	73.29	0.1010	
58	41.57	2.1705	75.39	0.1010	
59	41.90	2.1541	206.07	0.1010	
60	42.31	2.1346	380.39	0.1010	
61	42.81	2.1108	289.19	0.1010	
62	44.34	2.0415	185.08	0.1010	A
63	44.56	2.0319	299.60	0.1010	
64	44.70	2.0258	275.05	0.1010	
65	45.03	2.0117	139.35	0.1010	
66	45.89	1.9758	100.34	0.1010	
67	47.90	1.8977	64.29	0.1010	



68	49.27	1.8480	96.22	0.1010
69	49.63	1.8355	231.10	0.1010
70	52.26	1.7491	384.05	0.1010
71	53.48	1.7120	65.41	0.1010
72	53.92	1.6991	126.83	0.1010
73	54.87	1.6718	182.57	0.1010
74	56.18	1.6358	117.05	0.1010
75	56.57	1.6255	369.63	0.1010
76	57.04	1.6133	191.28	0.1010
77	57.36	1.6051	81.22	0.1010
78	58.10	1.5863	75.73	0.1010
79	59.07	1.5626	65.99	0.1010
80	59.71	1.5473	102.88	0.1010
81	60.11	1.5380	64.25	0.1010
82	60.55	1.5278	108.07	0.1010
83	61.28	1.5114	145.70	0.1010
84	62.30	1.4890	184.16	0.1010
85	62.56	1.4836	180.38	0.1010
86	63.80	1.4578	87.53	0.1010
87	63.96	1.4545	80.97	0.1010
88	65.62	1.4216	274.66	0.1010
89	66.23	1.4100	319.93	0.1010
90	67.05	1.3947	63.53	0.1010

Rietveld Refinement using FullProf

Calculation was not run or did not converge.

Based on calculated profile

Profile area

Overall diffraction profile	7564	100.00%
Background radiation	6555	86.65%
Diffraction peaks	1010	13.35%
Peak area belonging to selected phases	5	0.07%
Peak area of phase A (Gold)	5	0.07%
Unidentified peak area	1026	13.56%

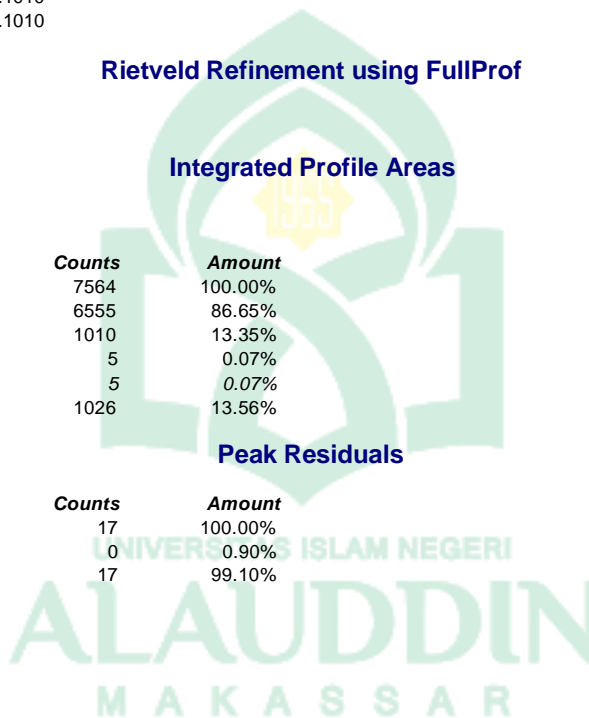
Counts	Amount
7564	100.00%
6555	86.65%
1010	13.35%
5	0.07%
5	0.07%
1026	13.56%

Peak Residuals

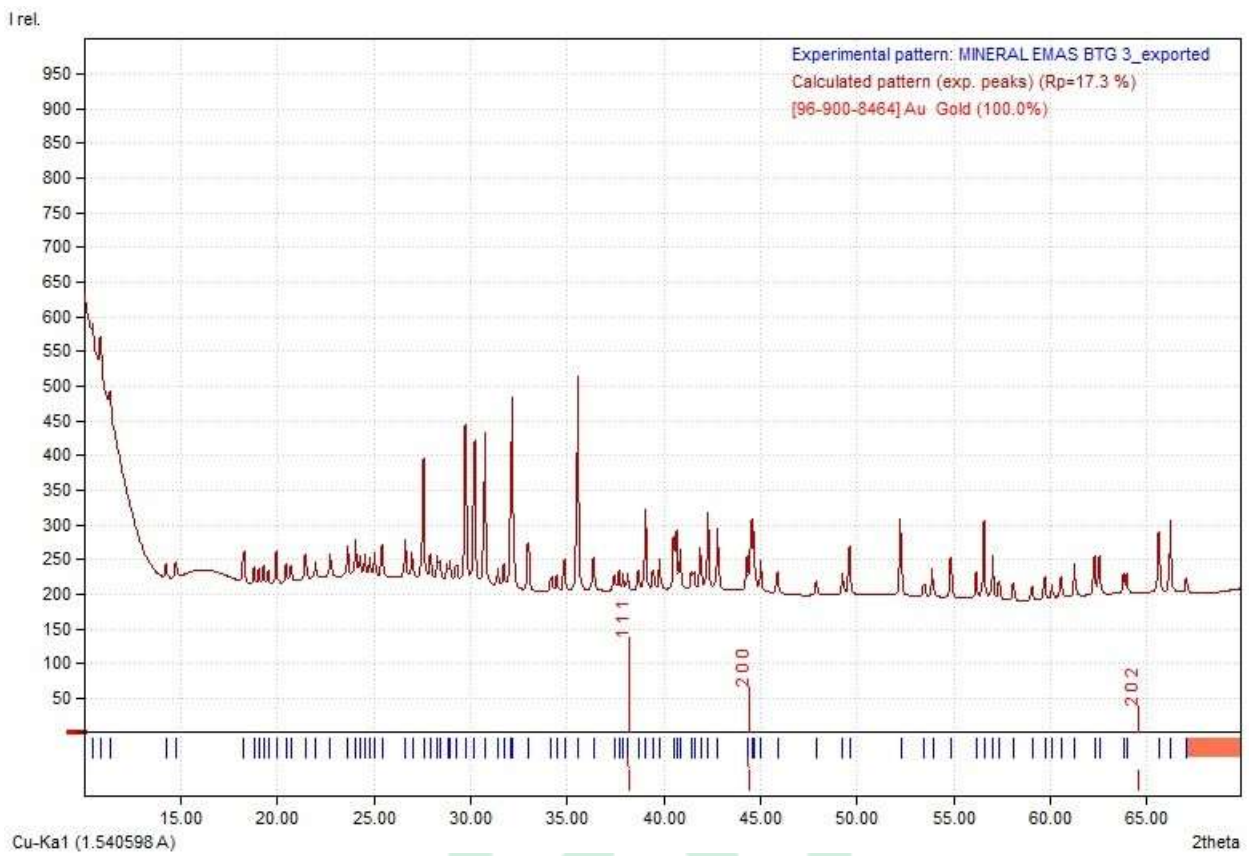
Peak data

Overall peak intensity	17	100.00%
Peak intensity belonging to selected phases	0	0.90%
Unidentified peak intensity	17	99.10%

Counts	Amount
17	100.00%
0	0.90%
17	99.10%



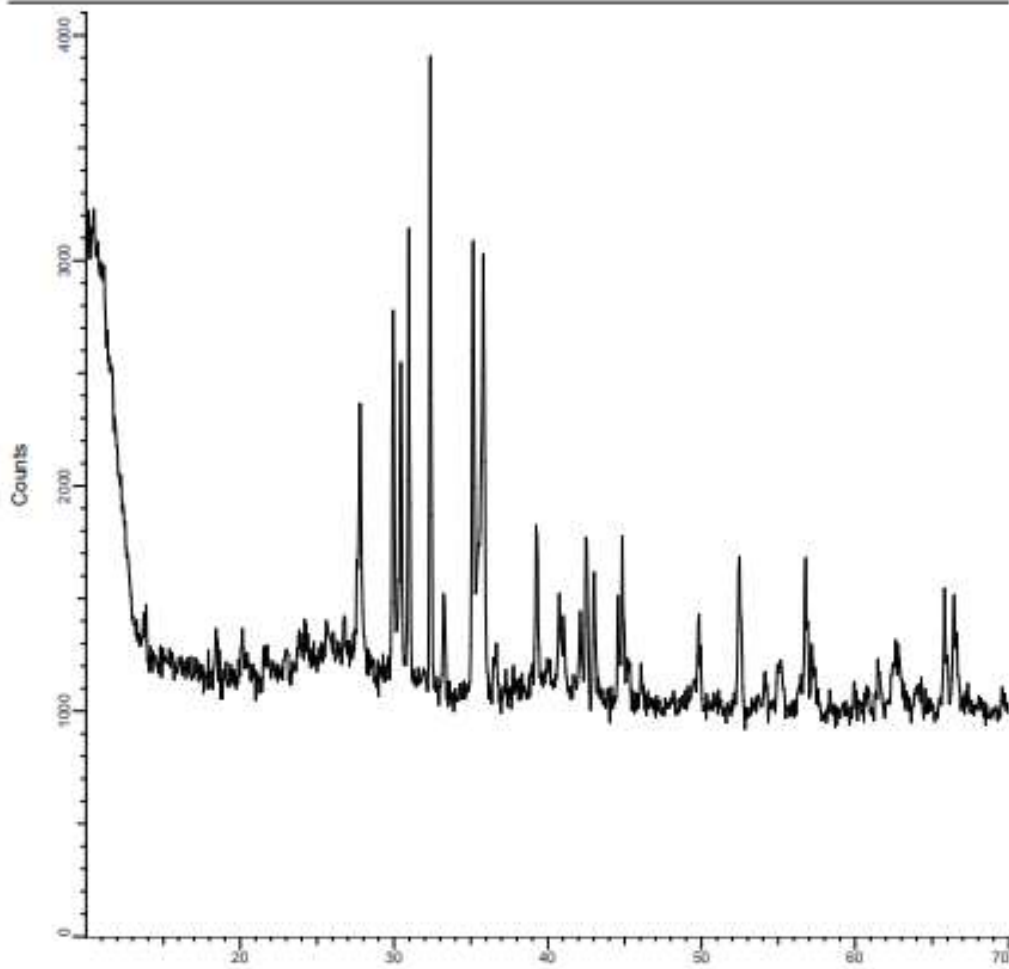
Diffraction Pattern Graphics



Match! Copyright © 2003-2016 CRYSTAL IMPAC T, Bonn, Germany

UNIVERSITAS ISLAM NEGERI
ALAUDDIN
MAKASSAR

Coupled TwoTheta/Theta 09:52:01 SSD160 (1D mode): PSD counter



Experiment

User ID	375		
Instrument	D2-212186		
Time	2/28/2020 10:51:17 AM		
Sample ID	Commander Sample ID		
Raw File ID	348		
Scan type	Coupled TwoTheta/Theta		
Scan mode	PdFastScan		
2Theta	Start: 10.002269918 [°]	Increment: 0.050511538575 [°]	Stop:
	70.012269918 [°]		
Theta	Start: 5.001134959 [°]	Increment: 0.0252557692875 [°]	Stop:
	35.006134959 [°]		

Sampel 4: MINERAL EMAS BTG 4_exported

Sample Data

File name	MINERAL EMAS BTG 4_exported.xy	
File path	E:/PNUP/XRD	
Data collected	Mar 4, 2020 22:29:21	
Data range	9.912° - 69.918°	
Number of points	1189	
Step size	0.051	
Rietveld refinement converged	No Alpha2 subtracted	Yes
Background subtr.	No	
Data smoothed	No	
2theta correction	-0.09°	
Radiation	X-rays	
Wavelength	1.540598 Å	

Matched Phases

Index	Amount (%)	Name	Formula sum
A	100.0	Gold	Au
	13.2	Unidentified peak area	

A: Gold (100.0 %)

Formula sum	Au
Entry number	96-901-2431
Figure-of-Merit (FoM)	0.000000
Total number of peaks	10
Peaks in range	3
Peaks matched	1
Intensity scale factor	0.01
Space group	F m -3 m
Crystal system	cubic
Unit cell	a= 4.0704 Å
V/cor	32.82
Calc. density	19.399 g/cm ³
Reference	Jette E. R., Foote F., "Precision determination of lattice constants Locality: synthetic Sample: at T = 25 C Note: lattice parameter is average of 1 sample", Journal of Chemical Physics 3 , 605-616 (1935)

Candidates

Name	Formula	Entry No.	FoM
Diopside	Al _{0.16} Ca _{0.96} Fe _{0.05} H _{0.06} Mg _{0.86} Na _{0.04} O ₆ Si _{1.9} Ti _{0.02}	96-900-4602	0.8552
Cs ₂₃ (Sn ₄) (Sn O ₃) ₄ O ₂ .15	Cs ₂₃ O _{14.15} Sn ₈	96-153-7107	0.8446
	La ₂ Mo ₂ O ₉	96-400-0584	0.8445
Diopside	Al _{0.187} Ca _{0.712} Cr _{0.046} Fe _{0.11} Mg _{1.007} Mn _{0.003} Na _{0.048} O ₆ Si _{1.902} Ti _{0.003}	96-900-6148	0.8444
Hedenbergite	Ca _{0.501} Fe Na _{0.499} O ₆ Si ₂	96-901-0086	0.8422
Clinopyroxene	Ca _{0.5} Fe Na _{0.5} O ₆ Si ₂	96-900-5435	0.8409
Diopside	Al _{0.32} Ca _{0.688} Cr _{0.002} Fe _{0.258} Mg _{0.656} Mn _{0.003} Na _{0.187} O ₆ Si _{1.846} Ti _{0.04}	96-900-5005	0.8395
Diopside	Al _{0.207} Ca _{0.694} Cr _{0.046} Fe _{0.123} Mg _{0.997} Mn _{0.003} Na _{0.052} O ₆ Si _{1.892} Ti _{0.00296}	96-900-6147	0.8393
Diopside	Al _{0.6} Ca Mg _{0.7} O ₆ Si _{1.7}	96-900-5278	0.8387
Diopside	Al _{0.6} Ca Mg _{0.7} O ₆ Si _{1.7}	96-900-5279	0.8381
Diopside	Al _{0.303} Ca _{0.705} Cr _{0.001} Fe _{0.24} Mg _{0.684} Mn _{0.004} Na _{0.176} O ₆ Si _{1.848} Ti _{0.039}	96-900-5002	0.8380
Augite	Ca Fe _{0.25} Mg _{0.74} O ₆ Si ₂	96-900-9665	0.8376
Porphyrazinealuminiumchloride	C ₁₆ AlCl N ₁₆ S ₄	96-430-9965	0.8364
Diopside	Al _{0.254} Ca _{0.751} Cr _{0.007} Fe _{0.244} Mg _{0.77} Mn _{0.003} Na _{0.092} O ₆ Si _{1.848} Ti _{0.031}	96-900-5007	0.8359
Diopside	Al _{0.29} Ca _{0.45} Mg _{0.91} O ₆ Si _{1.85}	96-900-5183	0.8359
Diopside	Al _{0.301} Ca _{0.708} Cr _{0.001} Fe _{0.235} Mg _{0.696} Mn _{0.002} Na _{0.173} O ₆ Si _{1.847} Ti _{0.03796}	96-900-5004	0.8358
Diopside	Al _{0.2} Ca _{0.691} Cr _{0.001} Fe _{0.202} Mg _{0.812} Mn _{0.006} Na _{0.159} O ₆ Si _{1.918} Ti _{0.011}	96-900-5006	0.8356
Diopside	Al _{0.29} Ca _{0.9} Mg _{0.96} O ₆ Si _{1.85}	96-900-5184	0.8352
Diopside	Al _{0.328} Ca _{0.687} Cr _{0.006} Fe _{0.233} Mg _{0.692} Mn _{0.006} Na _{0.158} O ₆ Si _{1.846} Ti _{0.04496}	96-900-5003	0.8346
Ca _{0.818} Mg _{0.792} Fe _{0.183} Fe _{0.086} Al _{0.151} Al _{0.269} Si _{1.731} O ₆	Al _{0.42} Ca _{0.818} Fe _{0.269} Mg _{0.792} O ₆ Si _{1.731}	96-152-6738	0.8339
	Ca Ni O ₆ Si ₂	96-900-1052	0.8334
Diopside	Al _{0.268} Ca _{0.673} Cr _{0.002} Fe _{0.335} Mg _{0.685} Mn _{0.007} Na _{0.116} O ₆ Si _{1.895} Ti _{0.01996}	96-900-5011	0.8316
Si _{9.04} Ca _{11.44} As ₁₆	As ₁₆ Ca _{11.44} Si _{9.04}	96-210-6515	0.8312
Diopside	Ca Ni O ₆ Si ₂	96-900-1304	0.8308
Diopside	Al _{0.332} Ca _{0.691} Cr _{0.003} Fe _{0.244} Mg _{0.742} Mn _{0.008} Na _{0.128} O ₆ Si _{1.816} Ti _{0.03696}	96-900-5008	0.8305
Diopside	Al _{0.189} Ca _{0.72} Cr _{0.04} Fe _{0.111} Mg _{1.03} Mn _{0.003} Na _{0.027} O ₆ Si _{1.891} Ti _{0.003}	96-900-6149	0.8299
Diopside	Ca Mg _{0.26} Ni _{0.74} O ₆ Si ₂	96-900-1305	0.8287
Aegirine	Ca _{0.396} Fe Na _{0.604} O ₆ Si ₂	96-901-0088	0.8286
Diopside	Al _{0.209} Ca _{0.896} K _{0.072} Mg _{0.887} O ₆ Si _{1.936}	96-900-5561	0.8284
Diopside	Ca Mg _{0.78} Ni _{0.22} O ₆ Si ₂	96-900-1307	0.8282
Diopside	Ca _{0.5} Cr _{0.5} Mg _{0.5} Na _{0.5} O ₆ Si ₂	96-900-5706	0.8282

Diopside	Ca Mg _{0.55} Ni _{0.45} O ₆ Si ₂	96-900-1306	0.8277
Diopside	Al _{0.121} Ca _{0.828} Cr _{0.023} Fe _{0.072} Mg _{0.89} Mn _{0.001} Na _{0.102} O ₆ Si _{1.962} Ti _{0.002}	96-900-5236	0.8272
Diopside	Ca _{0.5} Cr _{0.5} Mg _{0.5} Na _{0.5} O ₆ Si ₂	96-900-5707	0.8268
Aegirine	Ca _{0.4} Fe Na _{0.6} O ₆ Si ₂	96-900-5436	0.8256
Diopside	Al _{0.1} Ca _{0.78} Cr _{0.09} Fe _{0.05} Mg _{0.83} Na _{0.18} O ₆ Si _{1.97}	96-900-1334	0.8248
Diopside	Al Ca Mg _{0.5} O ₆ Si _{1.5}	96-900-5281	0.8246
Diopside	Al _{0.342} Ca _{0.661} Cr _{0.003} Fe _{0.253} Mg _{0.731} Mn _{0.007} Na _{0.132} O ₆ Si _{1.826} Ti _{0.045}	96-900-5009	0.8239
Hedenbergite	Ca _{0.615} Fe Na _{0.385} O ₆ Si ₂	96-901-0081	0.8238
Calcium magnesium catena-silicate (Diopside)	Ca Mg O ₆ Si ₂	96-101-1048	0.8237
Diopside	Al _{0.068} Ca Fe _{0.008} Mg _{0.992} O ₆ Si _{1.932}	96-900-4312	0.8236
Diopside	Al _{0.06} Ca _{0.91} Fe _{0.1} Mg _{0.91} Na _{0.05} O ₆ Si _{1.97}	96-900-1333	0.8233
Porphyrazinegalliumchloride	C ₁₆ Cl Ga N ₁₆ S ₄	96-430-9966	0.8232
Diopside	Al _{0.323} Ca _{0.661} Cr _{0.005} Fe _{0.206} Mg _{0.771} Mn _{0.001} Na _{0.153} O ₆ Si _{1.851} Ti _{0.029}	96-900-5010	0.8232
Diopside	Ca Mg O ₆ Si ₂	96-900-0332	0.8228
Diopside	Ca Mg O ₆ Si ₂	96-100-0008	0.8222
Diopside	Ca Mg O ₆ Si ₂	96-900-0798	0.8221
Calcium magnesium catena-silicate (Diopside)	Ca Mg O ₆ Si ₂	96-101-1058	0.8219
Diopside	B _{0.028} Ca _{0.872} Mg _{0.906} Na _{0.118} O ₆ Si _{1.94} Ti _{0.138}	96-900-5680	0.8200
Diopside	Al _{0.6} Ca Mg _{0.7} O ₆ Si _{1.7}	96-900-5280	0.8199
Diopside	Al _{0.078} Ca Fe _{0.016} Mg _{0.984} O ₆ Si _{1.922}	96-900-4314	0.8192

and 155 others...

Search-Match

Settings

Reference database used	COD-Inorg	
REV173445 2016.01.04 Automatic zeropoint adaptation	Yes	
Minimum figure-of-merit (FoM)	0.60	
2theta window for peak corr.	0.30 deg. Minimum rel. int. for peak corr.	1
Parameter/influence 2theta	0.50	
Parameter/influence intensities	0.50	
Parameter multiple/single phase(s)	0.50	

Criteria for entries added by user

Reference:

Entry number: 96-100-5037;96-100-8491;96-100-8772;96-100-8815;96-100-8819;96-101-0073;96-101-0145;96-101-0202;96-101-0323;96-101-0324;96-101-1092;96-110-0139;96-150-9066;96-150-9078;96-150-9125;96-200-2547;96-200-7888;96-201-8284;96-201-8285;96-201-9456;96-201-9457;96-201-9619;96-231-0020;96-400-0518;96-400-0519;96-430-3705;96-434-1400;96-720-9295;96-810-3052;96-900-0239;96-900-0256;96-900-3058;96-900-4845;96-900-8464;96-900-9452;96-900-9609;96-901-0370;96-901-1613;96-901-1614;96-901-1753;96-901-1754;96-901-1755;96-901-1756;96-901-1757;96-901-2431;96-901-2954;96-901-3036;96-901-3037;96-901-3038;96-901-3039;96-901-3040;96-901-3041;96-901-3042;96-901-3043;96-901-3044;96-901-3045;96-901-4444;96-901-4488;96-901-5151

Peak List

No.	2theta [°]	d [Å]	I/I ₀	FWHM	Matched
1	10.69	8.2726	117.86	0.2020	
2	10.83	8.1613	132.09	0.2020	
3	10.96	8.0654	121.91	0.2020	
4	11.47	7.7108	102.03	0.2020	
5	11.99	7.3747	69.91	0.2020	
6	13.76	6.4298	79.19	0.2020	
7	14.43	6.1342	60.00	0.2020	
8	14.61	6.0589	60.17	0.2020	
9	14.83	5.9671	58.93	0.2020	
10	18.35	4.8299	65.25	0.2020	
11	18.87	4.6997	53.84	0.2020	
12	19.03	4.6596	66.73	0.2020	
13	20.01	4.4334	107.44	0.2020	
14	20.46	4.3366	59.75	0.2020	
15	20.85	4.2571	46.61	0.2020	
16	21.10	4.2076	56.54	0.2020	
17	21.31	4.1663	73.45	0.2020	
18	21.47	4.1364	69.65	0.2020	
19	22.82	3.8943	48.57	0.2020	
20	23.75	3.7436	106.25	0.2020	
21	24.25	3.6666	66.42	0.2020	
22	24.47	3.6348	60.21	0.2020	
23	24.87	3.5770	58.89	0.2020	
24	24.99	3.5606	63.74	0.2020	
25	25.33	3.5127	63.85	0.2020	
26	25.81	3.4487	78.72	0.2020	
27	26.07	3.4149	59.77	0.2020	
28	26.33	3.3823	49.22	0.2020	
29	26.65	3.3419	91.40	0.2020	
30	26.77	3.3272	100.75	0.2020	
31	27.10	3.2876	91.49	0.2020	
32	27.43	3.2486	183.94	0.2020	
33	27.69	3.2195	514.86	0.2020	
34	28.14	3.1684	67.36	0.2020	
35	29.41	3.0343	48.10	0.2020	
36	29.81	2.9944	345.64	0.2020	
37	29.90	2.9857	1000.00	0.2020	
38	30.38	2.9394	739.89	0.2020	
39	30.90	2.8911	274.78	0.2020	
40	32.30	2.7691	107.26	0.2020	
41	33.19	2.6968	74.91	0.2020	
42	35.09	2.5553	274.27	0.2020	
43	35.71	2.5124	645.41	0.2020	
44	36.48	2.4612	99.83	0.2020	
45	38.60	2.3307	49.55	0.2020	
46	39.24	2.2941	105.24	0.2020	
47	39.58	2.2753	72.85	0.2020	
48	39.69	2.2691	81.28	0.2020	
49	40.70	2.2150	136.12	0.2020	
50	40.94	2.2028	121.43	0.2020	
51	41.63	2.1677	64.05	0.2020	
52	42.07	2.1459	189.12	0.2020	
53	42.45	2.1279	313.16	0.2020	
54	42.94	2.1044	145.24	0.2020	



UNIVERSITAS ISLAM NEGERI

ALAUDDIN

MAKASSAR

55	44.83	2.0201	199.81	0.2020
56	45.17	2.0058	59.29	0.2020
57	46.02	1.9706	115.64	0.2020
58	49.36	1.8448	53.48	0.2020
59	49.75	1.8314	163.72	0.2020
60	50.40	1.8091	46.70	0.2020
61	50.93	1.7917	68.71	0.2020
62	52.40	1.7448	123.50	0.2020
63	52.79	1.7328	59.78	0.2020
64	53.32	1.7167	52.34	0.2020
65	53.53	1.7106	60.23	0.2020
66	54.07	1.6947	65.91	0.2020
67	54.59	1.6798	49.89	0.2020
68	54.83	1.6731	101.59	0.2020
69	56.33	1.6320	144.20	0.2020
70	56.71	1.6220	276.65	0.2020
71	57.13	1.6109	168.83	0.2020
72	58.31	1.5811	46.33	0.2020
73	59.89	1.5431	173.12	0.2020
74	60.72	1.5240	115.55	0.2020
75	61.69	1.5024	150.20	0.2020
76	62.44	1.4861	110.02	0.2020
77	62.69	1.4807	103.34	0.2020
78	63.88	1.4561	66.37	0.2020
79	64.49	1.4438	52.96	0.2020
80	65.72	1.4197	168.17	0.2020
81	66.39	1.4070	132.25	0.2020
82	67.21	1.3918	47.03	0.2020

A

Rietveld Refinement using FullProf

Calculation was not run or did not converge.

Based on calculated profile

Profile area

Overall diffraction profile	7932	100.00%
Background radiation	6904	87.05%
Diffraction peaks	1027	12.95%
Peak area belonging to selected phases	1	0.01%
Peak area of phase A (Gold)	1	0.01%
Unidentified peak area	1049	13.22%

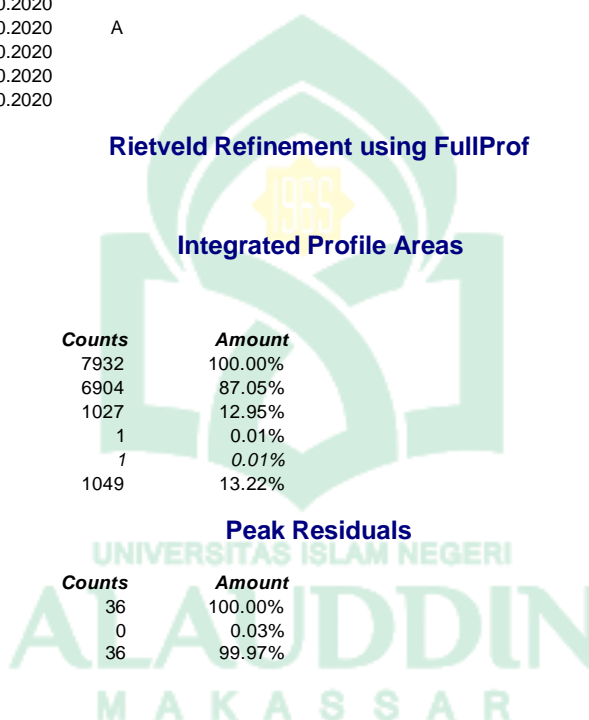
Counts	Amount
7932	100.00%
6904	87.05%
1027	12.95%
1	0.01%
1	0.01%
1049	13.22%

Peak Residuals

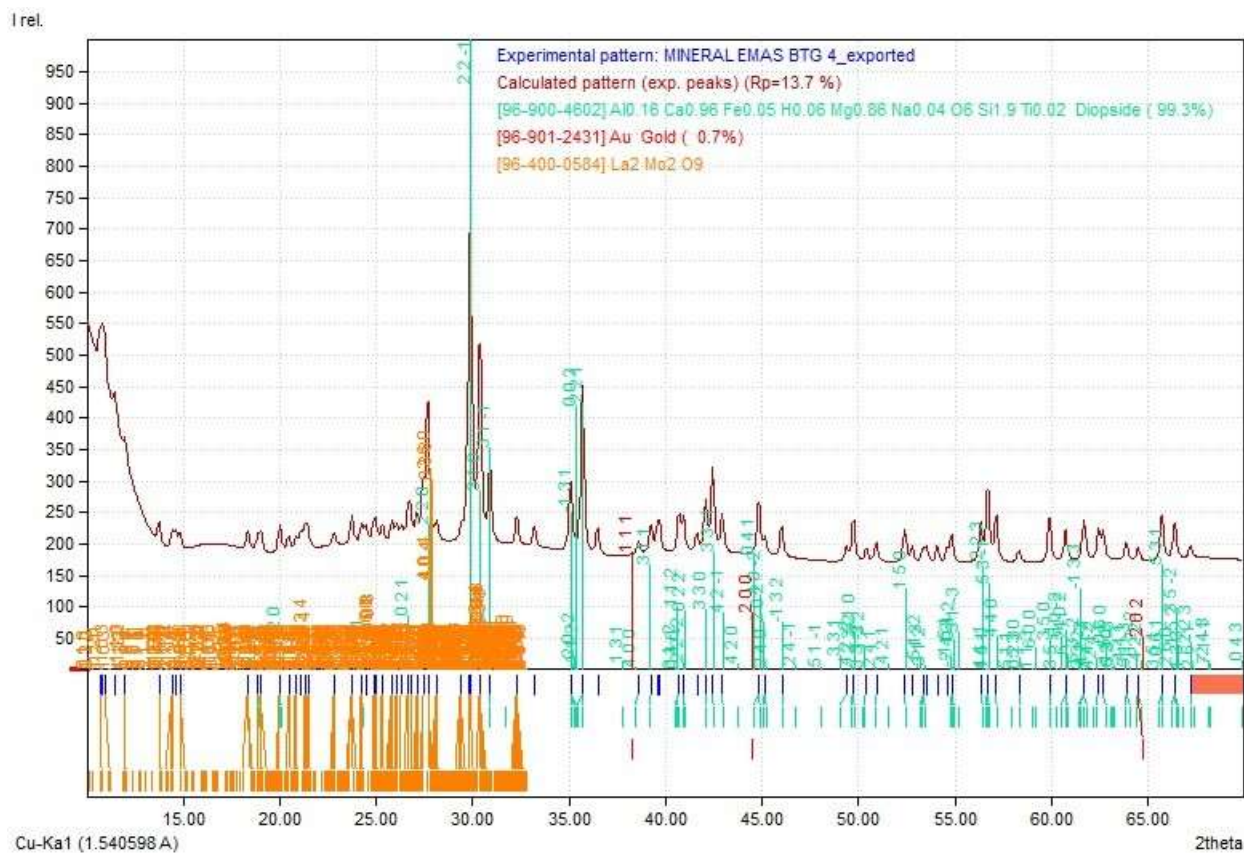
Peak data

Overall peak intensity	36	100.00%
Peak intensity belonging to selected phases	0	0.03%
Unidentified peak intensity	36	99.97%

Counts	Amount
36	100.00%
0	0.03%
36	99.97%



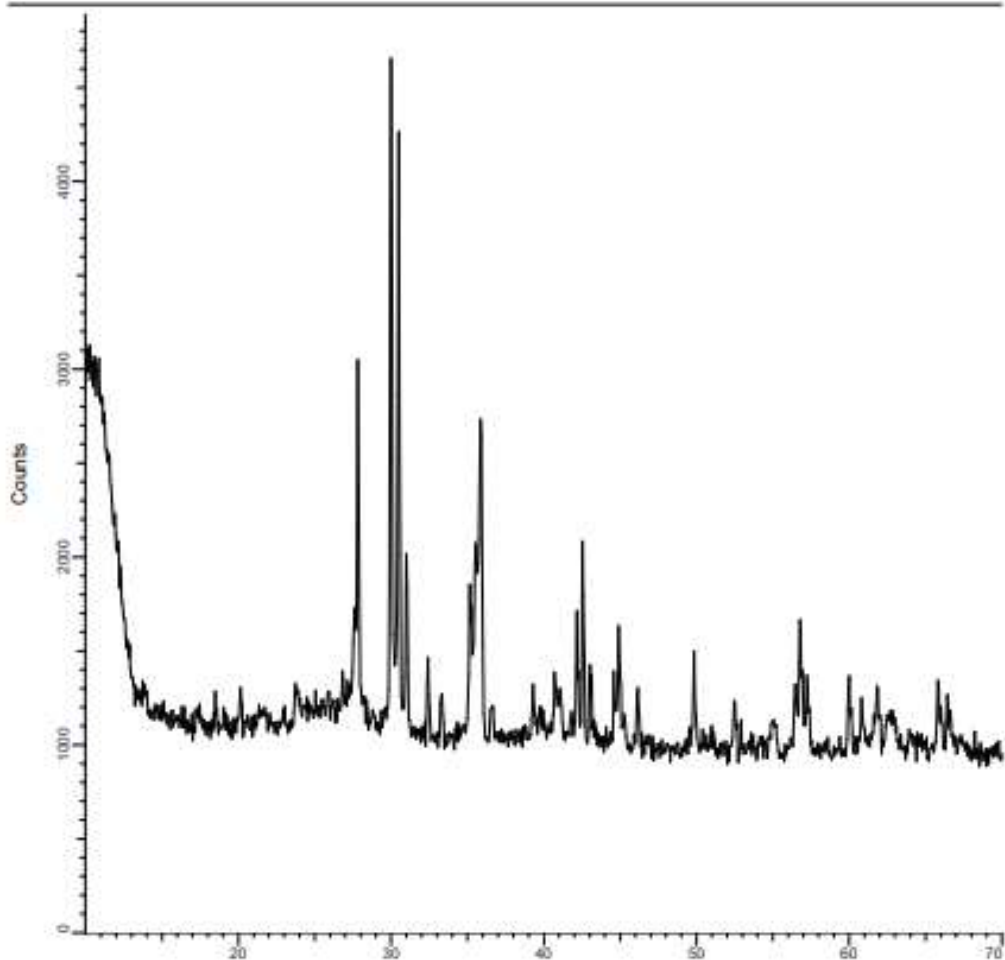
Diffraction Pattern Graphics



Match! Copyright © 2003-2016 CRYSTAL IMPAC T, Bonn, Germany

UNIVERSITAS ISLAM NEGERI
ALAUDDIN
 MAKASSAR

Coupled TwoTheta/Theta 02:38:38 SSD160 (ID mode): PSD counter



Experiment

User ID	375		
Instrument	D2-212166		
Time	3/2/2020 3:01:10 AM		
Sample ID	Commander Sample ID		
Raw File ID	349		
Scan type	Coupled TwoTheta/Theta		
Scan mode	PsiFastScan		
2Theta	Start: 10.002269918 [°]	Increment: 0.050511538575 [°]	Stop:
	70.012269918 [°]		
Theta	Start: 5.001134959 [°]	Increment: 0.0252557692875 [°]	Stop:
	35.006134959 [°]		

Sampel 5: MINERAL EMAS BTG 5_exported

Sample Data

File name	MINERAL EMAS BTG 5_exported.xy	
File path	E:/PNUP/XRD	
Data collected	Mar 4, 2020 22:29:21	
Data range	9.902° - 69.908°	
Number of points	1189	
Step size	0.051	
Rietveld refinement converged	No Alpha2 subtracted	Yes
Background subtr.	No	
Data smoothed	No	
2theta correction	-0.1°	
Radiation	X-rays	
Wavelength	1.540598 Å	

Matched Phases

Index	Amount (%)	Name	Formula sum
A	100.0	Gold	Au
	12.9	Unidentified peak area	

A: Gold (100.0 %)

Formula sum	Au
Entry number	96-901-3039
Figure-of-Merit (FoM)	0.718393
Total number of peaks	10
Peaks in range	3
Peaks matched	3
Intensity scale factor	0.10
Space group	F m -3 m
Crystal system	cubic
Unit cell	a= 4.1030 Å
V/Cor	32.81
Calc. density	18.940 g/cm ³
Reference	Suh I.-K., Ohta H., Waseda Y., "High-temperature thermal expansion of six metallic elements measured by dilatation method and X-ray diffraction Locality: synthetic Sample: at T = 777 K", Journal of Materials Science 23 , 757-760 (1988)

Candidates

Name	Formula	Entry No.	FoM
strontium tellurite	O3 Sr Te	96-221-2469	0.8587
	Ag2 I3 O11 V	96-702-4505	0.8519
Augite	Ca Fe0.25 Mg0.74 O6 Si2	96-900-9665	0.8510
Li Na5 (P O4)2	Li Na5 O8 P2	96-153-4957	0.8476
Cs23 (Sn4) (Sn O3)4 O2.15	Cs23 O14.15 Sn8	96-153-7107	0.8466
	Au57.11 Ca13 Ga23.4	96-430-5719	0.8463
Fizelyite	Ag1.486 Pb3.436 S12 Sb5.215	96-901-3807	0.8462
	Hf Se4 Ti4	96-432-4135	0.8453
Barium indium nitride	Ba19 In9 N9	96-220-4402	0.8450
Olympite	Li Na5 O8 P2	96-901-2623	0.8435
	C14 Cl4 F6 N4	96-402-7315	0.8430
Stenhuggarite	As2 Ca Fe O7 Sb	96-900-7622	0.8429
strontium doped hexa barium hepta magnesium fluoride (Pb1.8 Zn0.2) (Mn0.15 Al0.1 Fe0.75) (V O4)2 (O H)	Ba5.24 F26 Mg7 Sr0.76	96-200-6774	0.8426
	Al0.1 Fe0.75 H Mn0.15 O9 Pb1.8 V2 Zn0.2	96-152-6220	0.8422
	Cu2 Fe2 Ge4 O13	96-210-2755	0.8421
	C4 Br4 Se	96-210-2931	0.8418
Hedenbergite	Ca0.6 Fe Na0.4 O6 Si2	96-900-5434	0.8404
Pb0.497 ((U O2)4 O1.994 (O H)5.006) (H2 O)4	H13.006 O19 Pb0.497 U4	96-152-1510	0.8403
Jadeite	Al0.24 Ca0.76 Fe0.76 Na0.24 O6 Si2	96-901-0474	0.8403
Hexabarium dipraseodymium tetracobalt(III) oxide	Ba6 Co4 O15 Pr2	96-200-2727	0.8400
La4 (Si2 O7 N2)	La4 N2 O7 Si2	96-400-2579	0.8400
	Ba1.44 Ca1.56 N4 W	96-701-2468	0.8398
	Cu2 Fe2 Ge4 O13	96-210-2752	0.8397
N3 P3 Br6	Br6 N3 P3	96-210-7246	0.8397
Rb In (H P O4)2	H2 In O8 P2 Rb	96-153-3167	0.8396
La7 Pd17 P12	La7 P12 Pd17	96-722-2163	0.8396
Diopside	Al0.078 Ca Fe0.008 Mg0.992 O6 Si1.922	96-900-4320	0.8396
Diopside	Al0.209 Ca0.896 K0.072 Mg0.887 O6 Si1.936	96-900-5561	0.8396
Diopside	B0.044 Ca0.784 Mg0.85 Na0.19 O6 Si1.892 Ti0.254	96-900-5681	0.8396
Hedenbergite	Al0.24 Ca0.76 Fe0.76 Na0.24 O6 Si2	96-901-0329	0.8396
Cuprosklodowskite	Cu H12 O18 Si2 U2	96-900-0451	0.8392
Diopside	Al0.078 Ca Fe0.002 Mg0.998 O6 Si1.922	96-900-4321	0.8392
	Co O	96-900-8619	0.8392

Diopside	Al _{0.078} Ca Fe _{0.024} Mg _{0.976} O ₆ Si _{1.922} C16 F16	96-900-4318 96-402-3352	0.8389 0.8387
Hedenbergite	Ca _{0.615} Fe Na _{0.385} O ₆ Si ₂	96-901-0081	0.8387
Zirconolite	Ca ₂ O ₁₄ Ti ₄ Zr ₂	96-900-9221	0.8385
Sr Te O ₃	O ₃ Sr Te	96-152-8442	0.8379
Au _{1.89} Te _{2.95}	Au _{1.89083} Te _{3.03167}	96-810-3437	0.8379
Ca ₃ (Ge ₂ As ₄)	As ₄ Ca ₃ Ge ₂	96-152-8464	0.8375
Diopside	Ca Mg _{0.78} Ni _{0.22} O ₆ Si ₂	96-900-1307	0.8370
Hedenbergite	Ca _{0.55} Fe Na _{0.45} O ₆ Si ₂	96-901-0082	0.8368
	Ba ₂ In Nd Te ₅	96-433-0902	0.8367
	Cu ₂ Fe ₂ Ge ₄ O ₁₃	96-210-2753	0.8366
	Cu ₂ Fe ₂ Ge ₄ O ₁₃	96-210-2754	0.8365
Barium lanthanum aluminium iron(III) oxide (6/2/1.5/2.5/15)	Al _{1.5} Ba ₆ Fe _{2.5} La ₂ O ₁₅	96-200-2448	0.8362
Diopside	Al _{0.078} Ca Fe _{0.008} Mg _{0.992} O ₆ Si _{1.922}	96-900-4313	0.8362
Fourmarierite	H ₁₀ O ₁₉ Pb U ₄	96-900-4592	0.8362
Diopside	B _{0.022} Ca _{0.82} Mg _{0.846} Na _{0.168} O ₆ Si _{1.882} Ti _{0.27296}	96-900-5679	0.8360
Diopside	Ca Mg O ₆ Si ₂	96-100-0009	0.8357
Diopside	Ca Mg O ₆ Si ₂	96-100-0008	0.8356
	Ba ₂ Ce In Te ₅	96-433-0901	0.8356

and 155 others...

Search-Match

Settings

Reference database used	COD-Inorg REV173445 2016.01.04
Automatic zeropoint adaptation	Yes
Minimum figure-of-merit (FoM)	0.60
2theta window for peak corr.	0.30 deg.
Minimum rel. int. for peak corr.	1
Parameter/influence 2theta	0.50
Parameter/influence intensities	0.50
Parameter multiple/single phase(s)	0.50



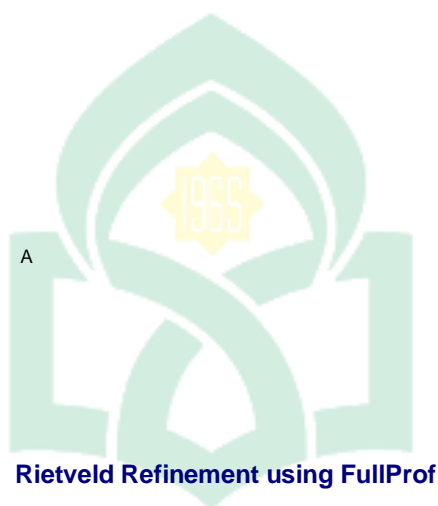
UNIVERSITAS ISLAM NEGERI
ALAUDDIN
 MAKASSAR

Peak List

No.	2theta [°]	d [Å]	I/I0	FWHM	Matched
1	10.99	8.0417	187.59	0.3031	
2	11.33	7.8022	162.88	0.3031	
3	11.84	7.4703	84.36	0.3031	
4	13.69	6.4643	88.48	0.3031	
5	14.35	6.1685	76.66	0.3031	
6	14.72	6.0144	76.06	0.3031	
7	18.25	4.8570	77.50	0.3031	
8	18.81	4.7135	66.00	0.3031	
9	19.29	4.5971	72.11	0.3031	
10	19.83	4.4744	77.87	0.3031	
11	21.23	4.1812	60.66	0.3031	
12	21.47	4.1362	66.45	0.3031	
13	21.74	4.0856	87.03	0.3031	
14	22.80	3.8964	190.41	0.3031	
15	23.54	3.7761	152.85	0.3031	
16	23.73	3.7458	205.72	0.3031	
17	23.89	3.7218	159.00	0.3031	
18	24.17	3.6796	118.69	0.3031	
19	24.70	3.6019	113.55	0.3031	
20	25.40	3.5038	172.10	0.3031	
21	25.56	3.4826	173.05	0.3031	
22	26.07	3.4157	113.01	0.3031	
23	26.23	3.3947	117.95	0.3031	
24	26.63	3.3451	180.59	0.3031	
25	26.99	3.3014	114.05	0.3031	
26	27.60	3.2288	673.34	0.3031	
27	28.04	3.1798	101.98	0.3031	
28	28.91	3.0855	74.02	0.3031	
29	29.07	3.0694	75.26	0.3031	
30	29.39	3.0364	75.22	0.3031	
31	29.80	2.9960	746.69	0.3031	
32	30.30	2.9474	792.06	0.3031	
33	30.79	2.9013	491.48	0.3031	
34	32.20	2.7779	155.15	0.3031	
35	33.09	2.7048	165.92	0.3031	
36	33.96	2.6374	59.37	0.3031	
37	34.08	2.6286	60.23	0.3031	
38	35.05	2.5581	717.78	0.3031	
39	35.61	2.5189	1000.00	0.3031	
40	36.42	2.4650	288.68	0.3031	
41	36.99	2.4283	59.61	0.3031	
42	37.49	2.3968	60.40	0.3031	
43	37.95	2.3689	67.91	0.3031	
44	38.16	2.3564	80.84	0.3031	
45	38.39	2.3428	84.80	0.3031	
46	38.59	2.3309	89.40	0.3031	
47	38.78	2.3204	98.25	0.3031	
48	39.06	2.3043	180.35	0.3031	
49	39.54	2.2776	143.18	0.3031	
50	39.90	2.2577	194.77	0.3031	
51	40.38	2.2319	133.12	0.3031	
52	40.56	2.2225	161.95	0.3031	
53	41.57	2.1709	105.82	0.3031	
54	41.96	2.1512	294.57	0.3031	
55	42.36	2.1320	427.10	0.3031	
56	42.85	2.1088	230.20	0.3031	
57	43.47	2.0799	104.24	0.3031	
58	43.73	2.0683	92.46	0.3031	
59	43.96	2.0582	82.50	0.3031	A
60	44.51	2.0339	236.99	0.3031	
61	44.81	2.0211	162.65	0.3031	
62	45.02	2.0121	149.14	0.3031	
63	45.51	1.9914	97.80	0.3031	
64	45.97	1.9728	165.55	0.3031	
65	46.47	1.9525	114.73	0.3031	



66	46.67	1.9448	122.63	0.3031
67	47.27	1.9214	68.97	0.3031
68	47.40	1.9164	69.90	0.3031
69	47.78	1.9022	86.16	0.3031
70	48.29	1.8832	98.49	0.3031
71	48.87	1.8622	81.34	0.3031
72	49.20	1.8505	86.83	0.3031
73	49.37	1.8446	94.80	0.3031
74	49.66	1.8344	199.36	0.3031
75	50.29	1.8129	65.61	0.3031
76	50.78	1.7965	86.09	0.3031
77	51.38	1.7768	63.94	0.3031
78	52.29	1.7481	284.50	0.3031
79	52.72	1.7348	70.46	0.3031
80	53.52	1.7107	64.95	0.3031
81	54.03	1.6960	101.74	0.3031
82	54.85	1.6725	223.37	0.3031
83	56.22	1.6349	156.48	0.3031
84	56.67	1.6230	357.23	0.3031
85	57.06	1.6127	294.17	0.3031
86	57.48	1.6019	75.45	0.3031
87	57.59	1.5993	76.52	0.3031
88	57.87	1.5922	61.19	0.3031
89	58.17	1.5847	82.60	0.3031
90	59.05	1.5630	168.56	0.3031
91	59.76	1.5462	141.12	0.3031
92	60.19	1.5362	86.39	0.3031
93	60.66	1.5255	97.84	0.3031
94	61.37	1.5095	179.03	0.3031
95	61.87	1.4984	81.13	0.3031
96	62.57	1.4833	242.47	0.3031
97	63.04	1.4734	115.30	0.3031
98	63.86	1.4565	113.15	0.3031
99	64.15	1.4506	62.38	0.3031
100	64.60	1.4415	62.38	0.3031
101	65.62	1.4216	158.06	0.3031
102	66.03	1.4137	77.37	0.3031
103	66.33	1.4081	135.11	0.3031
104	66.93	1.3969	73.28	0.3031
105	67.34	1.3894	70.69	0.3031
106	69.62	1.3494	60.19	0.3031



Calculation was not run or did not converge.

Integrated Profile Areas

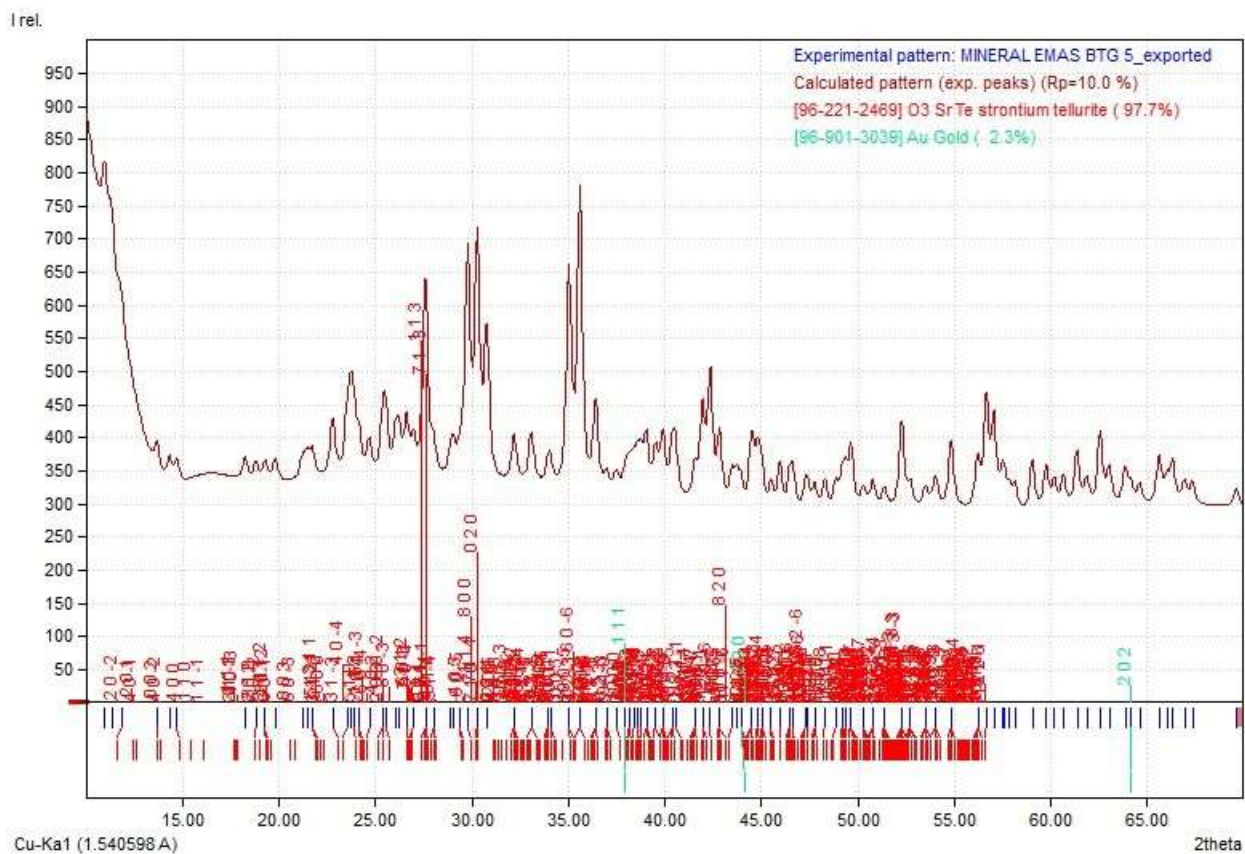
Based on calculated profile

Profile area	Counts	Amount
Overall diffraction profile	9209	100.00%
Background radiation	8029	87.19%
Diffraction peaks	1180	12.81%
Peak area belonging to selected phases	12	0.13%
Peak area of phase A (Gold)	12	0.13%
Unidentified peak area	1191	12.94%

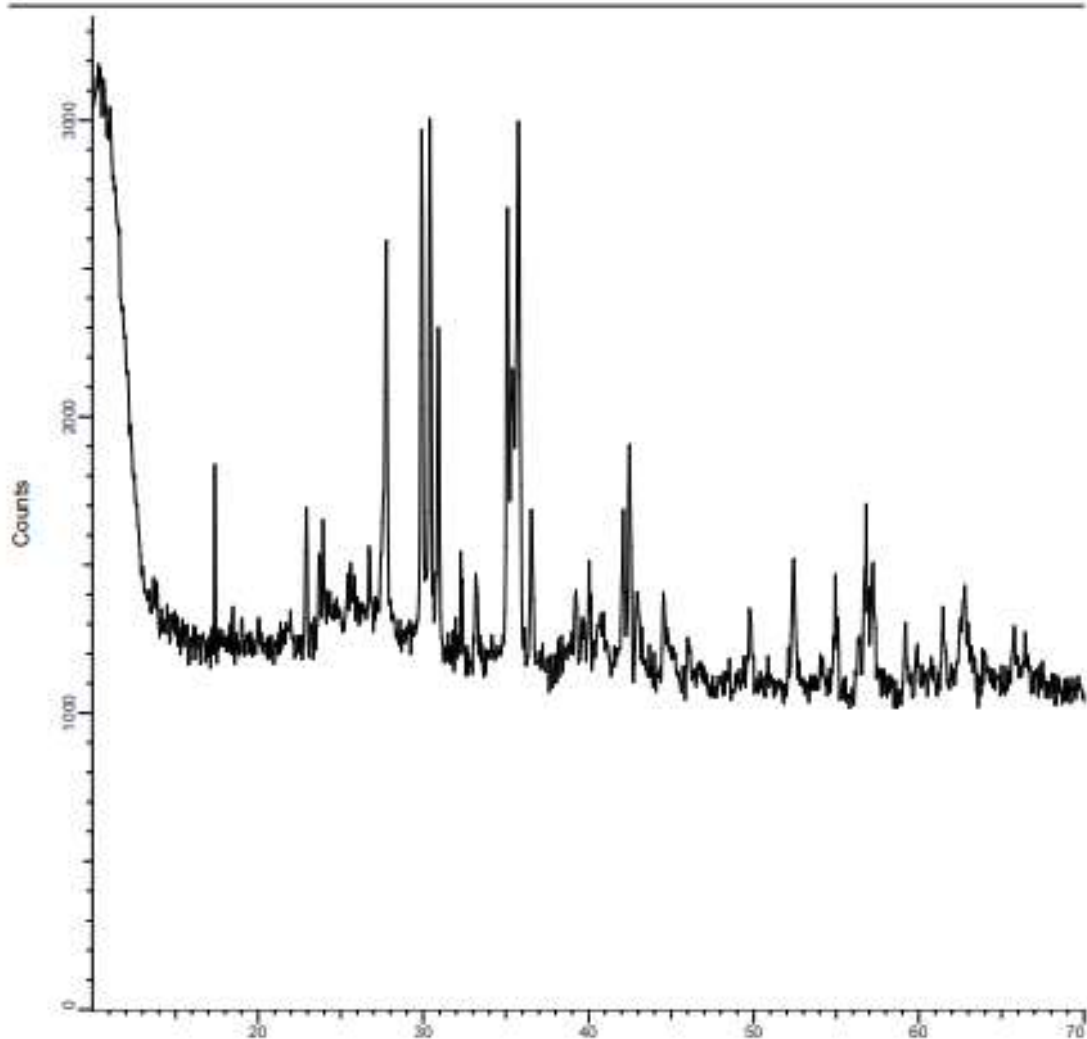
Peak Residuals

Peak data	Counts	Amount
Overall peak intensity	60	100.00%
Peak intensity belonging to selected phases	1	0.83%
Unidentified peak intensity	60	99.17%

Diffraction Pattern Graphics



Coupled TwoTheta/Theta 03:02:59 SSD160 (1D mode): PSD counter



Experiment

User ID	375		
Instrument	D2-212186		
Time	3/2/2020 3:25:14 AM		
Sample ID	Commander Sample ID		
Raw File ID	350		
Scan type	Coupled TwoTheta/Theta		
Scan mode	PsiFastScan		
2Theta	Start: 10.002269918 [°]	Increment: 0.050511538575 [°]	Stop:
	70.012269918 [°]		
Theta	Start: 5.001134959 [°]	Increment: 0.0252557692875 [°]	Stop:
	35.006134959 [°]		

Lampiran VI : Hasil XRF

Sampel Titik 1

SAMPLE ANALYSIS REPORT THERMO FISHER SCIENTIFIC
ARL QUANT'X EDXRF ANALYZER UNIQUNT(TM) STANDARDLESS METHOD

C:\UQed\USER\Quant'X\Job\JOB.267 2020-07-14
BTG1 oks

Quant'X Rh end window 50kV
C:\UQed\USER\Quant'X\Appl\AnySampleAir.kap 2008-06-13
Calculated as : Oxides Matrix (Shape & ImpFc) : 1|Teflon
X-ray path = Air Film type = No supporting film
Case number = 0 All known
Eff.Diam. = 13.0 mm Eff.Area = 132.7 mm²
KnownConc = 0 %
Rest = 0 % Viewed Mass = 1000.000 mg
Dil/Sample = 0 Sample Height = 7.54 mm

Compound	m/m%	StdErr	El	m/m%	StdErr
SiO2	39.44	0.71	Si	18.44	0.33
Fe2O3	27.67	0.45	Fe	19.35	0.32
Al2O3	17.62	1.22	Al	9.32	0.65
CaO	8.54	0.14	Ca	6.10	0.10
TiO2	4.38	0.10	Ti	2.62	0.06
P2O5	1.47	0.15	Px	0.640	0.066
MnO	0.560	0.054	Mn	0.434	0.042
ZrO2	0.131	0.012	Zr	0.0973	0.0091
SrO	0.0820	0.0061	Sr	0.0693	0.0051
Nb2O5	0.0328	0.0048	Nb	0.0229	0.0033
ZnO	0.0304	0.0092	Zn	0.0244	0.0074
MoO3	0.0158	0.0066	Mo	0.0105	0.0044
Y2O3	0.0141	0.0055	Y	0.0111	0.0043
SnO2	0.0100	0.0012	Sn	0.0079	0.0009
In2O3	0.0091	0.0006	In	0.0075	0.0005
Sb2O3	0.0053	0.0018	Sb	0.0044	0.0015

KnownConc= 0 REST= 0 D/S= 0

Sum Conc's before normalisation to 100% : 48.7 %

Total % stripped Oxygen: 42.829

Sampel Titik 2

SAMPLE ANALYSIS REPORT THERMO FISHER SCIENTIFIC
 ARL QUANT'X EDXRF ANALYZER UNIQUANT(TM) STANDARDLESS
 METHOD

C:\UQed\USER\Quant'X\Job\JOB.266 2020-07-14
 BTG2 OKS
 Quant'X Rh end window 50kV
 C:\UQed\USER\Quant'X\App\AnySampleAir.kap 2008-06-13
 Calculated as : Oxides Matrix (Shape & ImpFc) : 1|Teflon
 X-ray path = Air Film type = No supporting film
 Case number = 0 All known
 Eff.Diam. = 13.0 mm Eff.Area = 132.7 mm2
 KnownConc = 0 %
 Rest = 0 % Viewed Mass = 1000.000 mg
 Dil/Sample = 0 Sample Height = 7.54 mm

Compound	m/m%	StdErr	El	m/m%	StdErr
SiO2	41.94	0.69	Si	19.61	0.32
Fe2O3	23.21	0.36	Fe	16.23	0.25
Al2O3	19.09	1.11	Al	10.10	0.59
CaO	9.69	0.15	Ca	6.93	0.11
TiO2	3.57	0.09	Ti	2.14	0.06
P2O5	1.40	0.14	Px	0.612	0.062
MnO	0.504	0.048	Mn	0.390	0.037
K2O	0.24	0.12	K	0.198	0.096
SrO	0.116	0.006	Sr	0.0981	0.0049
ZrO2	0.104	0.013	Zr	0.0768	0.0100
BaO	0.048	0.019	Ba	0.043	0.017
Nb2O5	0.0386	0.0028	Nb	0.0270	0.0020
MoO3	0.0211	0.0044	Mo	0.0141	0.0030
RuO4	0.0082	0.0020	Ru	0.0062	0.0015
SnO2	0.0080	0.0014	Sn	0.0063	0.0011
In2O3	0.0080	0.0007	In	0.0066	0.0006
Rh2O3	0.0056	0.0018	Rh	0.0045	0.0014

KnownConc= 0 REST= 0 D/S= 0

Sum Conc's before normalisation to 100% : 51.8 %

Total % stripped Oxygen: 43.507

Sampel Titik 3

SAMPLE ANALYSIS REPORT THERMO FISHER SCIENTIFIC
 ARL QUANT'X EDXRF ANALYZER UNIQUANT(TM) STANDARDLESS METHOD

C:\UQed\USER\Quant'X\Job\JOB.265 2020-07-14
 BTG3 OKS

Quant'X Rh end window 50kV
 C:\UQed\USER\Quant'X\Appl\AnySampleAir.kap 2008-06-13
 Calculated as : Oxides Matrix (Shape & ImpFc) : 1|Teflon
 X-ray path = Air Film type = No supporting film
 Case number = 0 All known
 Eff.Diam. = 13.0 mm Eff.Area = 132.7 mm2
 KnownConc = 0 %
 Rest = 0 % Viewed Mass = 1000.000 mg
 Dil/Sample = 0 Sample Height = 7.54 mm

Compound	m/m%	StdErr	El	m/m%	StdErr
SiO2	39.67	0.69	Si	18.55	0.32
Fe2O3	23.61	0.37	Fe	16.51	0.26
Al2O3	21.52	1.12	Al	11.39	0.59
CaO	9.12	0.15	Ca	6.52	0.10
TiO2	3.61	0.09	Ti	2.17	0.06
P2O5	1.71	0.15	Px	0.747	0.064
MnO	0.472	0.051	Mn	0.366	0.039
ZrO2	0.113	0.010	Zr	0.0836	0.0076
SrO	0.0720	0.0052	Sr	0.0609	0.0044
Nb2O5	0.0353	0.0028	Nb	0.0247	0.0019
MoO3	0.0203	0.0045	Mo	0.0135	0.0030
SnO2	0.0092	0.0010	Sn	0.0072	0.0008
In2O3	0.0073	0.0005	In	0.0060	0.0004
RuO4	0.0070	0.0019	Ru	0.0053	0.0014
Sb2O3	0.0068	0.0015	Sb	0.0057	0.0012

KnownConc= 0 REST= 0 D/S= 0

Sum Conc's before normalisation to 100% : 50.6 %

Total % stripped Oxygen: 43.540

Sampel Titik 4

SAMPLE ANALYSIS REPORT
SCIENTIFIC

ARL QUANT'X EDXRF ANALYZER
STANDARDLESS METHOD

THERMO FISHER

UNIQUANT(TM)

C:\UQed\USER\Quant'X\Job\JOB.264 2020-07-14
BTG4#MinEmas OKS

Quant'X Rh end window 50kV

C:\UQed\USER\Quant'X\Appl\AnySampleAir.kap 2008-06-13

Calculated as : Oxides Matrix (Shape & ImpFc) : 1|Teflon

X-ray path = Air Film type = No supporting film

Case number = 0 All known

Eff.Diam. = 13.0 mm Eff.Area = 132.7 mm²

KnownConc = 0 %

Rest = 0 % Viewed Mass = 1000.000 mg

Dil/Sample = 0 Sample Height = 7.54 mm

Compound	m/m%	StdErr	El	m/m%	StdErr
SiO ₂	41.15	0.70	Si	19.24	0.33
Fe ₂ O ₃	23.23	0.36	Fe	16.25	0.25
Al ₂ O ₃	19.75	1.14	Al	10.45	0.60
CaO	9.37	0.15	Ca	6.70	0.11
TiO ₂	3.44	0.09	Ti	2.06	0.05
P ₂ O ₅	1.69	0.14	Px	0.737	0.063
K ₂ O	0.56	0.12	K	0.467	0.098
MnO	0.527	0.044	Mn	0.408	0.034
ZrO ₂	0.101	0.011	Zr	0.0749	0.0082
SrO	0.0750	0.0052	Sr	0.0634	0.0044
Nb ₂ O ₅	0.0330	0.0026	Nb	0.0231	0.0018
ZnO	0.0197	0.0077	Zn	0.0158	0.0062
MoO ₃	0.0178	0.0042	Mo	0.0119	0.0028
SnO ₂	0.0083	0.0010	Sn	0.0065	0.0008
In ₂ O ₃	0.0082	0.0005	In	0.0068	0.0004
RuO ₄	0.0060	0.0018	Ru	0.0046	0.0014

KnownConc= 0 REST= 0 D/S= 0

Sum Conc's before normalisation to 100% : 51.5 %

Total % stripped Oxygen: 43.473

Sampel Titik 5

SAMPLE ANALYSIS REPORT
SCIENTIFIC

ARL QUANT'X EDXRF ANALYZER
STANDARDLESS METHOD

THERMO FISHER

UNIQUANT(TM)

C:\UQed\USER\Quant'X\Job\JOB.263 2020-07-14
BTG5#UIN OKS

Quant'X Rh end window 50kV

C:\UQed\USER\Quant'X\Appl\AnySampleAir.kap 2008-06-13

Calculated as : Oxides Matrix (Shape & ImpFc) : 1|Teflon

X-ray path = Air Film type = No supporting film

Case number = 0 All known

Eff.Diam. = 13.0 mm Eff.Area = 132.7 mm²

KnownConc = 0 %

Rest = 0 % Viewed Mass = 1000.000 mg

Dil/Sample = 0 Sample Height = 7.54 mm

Compound	m/m%	StdErr	El	m/m%	StdErr
SiO ₂	41.77	0.70	Si	19.53	0.33
Fe ₂ O ₃	24.51	0.38	Fe	17.14	0.27
Al ₂ O ₃	18.46	1.14	Al	9.77	0.60
CaO	8.93	0.14	Ca	6.38	0.10
TiO ₂	3.90	0.10	Ti	2.34	0.06
P ₂ O ₅	1.51	0.14	Px	0.661	0.061
MnO	0.532	0.048	Mn	0.412	0.037
ZrO ₂	0.116	0.012	Zr	0.0859	0.0090
SrO	0.0995	0.0055	Sr	0.0841	0.0047
BaO	0.038	0.017	Ba	0.034	0.015

Nb₂O₅ 0.0346 0.0028 | Nb 0.0242 0.0020


ZnO 0.0279 0.0084 | Zn 0.0224 0.0068

MoO₃ 0.0197 0.0046 | Mo 0.0131 0.0031Y₂O₃ 0.0117 0.0051 | Y 0.0092 0.0040In₂O₃ 0.0089 0.0006 | In 0.0074 0.0005SnO₂ 0.0078 0.0011 | Sn 0.0061 0.0009RuO₄ 0.0075 0.0019 | Ru 0.0057 0.0014

KnownConc= 0 REST= 0 D/S= 0

Sum Conc's before normalisation to 100% : 52.0 %

Lampiran VII : Hasil Uji Pendahuluan


PEMERINTAH PROVINSI SULAWESI SELATAN
DINAS ENERGI DAN SUMBER DAYA MINERAL
UPT JASA LABORATORIUM ENERGI DAN SUMBER DAYA MINERAL
JALAN AP. PETTARANI TLP. +62-873045 873524 874457 Fax +62-873524 Email uotdlab.esdbsulsel@gmail.com
MAKASSAR Kode Pos: 902222

LAPORAN HASIL UJI

Jenis Contoh Uji : Batuan

No.	PARAMETER	SATUAN	HASIL KODE A	SPESIFIKASI METODE
1.	Au (Emas)	ppm	< 0,021	AAS - Flame

Makassar, 25 November 2019
Kepala Laboratorium,

Dra. LENNY, M.Si

Lampiran VII : Perhitungan

1. Jari-jari atom struktur kubik titik 1

$$r = \frac{\sqrt{2} \cdot a}{4} = \frac{\sqrt{2} \cdot 4.1641}{4} = 1.4722$$

2. Jari-jari atom struktur kubik titik 2

$$r = \frac{\sqrt{2} \cdot a}{4} = \frac{\sqrt{2} \cdot 3.5270}{4} = 1.2469$$

3. Jari-jari atom struktur kubik titik 3

$$r = \frac{\sqrt{2} \cdot a}{4} = \frac{\sqrt{2} \cdot 4.0782}{4} = 1.4418$$

4. Jari-jari atom struktur kubik titik 4

$$r = \frac{\sqrt{2} \cdot a}{4} = \frac{\sqrt{2} \cdot 4.0704}{4} = 1.4390$$

5. Jari-jari atom struktur kubik titik 5

$$r = \frac{\sqrt{2} \cdot a}{4} = \frac{\sqrt{2} \cdot 4.1030}{4} = 1.4506$$





UNIVERSITAS ISLAM NEGERI
ALAUDDIN
M A K A S S A R